

12/88

وزارة التعليم العالي
MINISTERE DE L'ENSEIGNEMENT SUPERIEUR

ÉCOLE NATIONALE POLYTECHNIQUE

DEPARTEMENT : GENIE CIVIL

المدرسة الوطنية المتعددة التقنيات
BIBLIOTHEQUE — المكتبة —
Ecole Nationale Polytechnique

2ex

PROJET DE FIN D'ETUDES

S U J E T

LOGICIEL DE CALCUL
SISMIQUE DES STRUCTURES
A INERTIE VARIABLE

Proposé par :

Pr B.TILIOUINE

Etudié par :

HOUNAT.R

Dirigé par :

Pr B.TILIOUINE

KAOUA.S

PROMOTION : JANVIER 88

وزارة التعليم العالى
MINISTERE DE L'ENSEIGNEMENT SUPERIEUR

ÉCOLE NATIONALE POLYTECHNIQUE

DEPARTEMENT : GENIE CIVIL



PROJET DE FIN D'ÉTUDES

S U J E T

LOGICIEL DE CALCUL SISMIQUE DES STRUCTURES A INERTIE VARIABLE

Proposé par :

Pr B.TILIOUINE

Etudié par :

HOUNAT.R

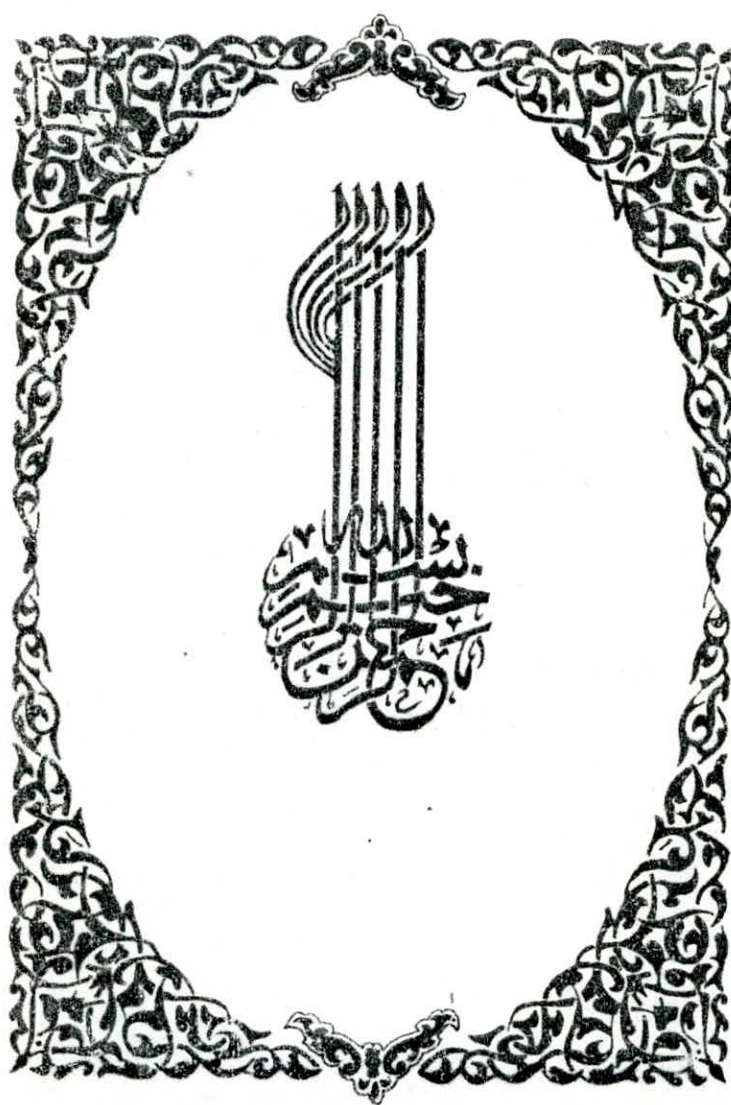
Dirigé par :

Pr B.TILIOUINE

KAOUA.S

PROMOTION : JANVIER 88

المدرسة الوطنية المتعددة التقنيات
BIBLIOTHEQUE — المكتبة
Ecole Nationale Polytechnique



***** RE M E R C I M E N T S *****

Nous tenons à remercier vivement tous ceux qui ont participé de près ou de loin à l'élaboration de ce travail.

Nous remercions plus particulièrement :

- * Monsieur le Pr B.TILIOUINE qui n'a ménagé aucun effort pour nous venir à l'aide et de ses précieux conseils judicieux.
- * Messieurs A.TAÏBI et A.NECHNECHE pour leurs disponibilités continues.
- * Tous les enseignants qui ont contribué à notre formation.

Sid Ali KAOUA

R.HOUNAT

ملخص

يتلخص هذا المشروع في اعداد الغوريتمات لتعيين الخواص الديناميكية لحساب المنشآت المقاومة للزلزال و ذات العطالة المتغيرة و تطبيقه في حساب مفصل لمدحنة صناعية ذات علو كبير.

Resume .

Le but de ce projet est le calcul automatique des caractéristiques dynamiques et des sollicitations sismiques et ce pour les structures à inertie variable , et dans ce sens ,nous avons abordé un calcul complet d'une cheminée industrielle de grande hauteur.

Abstract.

The project consist of determination of algorithmes for dynamic characteristics and seismic calculation for the structures with variable inertia , these are then applied for the detailed calculation of high industrial chimney.

Resumeu .

Este proyecto presenta algoritmos de calcul de las caracteristicas dinamicas de las estructuras habiendo inertias variables , al fin , applica ésos a una chemina , con su calcul parasismico completo.

S O M M A I R E

ALGORITHMES DE CALCUL DES CARACTERISTIQUES DYNAMIQUES DES STRUCTURES

	page
A- INTRODUCTION	1
B- DETERMINATION DES MATRICES CARACTERISANT LES PROPRIETES D'UNE STRUCTURE	
B-1- CARACTERISTIQUES MASSIQUES. ;	3
B-2- CARACTERISTIQUES ELASTIQUES.	3
- determination des raideurs.	
- determination des souplesses.	
B-2-a METHODE DES PARAMETRES INITIAUX.	7
B-2-b METHODE DE L'INTEGRALE DE MOHR	13
C- PRESENTATION DES METHODES DE CALCUL DES MODES PROPRES DE VIBRATION	
C-1 METHODE DE VIANELO ET STODOLA	15
C-2 METHODE DE JACOBI	16
D- PRESENTATION DES ORGANIGRAMMES.	31

APPLICATION AU CALCUL SISMIQUE D'UNE TOUR DE GRANDE HAUTEUR

A- PRESENTATION DE L'OUVRAGE	34
-dimensions	
- determination des caracteristiques mecaniques et geomtriques.	
B- ETUDE DYNAMIQUE.	35
C- ETUDE AU SEISME.	42
D- ETUDE AU VENT.	49
E- ETUDE THERMIQUE.	60
F- ETUDE DE L'ENSOLEILLEMENT.	64
G- ETUDE DES CONSOLES INTERIEURES.	66
H- ETUDE DES DEFORMATIONS D'ENSEMBLE ET DES MOMENTS SECONDAIRES	
I- BASE DE CALCUL POUR LE FERAILLAGE	70
I-1 Cas de charges.	
1-2 Feraillage du fût.	
J- FONDATIONS	87
K- CONCLUSION.	95
L- ANNEXE.	96

INTRODUCTION

Les structures, généralement, caractérisées par une masse et une elasticité peuvent effectuer des mouvements relatifs sous l'action des sollicitations dynamiques.

On comprend par action 'dynamique' les sollicitations produites par des charges qui varient rapidement pendant le temps.

Les vibrations produites peuvent avoir des causes assez variées (séisme, machines, ...), elles peuvent être très dangereuses en particulier lorsqu'il y a coïncidence entre une fréquence propre du système et la fréquence d'exitation, ce qui donne lieu à la résonnance.

Le but fondamental de la dynamique des structures est d'éviter le domaine de résonnance par une étude préalable de vibrations libres, ce qui explique l'intérêt du calcul de ces éléments propres .

Les tours de sections annulaires et à inertie variable sont des constructions que l'on rencontre fréquemment de nos jours, on peut citer, par exemple les cheminées , les tours de télécommunications, les tours de contrôle, les phares, les supports de châteaux d'eau , certains piliers et mâts de construction industrielle, etc.... .

Du point de vue des calculs, les tours les plus complexes sont les cheminées , dont le fût en B-Armé est soumis à pratiquement toutes les sollicitations qui peuvent agir sur ce genre d'ouvrages, y compris le gradient thermique.



FORMULATION DE L'EQUATION DU MOUVEMENT

L'équation dynamique des structures à plusieurs degrés de liberté, est basée sur la résolution de l'équation matricielle:

$$M\ddot{V}(t) + C\dot{V}(t) + K V(t) = P(t)$$

M: Matrice des masses.

C: Matrice des coefficients d'amortissements.

K: Matrice des raideurs du système oscillant.

P(t): Force extérieure

Pour le système se déplaçant librement sans amortissement ($C = 0$)

l'équation devient: $M\ddot{V}(t) + K V(t) = 0 \quad (1)$

Si le mouvement est supposé harmonique, alors V s'exprime par:

$$V(t) = \hat{V} \sin(\omega t + \theta)$$

\hat{V} : est le mode de vibration.

l'accélération s'exprime par:

$$\ddot{V}(t) = \frac{d^2V(t)}{dt^2} = -\omega^2 \hat{V} \sin(\omega t + \theta) = -\omega^2 V(t) \quad (2)$$

ω : pulsation du système.

θ : angle de déphasage.

En reportant (2) dans (1), on obtient:

$$-\omega^2 M \hat{V} \sin(\omega t + \theta) + K \hat{V} \sin(\omega t + \theta) = 0$$

Donc pour toutes les valeurs de la fonction sinus on doit vérifier:

$$(K - \omega^2 M) \hat{V} = 0$$

ce-ci conduit à la résolution de l'équation:

$$\|K - \omega^2 M\| = 0$$

pour les systèmes à plusieurs degrés de liberté, cette équation s'appelle "l'équation aux fréquences du système", en développant son déterminant, on obtient une équation polynomiale à 'N' variables en (ω_i^2).

Les N valeurs $\omega_1^2, \omega_2^2, \dots, \omega_N^2$ sont les carrés des fréquences de N modes de vibrations possibles.

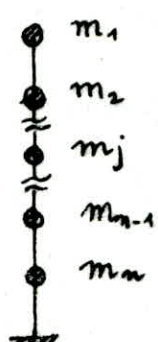
Un système stable conduit à des matrices de masse et de rigidité symétriques définies positives, dans ce cas les racines de l'équation aux fréquences seront réelles et positives.

DETERMINATION DES MATRICES CARACTERISANT
LES PROPRIETES D'UNE STRUCTURE

A- CARACTERISTIQUES MASSIQUES:

La manière la plus simple de représenter les caractéristiques massiques d'une structure, consiste à supposer que toute la masse est concentrée aux points de définition des déplacements en translation.

Pour un système, dont on ne considère que les degrés de liberté de translation, la matrice masse est diagonale:



$$M = \begin{bmatrix} m_1 & 0 & 0 & 0 & 0 \\ 0 & m_2 & . & . & 0 \\ . & . & . & . & . \\ 0 & 0 & m_j & . & 0 \\ 0 & 0 & . & . & . \\ 0 & 0 & 0 & 0 & m_{n-1} \\ 0 & 0 & 0 & 0 & m_n \end{bmatrix}$$

Le nombre de termes diagonaux de cette matrice est égal au nombre de degrés de liberté de la structure.

B- CARACTERISTIQUES ELASTIQUES:

B-1 RAIDEUR

$$K = \begin{bmatrix} K_{11} & K_{12} & K_{13} & \dots & K_{1i} & \dots & K_{1N} \\ K_{21} & K_{22} & K_{23} & \dots & K_{2i} & \dots & K_{2N} \\ . & . & . & \dots & . & \dots & . \\ K_{i1} & K_{i2} & K_{i3} & \dots & K_{ii} & \dots & K_{iN} \\ . & . & . & \dots & . & \dots & . \\ K_{N1} & K_{N2} & K_{N3} & \dots & K_{Ni} & \dots & K_{NN} \end{bmatrix}$$

K_{ij} : force correspondante à la coordonnée (i) produite par un déplacement unité de la coordonnée (j).

Ces coefficients représentent les forces créées dans la structure si un degré de liberté est contraint à subir un déplacement unité alors que tous les autres sont fixes.

B-1-1 Matrice des raideurs pour les structures à planchers "indeformables"

Soit K_1, K_2, \dots, K_n respectivement les rigidités des niveaux $1, 2, \dots, n$, données par :

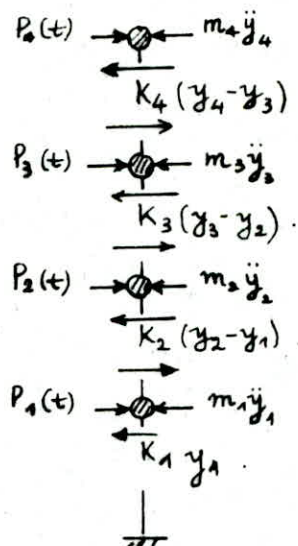
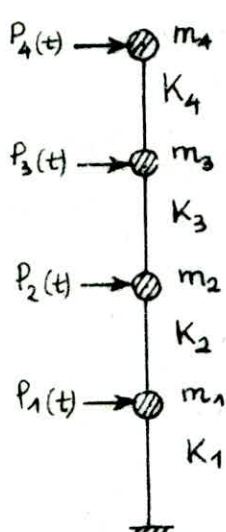
$$K_i = \frac{12EI_i}{h_i^3}$$

E : module de YOUNG.

I : inertie du niveau (i).

h : hauteur du niveau (i).

Pour illustrer la détermination des matrices $[K]$ et $[M]$, on prend une structure à 4 niveaux, soumise à des forces perturbatrices $P(t)$:



Ecrivons l'équilibre de chaque masse

il vient :

$$m_4 \ddot{y}_4 - P_4(t) + K_4(y_4 - y_3) = 0$$

$$m_3 \ddot{y}_3 - P_3(t) + K_3(y_3 - y_2) - K_4(y_4 - y_3) = 0$$

$$m_2 \ddot{y}_2 - P_2(t) + K_2(y_2 - y_1) - K_3(y_3 - y_2) = 0$$

$$m_1 \ddot{y}_1 - P_1(t) + K_1 y_1 - K_2(y_2 - y_1) = 0$$

En réarrangeant les termes, on trouve:

$$m_4 \ddot{y}_4 + K_4 y_4 - K_4 y_3 = P_4(t)$$

$$m_3 \ddot{y}_3 - K_4 y_4 + (K_3 + K_4) y_3 - K_3 y_2 = P_3(t)$$

$$m_2 \ddot{y}_2 - K_3 y_3 + (K_2 + K_3) y_2 - K_2 y_1 = P_2(t)$$

$$m_1 \ddot{y}_1 - K_2 y_2 + (K_1 + K_2) y_1 = P_1(t)$$

Ce qui peut s'écrire sous forme matricielle:

$$M\ddot{y} + Ky = P(t)$$

avec:

$$M = \begin{bmatrix} m_4 & 0 & 0 & 0 \\ 0 & m_3 & 0 & 0 \\ 0 & 0 & m_2 & 0 \\ 0 & 0 & 0 & m_1 \end{bmatrix} \quad \text{et:} \quad K = \begin{bmatrix} K_4 & -K_4 & 0 & 0 \\ -K_4 & K_3 + K_4 & -K_3 & 0 \\ 0 & -K_3 & K_2 + K_3 & -K_2 \\ 0 & 0 & -K_2 & K_1 + K_2 \end{bmatrix}$$

$$\ddot{y} = \begin{bmatrix} \ddot{y}_4 \\ \ddot{y}_3 \\ \ddot{y}_2 \\ \ddot{y}_1 \end{bmatrix} \quad y = \begin{bmatrix} y_4 \\ y_3 \\ y_2 \\ y_1 \end{bmatrix} \quad P(t) = \begin{bmatrix} P_4(t) \\ P_3(t) \\ P_2(t) \\ P_1(t) \end{bmatrix}$$

On pourra généraliser cette écriture pour un cas à n degrés de liberté on aura:

$$[K] = \begin{bmatrix} K_n & -K_n & 0 & \dots & 0 \\ -K_n & K_{n-1} + K_n & -K_{n-1} & & 0 \\ 0 & -K_{n-1} & K_{n-2} + K_{n-1} & & \\ \vdots & & & \ddots & \\ 0 & & & & K_2 + K_3 \\ 0 & & & & -K_2 \\ & & & & K_1 + K_2 \end{bmatrix}$$

B-1-2 Matrice des raideurs pour structures à planchers "déformables".

L'obtention de la matrice des raideurs pour les structures à planchers déformables s'obtient en 'inversant' la matrice des souplesses (determinée par les méthodes de la RDM).

B-2 SOUPPLESSE:

$$[f] = \begin{bmatrix} f_{11} & f_{12} & f_{13} & \dots & f_{1j} & \dots & f_{1N} \\ f_{21} & f_{22} & f_{23} & \dots & f_{2j} & \dots & f_{2N} \\ \vdots & \vdots & \vdots & \ddots & \vdots & \ddots & \vdots \\ f_{i1} & f_{i2} & f_{i3} & \dots & f_{ij} & \dots & f_{iN} \\ \vdots & \vdots & \vdots & \ddots & \vdots & \ddots & \vdots \\ f_{N1} & f_{N2} & f_{N3} & \dots & f_{Nj} & \dots & f_{NN} \end{bmatrix}$$

f_{ij} : déplacement selon la coordonnée (i), provoqué par une charge unitaire appliquée en (j).

B-2-1 Matrice des souplesses pour structures à planchers "indéformables":

elle est donnée (en inversant la matrice des raideurs) par la forme ci-après pour N degrés de liberté:

$$[f] = \begin{bmatrix} \sum_{i=1}^N \frac{1}{K_i} & \sum_{i=1}^{N-1} \frac{1}{K_i} & \dots & \sum_{i=1}^{N-j+1} \frac{1}{K_i} & \dots & \frac{1}{K_1} \\ \sum_{i=1}^{N-1} \frac{1}{K_i} & \sum_{i=1}^{N-1} \frac{1}{K_i} & \dots & \sum_{i=1}^{N-j+1} \frac{1}{K_i} & \dots & \frac{1}{K_1} \\ \vdots & \vdots & \ddots & \vdots & \ddots & \vdots \\ \sum_{i=1}^{N-j+1} \frac{1}{K_i} & \sum_{i=1}^{N-j+1} \frac{1}{K_i} & \dots & \sum_{i=1}^{N-j+1} \frac{1}{K_i} & \dots & \frac{1}{K_1} \\ \frac{1}{K_1} & \frac{1}{K_1} & \dots & \frac{1}{K_1} & \dots & \frac{1}{K_1} \end{bmatrix}$$

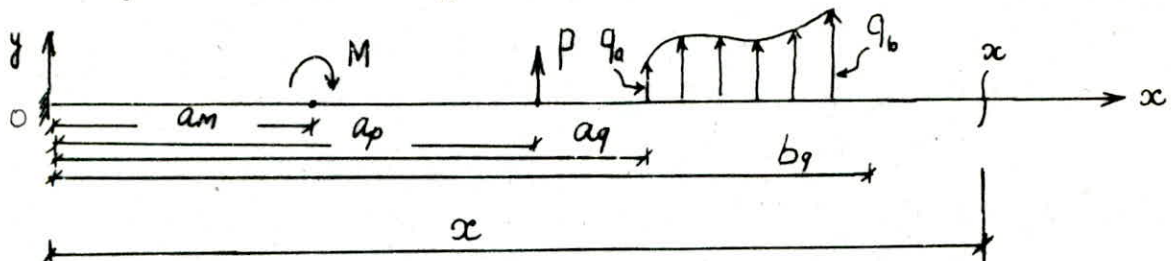
B-2-2 Matrice des souplesses pour structures à planchers "déformables":

Les coefficients d'influence des souplesses qui constituent la matrice et qui représentent des déplacements créés par des charges unitaires seront déterminées par les méthodes de la RDM exposées dans le paragraphe suivant.

METHODE DES PARAMETRES INITIAUX

°) Cas d'une poutre à inertie constante :

Soit une poutre dont le chargement est le suivant:



La valeur du déplacement f_x dans une section arbitraire de la poutre située à une distance x de l'origine des coordonnées (si le coefficient de charge est une fonction développable en puissance de x) est donnée par:

$$EI f_x = EI f_0 + EI \theta_0 \frac{x}{1!} + \sum M \frac{(x-a_m)^2}{2!} + \sum P \frac{(x-a_p)^3}{3!} + \sum q_a \frac{(x-a_q)^4}{4!} - \sum q_b \frac{(x-b_q)^4}{4!} + \sum q'_a \frac{(x-a_q)^5}{5!} - \sum q'_b \frac{(x-b_q)^5}{5!} + \dots \quad (1)$$

ou E ; module d'élasticité longitudinal.

I ; moment d'inertie.

M moment des couples extérieurs y compris les réactions.

- P ; charges concentrées y compris les réactions.

q'_a , q'_b , q''_a , q''_b ; respectivement les valeurs de la première, seconde dérivée de q_x au point $x=a_q$, $x=b_q$.

Pour un encastrement à l'origine, comme dans notre cas, le déplacement vertical f_0 et la rotation θ_0 de la section encastree sont nuls, de plus si le chargement est composé de charges concentrées seulement, donc;

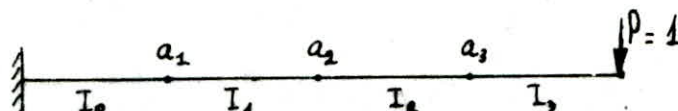
$$f_0 = 0, \theta_0 = 0, q_a = q_b = 0$$

L'équation (1) devient:

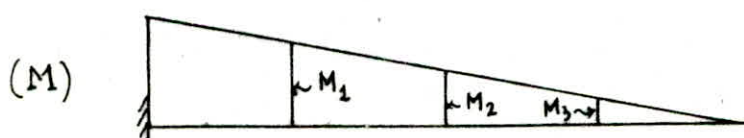
$$EI f_x = \sum \frac{M(x-a_m)^2}{2!} + \sum \frac{P(x-a_p)^3}{3!}$$

2°) Cas d'une poutre à inertie variable.

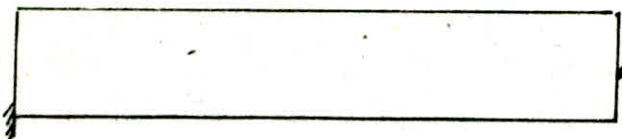
Soit une poutre console d'inertie variable, dont le chargement et le schéma sont les suivants:



les efforts internes (M, T) sont:



(T)



$\leftarrow T$

Pour déterminer les déformations d'une telle poutre, on doit écrire l'équation différentielle de l'axe curviligne de la poutre pour chaque tronçon, dont les rigidités en flexion des sections transversales sont respectivement:

$$EI_0, \quad EI_1, \quad EI_2, \quad EI_3$$

d'où :

$$\frac{d^2\omega}{dx^2} = \frac{M(x)}{EI_0}, \quad \frac{d^2\omega}{dx^2} = \frac{M(x)}{EI_1}, \quad \frac{d^2\omega}{dx^2} = \frac{M(x)}{EI_2}, \quad \frac{d^2\omega}{dx^2} = \frac{M(x)}{EI_3}$$

Substituons à la poutre constituée par des tronçons, une poutre équivalente de section constante, d'inertie égale au moment d'inertie d'un de ces tronçons (inertie de référence).

Multipliant par I_0/I_n le 2^{ème} membre de l'équation différentielle pour un tronçon quelconque, il vient :

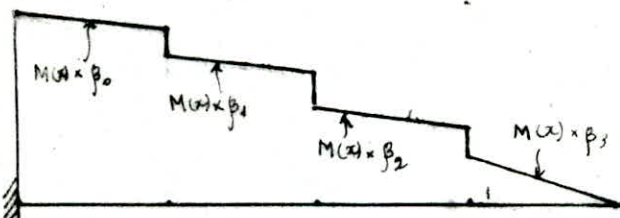
$$\frac{d^2\omega}{dx^2} = \frac{M(x) \cdot I_0}{EI_n} = \frac{M(x)}{EI_n} \cdot \frac{I_0}{I_n} = \frac{M(x) \cdot \beta_n}{EI_n}$$

ou $\beta_n = I_0/I_n$ est le coefficient de réduction.

Comme le moment fléchissant est une fonction de la charge, ce sera toutes les charges extérieures de cette partie, avec les efforts internes (T, M) qu'on peut multiplier par le coefficient de réduction au lieu du moment fléchissant, et cela quelle que soit la partie du segment de la poutre.

On obtient alors, une poutre de section constante, ayant EI_0 comme rigidité en flexion, et sollicitée par des charges extérieures réduites;

(M)



$$\text{avec } \beta_0 = \frac{I_0}{I_0}; \quad \beta_1 = \frac{I_1}{I_0}; \quad \beta_2 = \frac{I_2}{I_0}; \quad \beta_3 = \frac{I_3}{I_0}$$

Cela étant, ce sera aux jonctions qu'on observera des brusques variations des efforts tranchants et des moments fléchissants;

$$\Delta M_1 = M_1(\beta_1 - \beta_0); \quad \Delta M_2 = M_2(\beta_2 - \beta_1); \quad \Delta M_3 = M_3(\beta_3 - \beta_2)$$

$$\Delta Q_1 = Q(\beta_1 - \beta_0); \quad \Delta Q_2 = Q(\beta_2 - \beta_1); \quad \Delta Q_3 = Q(\beta_3 - \beta_2)$$

Les déplacements d'une telle poutre peuvent être évaluer en intégrant l'équation différentielle;

$$\frac{d^2\omega}{dx^2} = \frac{M_{red}(x)}{EI_0}$$

ou M_{red} est le moment créé par des charges extérieures réduites et les charges supplémentaires ΔQ et ΔM déterminées par les formules réduites;

$$\Delta Q_i = Q_i (\beta_{i+1} - \beta_i) \quad \Delta M_i = M_i (\beta_{i+1} - \beta_i)$$

on aboutit à l'équation des paramètres initiaux;

$$EI_0 f_x = M \frac{x^2}{2} + \Delta M_1 \frac{(x-a_1)^2}{2} + \Delta M_2 \frac{(x-a_2)^2}{2} + \Delta M_3 \frac{(x-a_3)^2}{2} - Q \frac{x^3}{6} - \Delta Q_1 \frac{(x-a_1)^3}{6} - \Delta Q_2 \frac{(x-a_2)^3}{6} - \Delta Q_3 \frac{(x-a_3)^3}{6}, \quad x \geq a_i$$

Pour le cas d'une poutre à n tronçons, l'équation peut être écrite comme suit :

$$EI_0 f_x = \sum_{i=0}^{n-1} \frac{\Delta M_i (x-a_i)^2}{2} - \sum_{i=0}^{n-1} \frac{\Delta Q_i (x-a_i)^3}{6}, \quad x \geq a_i$$

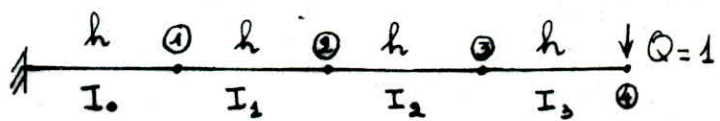
avec : $\Delta M_0 = M$

$$\Delta Q_0 = Q$$

et : $(Q_0 = 0)$

Exemple numérique:

Soit la poutre console dont le chargement statique est le suivant:



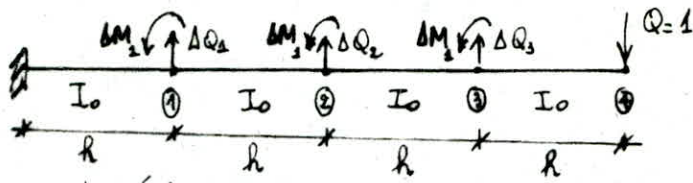
$$I_0 = 500 \text{ m}^4, \quad I_1 = 425 \text{ m}^4, \quad I_2 = 390 \text{ m}^4, \quad I_3 = 350 \text{ m}^4$$

$$h = 5 \text{ m}$$

Soit à calculer, le déplacement de la section (3), créé par une charge unitaire concentrée en (4);

$$- \delta_{34} = ?$$

Substituons à la poutre console, une poutre fictive d'inertie I_0 , sollicitée par des charges fictives, qu'on se propose de calculer;



a) coefficient de réduction;

$$\begin{aligned} - \beta_0 &= \frac{I_0}{I_0} = 1 \\ - \beta_1 &= \frac{I_0}{I_1} = \frac{500}{425} = 1,176 \\ - \beta_2 &= \frac{I_0}{I_2} = \frac{500}{390} = 1,282 \\ - \beta_3 &= \frac{I_0}{I_3} = \frac{500}{350} = 1,429 \end{aligned}$$

b) charges réduites;

$$\begin{aligned} * \Delta M_1 &= M_1 (\beta_1 - \beta_0) \\ &= 3 \times 5 (1,176 - 1,0) = 2,64 \text{ t.m} \end{aligned}$$

$$\begin{aligned} * \Delta M_2 &= M_2 (\beta_2 - \beta_1) \\ &= 2 \times 5 (1,282 - 1,176) = 1,06 \text{ t.m} \end{aligned}$$

$$\begin{aligned} * \Delta M_3 &= M_3 (\beta_3 - \beta_2) \\ &= 1 \times 5 (1,429 - 1,282) = 0,735 \text{ t.m} \end{aligned}$$

$$* \Delta M_0 = M_1 = 4 \times 5 = 20 \text{ t.m}$$

$$* \Delta Q_1 = Q (\beta_1 - \beta_0) = 1 (1,176 - 1,0) = 0,176 \text{ t}$$

$$* \Delta Q_2 = Q (\beta_2 - \beta_1) = 1 (1,282 - 1,176) = 0,106 \text{ t}$$

$$* \Delta Q_3 = Q (\beta_3 - \beta_2) = 1 (1,429 - 1,282) = 0,147 \text{ t}$$

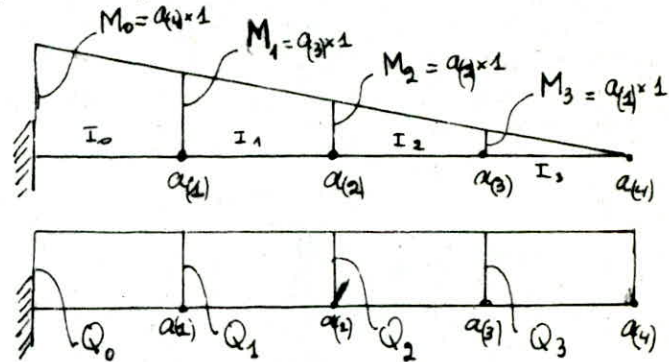
$$* \Delta Q_0 = Q$$

$$c) \delta_{34} = ?$$

$$EI_0 \delta_{34} = \sum_{i=1}^3 \frac{\Delta M_i (x - a_i)^2}{2} - \sum_{i=1}^3 \frac{\Delta Q_i (x - a_i)^3}{6} , \quad x = a_3 = 3 \times h = 15 \text{ m}$$

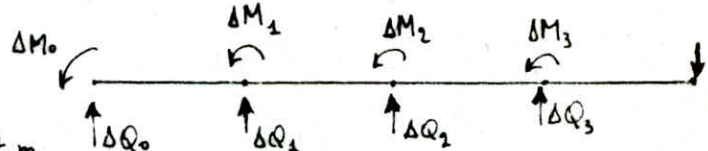
$$= \Delta M_0 \frac{(x - a_0)^2}{2} + \Delta M_1 \frac{(x - a_1)^2}{2} + \Delta M_2 \frac{(x - a_2)^2}{2}$$

$$- \Delta Q_0 \frac{(x - a_0)^3}{6} - \Delta Q_1 \frac{(x - a_1)^3}{6} - \Delta Q_2 \frac{(x - a_2)^3}{6}$$



$$Q_0 = Q_1 = Q_2 = Q_3 = Q = 1.$$

$$M_0 = 4h, M_1 = 3h, M_2 = 2h, M_3 = h$$



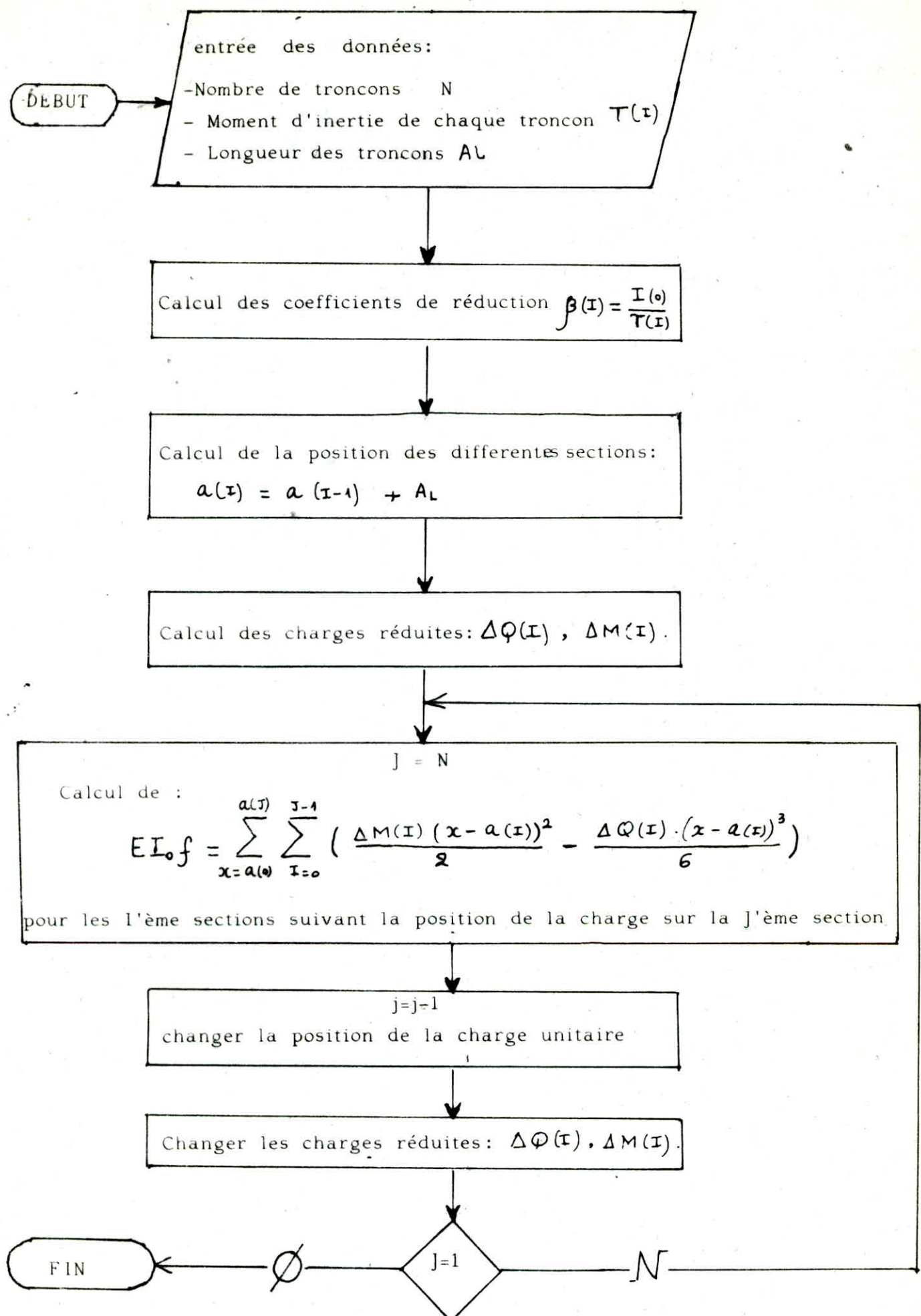
$$\begin{array}{ccccccc} \Delta M_0 & & \Delta M_1 & & \Delta M_2 & & \Delta M_3 \\ \downarrow & & \downarrow & & \downarrow & & \downarrow \\ \Delta Q_0 & & \Delta Q_1 & & \Delta Q_2 & & \Delta Q_3 \end{array}$$

$$EI_0 \delta_{3-4} = 20 \cdot \frac{15^2}{2} + 2,64 \cdot \frac{10^2}{2} + 1,06 \cdot \frac{5^2}{2} - 1 \cdot \frac{15^3}{6} - 0,176 \cdot \frac{10^3}{6} - 0,106 \cdot \frac{5^3}{6} = 1801,4083$$

$$\delta_{3-4} = \frac{1801,4083}{EI_0}$$

$$\delta_{3-4} = \frac{3,6028}{E}$$

ORGANIGRAMME DE LA METHODE DES PARAMETRES INITIAUX



CALCUL DES DEPLACEMENTS PAR L'INTEGRALE DE MOHR

Une autre façon de calculer les coefficients de souplesse, est de passer par l'intégrale de MOHR, qui est la suivante:

$$\delta_{ij} = \int_{(l)} \frac{M_i(x) M_j(x)}{EI} dx$$

où $M_i(x)$; moment en x créé par une charge unitaire placée en i .

$M_j(x)$; moment en x créé par une charge unitaire placée en j .

Pour notre cas de structure dont l'inertie varie d'un tronçon à l'autre, le calcul d'un coefficient des souplesses revient à intégrer l'expression de MOHR sur chacun de ses tronçons:

$$\delta_{ij} = \frac{1}{E} \sum_{k=1}^i \int_{a(k-1)}^{a(k)} \frac{M_i(x) M_j(x)}{I(k-1)} dx , \quad i < j$$

Exemple Numérique:

Soit à calculer le déplacement δ_{34} de la poutre console vue précédemment



$$\delta_{34} = \frac{1}{E} \sum_{k=1}^3 \int_{a(k-1)}^{a(k)} \frac{M_3(x) M_4(x)}{I(k-1)} dx$$

avec $M_3(x) = a_3 - x = 15 - x$
 $M_4(x) = a_4 - x = 20 - x$

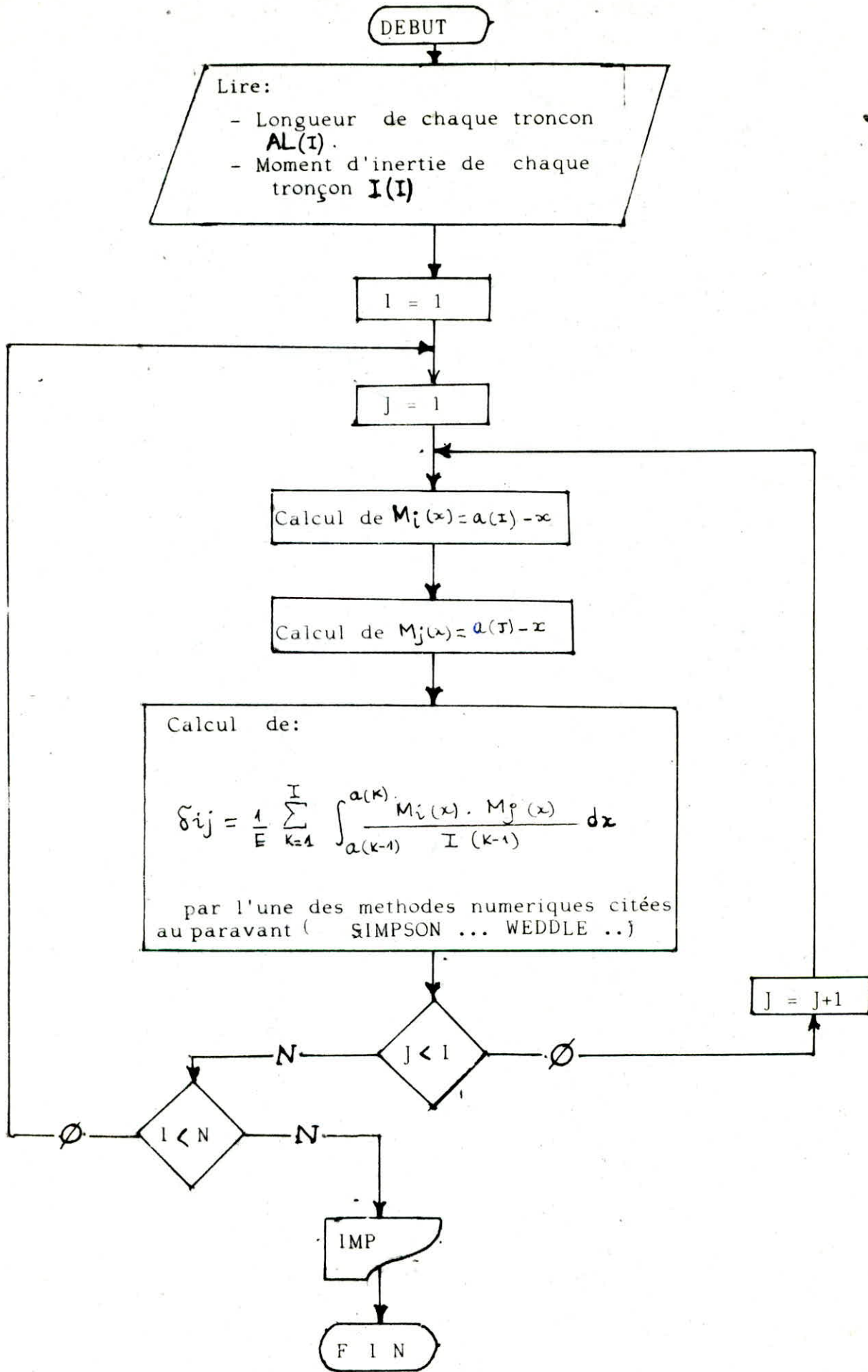
$$M_3(x) \cdot M_4(x) = 300 - 35x + x^2$$

Il vient;

$$\begin{aligned} \delta_{34} &= \frac{1}{E} \int_0^5 \frac{(300 + x^2 - 35x)}{I_0} dx + \frac{1}{E} \int_5^{10} \frac{300 + x^2 - 35x}{I_1} dx + \frac{1}{E} \int_{10}^{15} \frac{300 + x^2 - 35x}{I_2} dx \\ &= \frac{1}{500E} \left[300x + \frac{x^3}{3} - \frac{35}{2}x^2 \right]_0^5 + \frac{1}{425E} \left[300x + \frac{x^3}{3} - \frac{35}{2}x^2 \right]_5^{10} + \frac{1}{390E} \left[300x + \frac{x^3}{3} - \frac{35}{2}x^2 \right]_{10}^{15} \\ &= \frac{1}{E} \left[\frac{110475}{500} + \frac{479,187}{425} + \frac{104,167}{390} \right] \\ &= \frac{1}{E} [2,2083 + 1,1274 + 0,2671] \\ &= \frac{1}{E} [3,6029] \end{aligned}$$

$$\delta_{34} = \frac{3,6029}{E}$$

ORGANIGRAMME DE LA METHODE DE L'INTEGRALE DE MOHR



M E T H O D E D E S T O D O L A

A) Formulation par les souplesses:

**Determination du mode fondamental:

L'équation $(K - \omega^2 M)\hat{V} = 0$, peut s'écrire sous la forme:

$$\frac{1}{\omega^2} \hat{V} = f M \bar{V}$$

Le produit matriciel $f M$ caractérise les propriétés dynamiques de la structure, On l'appelle "matrice dynamique", notée D .

$$\text{donc } D = f \cdot M$$

On rappelle que cette équation ne sera satisfaite, que pour les vecteurs qui représentent les vrais modes de vibration, il existe 'N' vecteurs.

On commence par se donner un vecteur initial $V_1^{(0)}$ qui doit représenter au mieux le 1'er mode; $D V_1^{(0)} = \bar{V}_1^{(1)}$

En général, après la normalisation du vecteur de la déformée par rapport à l'une de ces composantes, on obtient un vecteur $\bar{V}_1^{(1)}$ différent avec celui de l'hypothèse initiale.

$$\text{Si c'était un mode 'vrai', alors: } \bar{V}_1^{(1)} = \frac{1}{\omega_1} V_1^{(0)}$$

Pour calculer la fréquence ω_1 , il suffit de considérer la coordonnée de déplacement d'un point arbitraire k et on écrit :

$$\bar{V}_{k_1}^{(1)} = \frac{1}{\omega_1^2} V_{k_1}^{(0)} \Rightarrow \omega_1^2 = \frac{V_{k_1}^{(0)}}{\bar{V}_{k_1}^{(1)}}$$

Mais généralement la déformée $\bar{V}_1^{(1)}$ diffère de $V_1^{(0)}$, on est amené à répéter le procédé jusqu'à obtenir :

$$V_1^{(s)} \approx V_1^{(s-1)}$$

dans ce cas on aura :

$$\bar{V}_1^{(s)} = \frac{1}{\omega_1^2} V_1^{(s-1)} \Rightarrow \omega_1^2 = \frac{V_{k_1}^{(s-1)}}{\bar{V}_{k_1}^{(s)}}$$

** Determination du second mode:

Représentant le vecteur d'amplitude initial $V_2^{(0)}$ (du 2'ème mode), en fonction de ses composantes modales:

$$V_2^{(0)} = \Phi Y^{(0)} = \Phi_1 Y_1^{(0)} + \Phi_2 Y_2^{(0)} + \dots + \Phi_m Y_m^{(0)}$$

en multipliant par $\Phi_1^T M$, on aura:

$$\Phi_1^T M V_2^{(0)} = \Phi_1^T M \Phi_1 Y_1^{(0)} + \Phi_1^T M \Phi_2 Y_2^{(0)} + \dots + \Phi_1^T M \Phi_m Y_m^{(0)}$$

en appliquant la condition d'orthogonalité:

$$\Phi_1^T M \Phi_m = 0 \quad \text{si } m \neq n.$$

on aura :

$$\Phi_1^T M V_2^{(0)} = \Phi_1^T M \Phi_1 Y_1^{(0)} \Rightarrow Y_1^{(0)} = \frac{\Phi_1^T M V_2^{(0)}}{\Phi_1^T M \Phi_1}$$

on appelle $M_1 = \Phi_1^T M \Phi_1$; coordonnée principale de masse généralisée'

$$\Rightarrow Y_1^{(0)} = \frac{\Phi_1^T M V_2^{(0)}}{M_1}$$

Si on élimine cette composante de la déformée initiale :

$$\bar{V}_2^{(0)} = V_2^{(0)} - \Phi_1 Y_1^{(0)} \quad \text{eq (1)}$$

on dit que le vecteur d'essai a été 'épuré'

Ce vecteur d'essai converge vers le second mode.

Pour débarrasser le vecteur d'essai de l'influence des composantes du premier mode, il est commode d'utiliser une matrice dite de "BALAYAGE" qui est obtenue par: $\bar{V}_2^{(0)} = V_2^{(0)} - \Phi_1 \frac{\Phi_1^T M V_2^{(0)}}{M_1} = V_2^{(0)} - \frac{1}{M_1} \Phi_1 \Phi_1^T M V_2^{(0)}$
 $= [I - \frac{1}{M_1} \Phi_1 \Phi_1^T M] V_2^{(0)}$.

La matrice de balayage permettant d'éliminer le premier mode, est donnée par: $S_1 = I - \frac{1}{M_1} \Phi_1 \Phi_1^T M$.

La matrice "dynamique" pour le deuxième mode est:

$$D_2 = D S_1$$

La détermination du seconde mode est entièrement équivalente à celle du premier mode envisagée précédemment;

$$D_2 V_2^{(1)} = \frac{1}{\omega_2^2} V_2^{(1)} \quad \text{si} \quad V_2^{(0)} \approx V_2^{(1)}$$

$$\bar{V}_2^{(1)} = D_2 V_2^{(0)} \Rightarrow \omega_2^2 = \frac{V_{k2}^{(s-1)}}{\bar{V}_{k2}^{(s)}}$$

** Détermination du 3^{ème} mode et des modes supérieurs **

On peut maintenant épurer par le procédé de balayage, un vecteur d'essai des contributions des deux premiers modes simultanément, ce qui convergera vers le troisième mode.

Par analogie avec l'éq (1), on a: $\bar{V}_3^{(0)} = V_3^{(0)} - \Phi_1 Y_1^{(0)} - \Phi_2 Y_2^{(0)}$.

Si on utilise la condition d'orthogonalité de $\bar{V}_3^{(0)}$ sur Φ_1 et Φ_2 dans

$$V_3^{(0)} = \Phi_1 Y_1^{(0)} + \Phi_2 Y_2^{(0)} + \dots + \Phi_n Y_n^{(0)}$$

en multipliant par $\Phi_1^T M$

$$\Phi_1^T M V_3^{(0)} = \Phi_1^T M \Phi_1 Y_1^{(0)} \Rightarrow Y_1^{(0)} = \frac{1}{M_1} \Phi_1^T M V_3^{(0)} ; M_1 = \Phi_1^T M \Phi_1$$

ensuite par: $\Phi_2^T M$.

$$\Phi_2^T M V_3^{(0)} = \Phi_2^T M \Phi_2 Y_2^{(0)} \Rightarrow Y_2^{(0)} = \frac{1}{M_2} \Phi_2^T M V_3^{(0)} ; M_2 = \Phi_2^T M \Phi_2$$

$$\Rightarrow \bar{V}_3^{(0)} = V_3^{(0)} - \frac{1}{M_1} \Phi_1 \Phi_1^T M V_3^{(0)} - \frac{1}{M_2} \Phi_2 \Phi_2^T M V_3^{(0)}$$

$$\bar{V}_3^{(0)} = [I - \frac{1}{M_1} \Phi_1 \Phi_1^T M - \frac{1}{M_2} \Phi_2 \Phi_2^T M] V_3^{(0)}$$

$$S_2 = I - \frac{1}{M_1} \Phi_1 \Phi_1^T M - \frac{1}{M_2} \Phi_2 \Phi_2^T M$$

On remarque que S_2 élimine à la fois, les composantes des deux modes du vecteur $V_3^{(0)}$

$$\text{Puisque } S_1 = I - \frac{1}{M_1} \Phi_1 \Phi_1^T M.$$

$$\text{ce qui donne } S_2 = S_1 - \frac{1}{M_2} \Phi_2 \Phi_2^T M.$$

Ainsi, pour la détermination du troisième mode, l'équation peut être écrite sous la forme suivante:

$$\begin{aligned} \frac{1}{\omega_3^2} V_3^{(1)} &= D_3 V_3^{(0)} \text{ si } V_3^{(0)} \approx V_3^{(1)} & D_3 = DS_2 \\ \Rightarrow \omega_3^2 &= \frac{V_{k3}^{(6-1)}}{V_{k3}^{(5)}} \end{aligned}$$

Le même procédé peut être répété pour la détermination des modes d'ordre de plus en plus élevé, pour calculer le quatrième mode (par exemple), la matrice de 'balayage' serait formée comme suit:

$$S_3 = S_2 - \frac{1}{M_3} \Phi_3 \Phi_3^T M$$

la matrice dynamique correspondante:

$$D_4 = DS_3$$

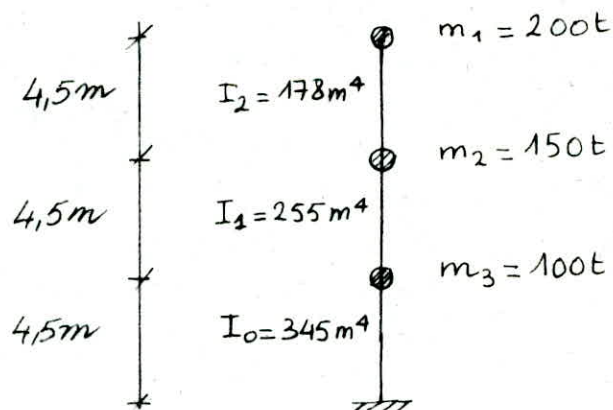
Finalement, la relation de récurrence s'écrit pour la détermination du "N^{ème}" mode :

$$\left\{ \begin{array}{l} S_0 = I \\ S_n = S_{n-1} - \frac{1}{M_n} \Phi_n \Phi_n^T M \\ D_{n+1} = DS_n \end{array} \right.$$

Exemple numérique:

Soit à déterminer les périodes propres et les vecteurs propres de la structure, dont les données sont les suivantes:

$$E = 3,45 \cdot 10^8 \text{ t/m}^3$$



La matrice des masses correspondante:

$$M = \begin{bmatrix} 200 & 0 & 0 \\ 0 & 150 & 0 \\ 0 & 0 & 100 \end{bmatrix}$$

La matrice des souplesses correspondante:

$$f = \frac{1}{EI_0} \begin{bmatrix} 923,67 & 452,05 & 121,50 \\ 452,05 & 253,72 & 75,94 \\ 121,50 & 75,94 & 30,375 \end{bmatrix}$$

** Détermination du mode fondamental:

la matrice dynamique

$$D = f \cdot M$$

$$f \cdot M = \frac{1}{EI_0} \begin{bmatrix} 923,67 & 452,05 & 121,50 \\ 452,05 & 253,72 & 75,94 \\ 121,50 & 75,94 & 30,375 \end{bmatrix} \begin{bmatrix} 200 & 0 & 0 \\ 0 & 150 & 0 \\ 0 & 0 & 100 \end{bmatrix}$$

$$D = \frac{1}{EI_0} \begin{bmatrix} 184733,40 & 67807,72 & 12150,0 \\ 50410,30 & 38058,08 & 7593,75 \\ 24300,0 & 11390 & 3037 \end{bmatrix}$$

$$D \cdot \begin{bmatrix} 1 \\ 1 \\ 1 \end{bmatrix} = \begin{bmatrix} 264691,12 \\ 136062,13 \\ 38728,12 \end{bmatrix} \begin{bmatrix} 1 & 221367,08 & 1 & 220439,67 & 1 & 220418,82 \\ 0,515 & 111084,79 & 0,502 & 110558,01 & 0,502 & 110546,18 \\ 0,146 & 11390 & 0,138 & 30435,83 & 0,138 & 30432,17 \end{bmatrix}$$

$$\bar{V}_1^{(3)} \approx \bar{V}_1^{(2)} \Rightarrow \omega_1^2 = \frac{\bar{V}_1^{(3)}}{\bar{V}_1^{(4)}} = \frac{1}{\frac{1}{EI_0} \cdot 220418,82} = 53999,48 \text{ rad.}$$

$$\text{d'où: } T_1 = 2\pi/\omega_1 = 6,28/232,38 = 0,027 \text{ sec.}$$

** Determination du 2^{ème} mode:

la matrice de balayage:

$$S_1 = I - \frac{1}{M_1} \Phi_1 \Phi_1^T M$$

$$\Phi_1 = \begin{bmatrix} 1 \\ 0,502 \\ 0,138 \end{bmatrix}$$

$$M_1 = \Phi_1^T M \Phi_1 = 1 \quad 0,502 \quad 0,138$$

$$= \begin{bmatrix} 1 & 0,502 & 0,138 \end{bmatrix} \begin{bmatrix} 200 & 0 & 0 \\ 0 & 150 & 0 \\ 0 & 0 & 100 \end{bmatrix} \begin{bmatrix} 1 \\ 0,502 \\ 0,138 \end{bmatrix} = 239,64$$

$$S_1 = \begin{bmatrix} 1 & 0 & 0 \\ 0 & 1 & 0 \\ 0 & 0 & 1 \end{bmatrix} - \frac{1}{239,64} \begin{bmatrix} 1 & 0,502 & 0,138 \\ 0,502 & 0,138 & 0 \\ 0,138 & 0 & 100 \end{bmatrix} \begin{bmatrix} 200 & 0 & 0 \\ 0 & 150 & 0 \\ 0 & 0 & 100 \end{bmatrix}$$

$$= \begin{bmatrix} 0,165 & -0,314 & -5,762 \\ -0,419 & 0,1843 & -2,890 \\ -0,115 & -4,334 & 0,99 \end{bmatrix}$$

la matrice dynamique :

$$D_1 = D S_1$$

$$D_1 = \frac{1}{EI_0} \begin{bmatrix} 184733,40 & 67807,72 & 12150,0 \\ 50410,30 & 38058,08 & 7593,75 \\ 24300,00 & 11390 & 3037 \end{bmatrix} \begin{bmatrix} 0,165 & -0,314 & -5,762 \\ -0,419 & 0,1843 & -2,890 \\ -0,115 & -4,334 & 0,99 \end{bmatrix}$$

$$D_1 = \frac{1}{EI_0} \begin{bmatrix} 772,63 & -1389,228 & -549,62 \\ -1851,16 & 3353,585 & 1224,53 \\ 1098,58 & 1836,94 & 1284,73 \end{bmatrix}$$

$$EI_0 \times D_1 \times \begin{bmatrix} 1 \\ 1 \\ 1 \\ \bar{v}_2^{(1)} \\ \bar{v}_2^{(2)} \\ \bar{v}_2^{(3)} \\ \bar{v}_2^{(4)} \\ \bar{v}_2^{(5)} \end{bmatrix} = \begin{bmatrix} -1166,22 & -0,428 & -2127,20 & -0,421 & -2068,89 & -0,420 & -2063,1 \\ 2727,27 & 1,00 & 5053,56 & 1,00 & 4922,79 & 1,00 & 4909,83 \\ 2022,48 & 0,742 & 3258,98 & 0,645 & 3127,48 & 0,635 & 3114,45 \\ -0,420 & -2062,53 & -0,420 & -0,420 & -2062,48 & -0,420 & -2063,1 \\ 1,00 & 4908,51 & 1,00 & 1,00 & 4908,37 & 1,00 & 4908,1 \\ 0,634 & 3113,12 & 0,634 & 0,634 & 3112,98 & 0,634 & 3112,83 \end{bmatrix}$$

$$\bar{v}_2^{(5)} \approx \bar{v}_2^{(4)} \Rightarrow \omega_2^2 = \frac{\bar{v}_2^{(5)}}{\bar{v}_2^{(4)}} = \frac{1}{\frac{1}{EI_0} 4908,37} = 2424939,44 \text{ (rad/s)}^2$$

$$\text{d'où: } \omega_2 = 1557,22 \text{ rad/s} \Rightarrow T_2 = \frac{2\pi}{\omega_2} = 0,004 \text{ sec.}$$

** Détermination du 3^{ème} mode:

La matrice de balayage:

$$S_2 = S_1 - \frac{1}{M_2} \Phi_2 \Phi_2^t M$$

$$\Phi_2 = \begin{bmatrix} -0,420 \\ 1,00 \\ 0,634 \end{bmatrix}$$

$$M_2 = \Phi_2^t M \Phi_2$$

$$= [-0,420 \ 1,00 \ 0,634] \begin{bmatrix} 200 & 0 & 0 \\ 0 & 150 & 0 \\ 0 & 0 & 100 \end{bmatrix} \begin{bmatrix} -0,420 \\ 1,00 \\ 0,634 \end{bmatrix} = 225,48$$

$$S_2 = \begin{bmatrix} 0,815 & -0,314 & -5,762 \\ -0,419 & 0,843 & -2,890 \\ -0,115 & -4,334 & 0,99 \end{bmatrix} - \frac{1}{225,48} \begin{bmatrix} -0,420 \\ 1,00 \\ 0,634 \end{bmatrix} \begin{bmatrix} -0,420 & 1,00 & 0,634 \end{bmatrix} \begin{bmatrix} 200 & 0 & 0 \\ 0 & 150 & 0 \\ 0 & 0 & 100 \end{bmatrix}$$

$$S_2 = \begin{bmatrix} 8,83 \cdot 10^{-3} & -3,47 \cdot 10^{-2} & 6,05 \cdot 10^{-2} \\ -4,59 \cdot 10^{-2} & 0,177 & -0,310 \\ 0,121 & -0,465 & 0,83 \end{bmatrix}$$

la matrice dynamique: $D_2 = D S_2$

$$D_2 = \frac{1}{EI_0} \begin{bmatrix} 184733,40 & 67807,72 & 12150,0 \\ 50410,30 & 38058,08 & 7593,75 \\ 24300,0 & 11390,0 & 3037 \end{bmatrix} \begin{bmatrix} 8,83 \cdot 10^{-3} & -3,47 \cdot 10^{-2} & 6,05 \cdot 10^{-2} \\ -4,59 \cdot 10^{-2} & 0,177 & -0,310 \\ 0,121 & -0,465 & 0,83 \end{bmatrix}$$

$$D_2 = \frac{1}{EI_0} \begin{bmatrix} -13,71 & 14,306 & 43,822 \\ -31,16 & 105,4 & -148,99 \\ 58,90 & -229,04 & 410,59 \end{bmatrix}$$

$$EI_0 D_2 \times \begin{bmatrix} 1 \\ 1 \\ V_3^{(0)} \\ V_3^{(1)} \\ V_3^{(2)} \\ V_3^{(3)} \\ V_3^{(4)} \\ V_3^{(5)} \end{bmatrix} = \begin{bmatrix} 44,42 & 0,184 & 36,84 & 4,478 \cdot 10^{-2} & 37,352 & 0,074 & 37,35 \\ -74,75 & -0,31 & -187,51 & -0,380 & -151,43 & -0,381 & -151,49 \\ 240,44 & 1,00 & 492,68 & 1,00 & 502,17 & 1,00 & 502,28 \\ 0,074 & 37,34 & V_3^{(1)} & V_3^{(2)} & V_3^{(3)} & V_3^{(4)} & V_3^{(5)} \\ -3,81 & 151,484 & & & & V_3^{(4)} & V_3^{(3)} \\ 1,00 & 502,286 & & & & & \\ \sqrt{\lambda_3} & \bar{V}_3^{(5)} & & & & & \end{bmatrix}$$

$$\Rightarrow \omega_3^2 = \frac{V_3^{(4)}}{V_3^{(5)}} = \frac{1}{\frac{1}{EI_0} (502,286)} = 23696658,88 \text{ rad.}^2$$

$$\Rightarrow T = \frac{2\pi}{\omega} = \frac{6,28}{4867,92} = 0,0013 \text{ sec.}$$

ORGANIGRAMME DE LA METHODE DE STODOLA

DEBUT

entrée des données
 Nombre de degré de liberté
 Nombre de modes à calculer
 - Matrice des souplesses $F(I,J)$
 - Matrice des masses $M(I,J)$

Calcul de la matrice dynamique:
 $D(I,J) = M(S,J) \times F(I,S)$

pour chaque cycle
 $KA = 1$

vecteur d'amplitude initiale
 $V(ka,I) = 1$

$KA = KA + 1$

$\bar{V}(ka,I) = V(KA-1,I) \times D(I,J)$

Normaliser le vecteur $\bar{V}(ka,I)$ en $V(ka,I)$.

N

$|V(ka,I) - V(KA-1,I)| < \epsilon$

$KA = KA + 1$

$\bar{V}(ka,I) = V(KA-1,I) \times D(I,J)$

valeurs et vecteurs propres

FIN

Coordonnée principales de masse généralisée
 $M = V(KA-1,S) \times M(S,S) \times V(KA-1,S)$

matrice de balayage
 (modes supérieurs)

$$S(I,J) = S(I,J) - \frac{P(J) - V(KA,I)}{M}$$

matrice de balayage
 (second mode)

$$S(I,J) = I - \frac{P(J) - V(KA,I)}{M}$$

La nouvelle matrice dynamique

$$D(I,J) = S(KO,J) \times D(I,J)$$

B) Formulation par les raideurs

La méthode de Stodola peut être formulée par les raideurs et ce pour déterminer le dernier mode, en écrivant :

$$(K - \omega^2 M) \hat{v} = 0 \Rightarrow K \hat{v} = \omega^2 M v$$

$$\Rightarrow M^{-1} K \hat{v} = \omega^2 v.$$

Dans ce cas les propriétés dynamiques seront représentées par :

$$E = M^{-1} K$$

Avec le même procédé vu précédemment nous déterminons le dernier mode

$$E V_N^{(s-1)} = \bar{V}_N^{(s)}$$

si $V_N^{(s)}$ représente le mode réel ($\bar{V}_N^{(s-1)} \approx V_N^{(s)}$) alors :

$$\omega_N^2 = \frac{\bar{V}_N^{(s)}}{\bar{V}_N^{(s-1)}}$$

Connaissant le N^{ème} mode, on peut déterminer les modes d'ordre moins élevé par une démarche inverse, en utilisant la matrice de balayage à l'aide du principe d'orthogonalité des vecteurs propres.

Ce procédé est généralement délaissé, car sa "convergence" est beaucoup moins rapide que celui formulé par les souplesses.

Mais il reste toujours utile pour l'obtention d'une bonne estimation des fréquences de vibrations les plus élevées (*).

* voir dynamique des structures (CLOUGH et PENZIEN) -biblio-

REMARQUES:

-- La principale limitation de l'algorithme de STQDOLA est que le mode requis ne peut être connu qu'après avoir déterminer tous les modes d'ordre inférieur.

-- Pour que la matrice de balayage puisse agir efficacement dans le calcul des modes supérieurs, il faut nécessairement évaluer avec une grande précision tous les modes d'ordre inférieur. (Les erreurs s'accumulent).

-- La convergence du processus pour chaque mode (i), se vérifie au niveau des vecteurs propres:

$$|v_{ki}^{(s-1)} - v_{ki}^{(s)}| < \epsilon$$

-- On n'utilise ce procédé (généralement), que pour la détermination des modes inférieurs.

METHODE DE JACOBI

A- Formulation par les raideurs

Principe de la méthode

La détermination des modes propres de vibration d'une structure conduit à une relation du type

$$([K] - \lambda_i [M])\{\phi_i\} = 0$$

dans laquelle;

$[K]$ est la matrice de rigidité de la structure.

$[M]$ est la matrice masse.

ϕ_i les vecteurs des déplacements de la structure.

$\lambda_i = \omega^2$, les carrés des pulsations correspondantes.

La méthode générale de JACOBI permet de calculer les N valeurs et vecteurs propres d'un système de dimension limitée dont les matrices sont symétriques et définies positives.

Elle consiste à transformer les matrices $[K]$ et $[M]$ en des matrices diagonales, en utilisant des transformations successives

$$[K_1] = [K]$$

$$[M_1] = [M]$$

$$[K_2] = [P_1]^T [K_1] [P_1]$$

$$[M_2] = [P_1]^T [M_1] [P_1]$$

$$[K_3] = [P_2]^T [K_2] [P_2]$$

$$[M_3] = [P_2]^T [M_2] [P_2]$$

⋮

⋮

$$[K_{k+1}] = [P_k]^T [K_k] [P_k]$$

$$[M_{k+1}] = [P_k]^T [M_k] [P_k]$$

Les matrices $[K_{k+1}]$; $[M_{k+1}]$ tendent vers des matrices diagonales $[K_d]$ et $[M_d]$ lorsque K tend vers l'infini.

Les valeurs et vecteurs propres sont alors:

$$\lambda = [K_d] [M_d]^{-1} \text{ où } \lambda_i = k_{ii}/m_{ii}$$

$$\phi = [P_1] [P_2] \cdots [P_{k+1}] \begin{bmatrix} \frac{1}{\sqrt{m_{11}}} & 0 \\ \cdots & \frac{1}{\sqrt{m_{ii}}} \\ 0 & \cdots & \frac{1}{\sqrt{m_{nn}}} \end{bmatrix}$$

P_k ; est la matrice de transformation.

Chaque matrice P_k est choisie de manière à ce qu'un terme non diagonal et non nul de $[K_k]$ et de $[M_k]$ soit après transformation égal à zéro.

La matrice P_k a la structure suivante:

$$P_k = \begin{bmatrix} 1 & & 0 \\ & 1-a & \\ b & & 1 \\ 0 & \uparrow & 1 \end{bmatrix} \rightarrow \begin{array}{l} \text{ligne } i \\ \text{ligne } j \end{array}$$

colonne i

Les coefficients a et b sont calculés en écrivant que;

$$K_{ij}^{(k+1)} = M_{ij}^{(k+1)} = 0 \quad \text{soit en supprimant par simplicité l'indice}$$

$K+1$ sur les termes de chaque matrice, ce qui revient à résoudre le système suivant:

$$a K_{ii} + (1+ab) K_{ij} + b K_{jj} = 0$$

$$a M_{ii} + (1+ab) M_{ij} + b M_{jj} = 0$$

si on note par: $C_1 = K_{ii} M_{ii} - M_{ii} K_{ij}$

$$C_2 = K_{jj} M_{ij} - M_{jj} K_{ij}$$

$$C_3 = K_{ii} M_{jj} - M_{ii} K_{jj}$$

$$d = C_3/2 + \text{signe}(C_3) \sqrt{\left(\frac{C_3}{2}\right)^2 + C_1 C_2}$$

a et b sont donnés par:

$$a = C_2/d \quad b = -C_1/d$$

Lorsque $[M]$ est définie positive, $(C_3/2)^2 + C_1 C_2$ est positif.

Pour vérifier la convergence du processus, il suffit de vérifier la relation suivante:

$$\frac{\lambda_i^{(l+1)} - \lambda_i^{(l)}}{\lambda_i^{(l+1)}} \leq \epsilon$$

où

$\lambda_i^{(l+1)}$: est la valeur propre de la $(l+1)$ ème itération

$\lambda_i^{(l)}$: est la valeur propre de la l ème itération

et ϵ : la tolérance de convergence.

Une autre vérification est introduite, elle consiste à vérifier les inégalités suivantes

$$\left| \frac{[K_{ij}^{(l+1)}]^2}{K_{ii}^{(l+1)} \cdot K_{jj}^{(l+1)}} \right|^{1/2} \leq 10^{-5}$$

$$\left| \frac{[M_{ij}^{(l+1)}]^2}{K_{ii}^{(l+1)} \cdot K_{jj}^{(l+1)}} \right|^{1/2} \leq 10^{-5}$$

Exemple numérique

$$K = \begin{bmatrix} 1 & -1 \\ -1 & 1 \end{bmatrix} \quad M = \begin{bmatrix} 2 & 1 \\ 1 & 2 \end{bmatrix}$$

1) $P_1 = ?$

$$\bar{k}_{11} = k_{11}m_{12} - m_{11}k_{12} = 1 \cdot 1 - 2(-1) = 3 = (C_1)$$

$$\bar{k}_{22} = k_{22}m_{12} - m_{22}k_{12} = 1 \cdot 1 - 2(-1) = 3 = (C_2)$$

$$\bar{k} = k_{11}m_{22} - k_{22}m_{11} = 1 \cdot 2 - 1 \cdot 2 = 0 = (C_3)$$

$$\begin{aligned} x &= \bar{k}/2 + \text{Sign}(\bar{k}) \left[(\bar{k}/2)^2 + \bar{k}_{11} \cdot \bar{k}_{22} \right]^{1/2} / d \\ &= 0 + (0^2 + 3 \cdot 3)^{1/2} = 3 \end{aligned}$$

$$a = C_2/d = 3/3 = 1$$

$$b = -C_1/d = -3/3 = -1$$

$$P_1 = \begin{bmatrix} 1 & 1 \\ -1 & 1 \end{bmatrix} \quad P_1^T = \begin{bmatrix} 1 & -1 \\ 1 & 1 \end{bmatrix}$$

$$a) P_1^T K P_1 = \begin{bmatrix} 1 & -1 \\ 1 & 1 \end{bmatrix} \begin{bmatrix} 1 & -1 \\ -1 & 1 \end{bmatrix} \begin{bmatrix} 1 & 1 \\ -1 & 1 \end{bmatrix} = \begin{bmatrix} 4 & 0 \\ 0 & 0 \end{bmatrix}$$

$$b) P_1^T M P_1 = \begin{bmatrix} 1 & -1 \\ 1 & 1 \end{bmatrix} \begin{bmatrix} 2 & 1 \\ 1 & 2 \end{bmatrix} \begin{bmatrix} 1 & 1 \\ -1 & 1 \end{bmatrix} = \begin{bmatrix} 2 & 0 \\ 0 & 6 \end{bmatrix}$$

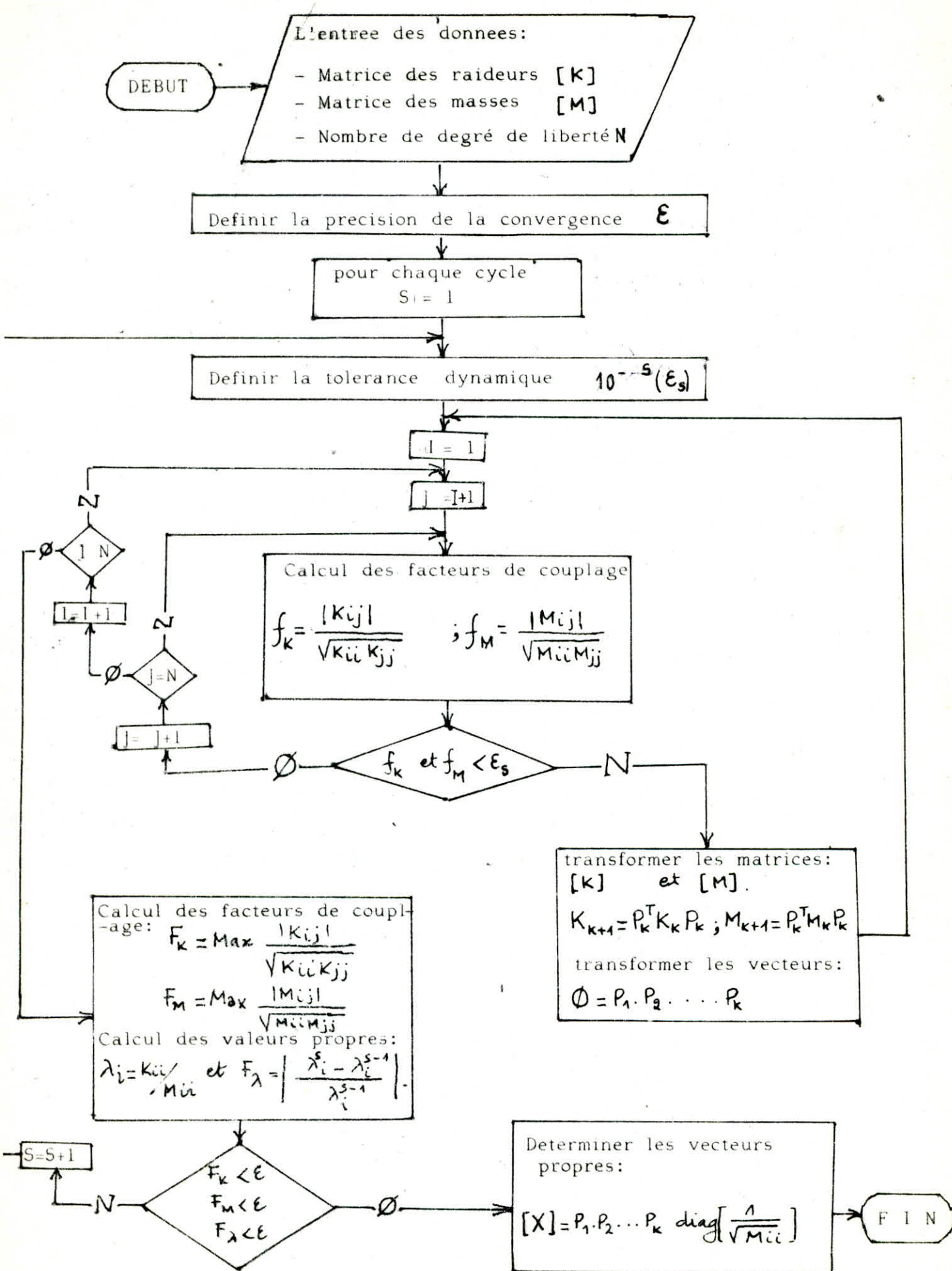
RMQ/. On a plus besoins de faire des itérations étant donné que les deux matrices sont diagonales.

$$\lambda = \text{diag}\left(\frac{K_2}{M_2}\right) = \begin{bmatrix} 4/2 \\ \cdot \\ 0/6 \end{bmatrix}$$

$$\phi = P_1 \text{diag}\left(\frac{1}{\sqrt{M_2}}\right) = \begin{bmatrix} 1 & 1 \\ -1 & 1 \end{bmatrix} \begin{bmatrix} 1/\sqrt{2} & 0 \\ 0 & 1/\sqrt{6} \end{bmatrix} = \begin{bmatrix} \frac{1}{\sqrt{2}} & \frac{1}{\sqrt{6}} \\ -\frac{1}{\sqrt{2}} & \frac{1}{\sqrt{6}} \end{bmatrix}$$

$$\lambda_1 = 2 \text{ et } \phi_1 = \begin{bmatrix} 1/\sqrt{2} \\ -1/\sqrt{2} \end{bmatrix} \quad \lambda_2 = 0 \text{ et } \phi_2 = \begin{bmatrix} 1/\sqrt{6} \\ 1/\sqrt{6} \end{bmatrix}$$

ORGANIGRAMME DE LA METHODE DE JACOBI



B- Formulation par les souplesses:

L'équation matricielle à résoudre est:

$$K\phi = \lambda M\phi$$

Multippliant chaque membre de l'égalité par $\frac{1}{\lambda} K^{-1}$, ce qui donne:

$$\frac{1}{\lambda} \phi = K^{-1} M \phi$$

Puisque K^{-1} caractérise la souplesse f donc:
le problème se transforme en la résolution de:

$$\frac{1}{\lambda} \phi = f M \phi. \quad (1)$$

ou $f M = D$ représentant la matrice dynamique.

Comme la matrice dynamique n'est pas 'symétrique', par conséquence la méthode de JACOBI devient inn applicable.

Pour rendre la méthode de jacobie applicable à ce tel système, introduisant l'artifice de calcul suivant:

Transformons la matrice M en deux matrices triangulaires L, L^T , en utilisant une des méthodes numériques, on cite parmi elles 'la méthode de CHOLESKY' que nous avons utilisée.

Substituons $M = LL^T$ dans l'équation (1):

$$f L L^T \phi = \frac{1}{\lambda} \phi$$

Multiplions chaque membre par L^T , il vient:

$$L^T f L L^T \phi = \frac{1}{\lambda} L^T \phi$$

posons $L^T \phi = \bar{\phi}$

et $L^T f L = \bar{K}$

$$\frac{1}{\lambda} = \bar{\lambda}$$

d'où : $\bar{K} \bar{\phi} = \bar{\lambda} \bar{\phi}$..

Montrons que \bar{K} est symétrique : $\bar{K}^T = \bar{K}$

rappel: $(A \cdot B)^T = B^T \cdot A^T$

$$\bar{K}^T = [(L^T f) \cdot L]^T = L^T \cdot (L^T f)^T = L^T \cdot f^T \cdot (L^T)^T = L^T f \cdot L = \bar{K} \text{ (cqfd)}$$

car f est symétrique $\Rightarrow f^T = f$

$$(L^T)^T = L$$

donc: $\bar{K}^T = \bar{K}$.

Arriver à ce stade, on peut utiliser la méthode de JACOBI:

Ayant comme données

$$\bar{K} = L^T f L \quad \bar{M} = I$$

Nous résolvons le problème:

$$\bar{\mathbf{K}} \bar{\Phi} = \bar{\lambda} \bar{\mathbf{M}} \bar{\Phi}$$

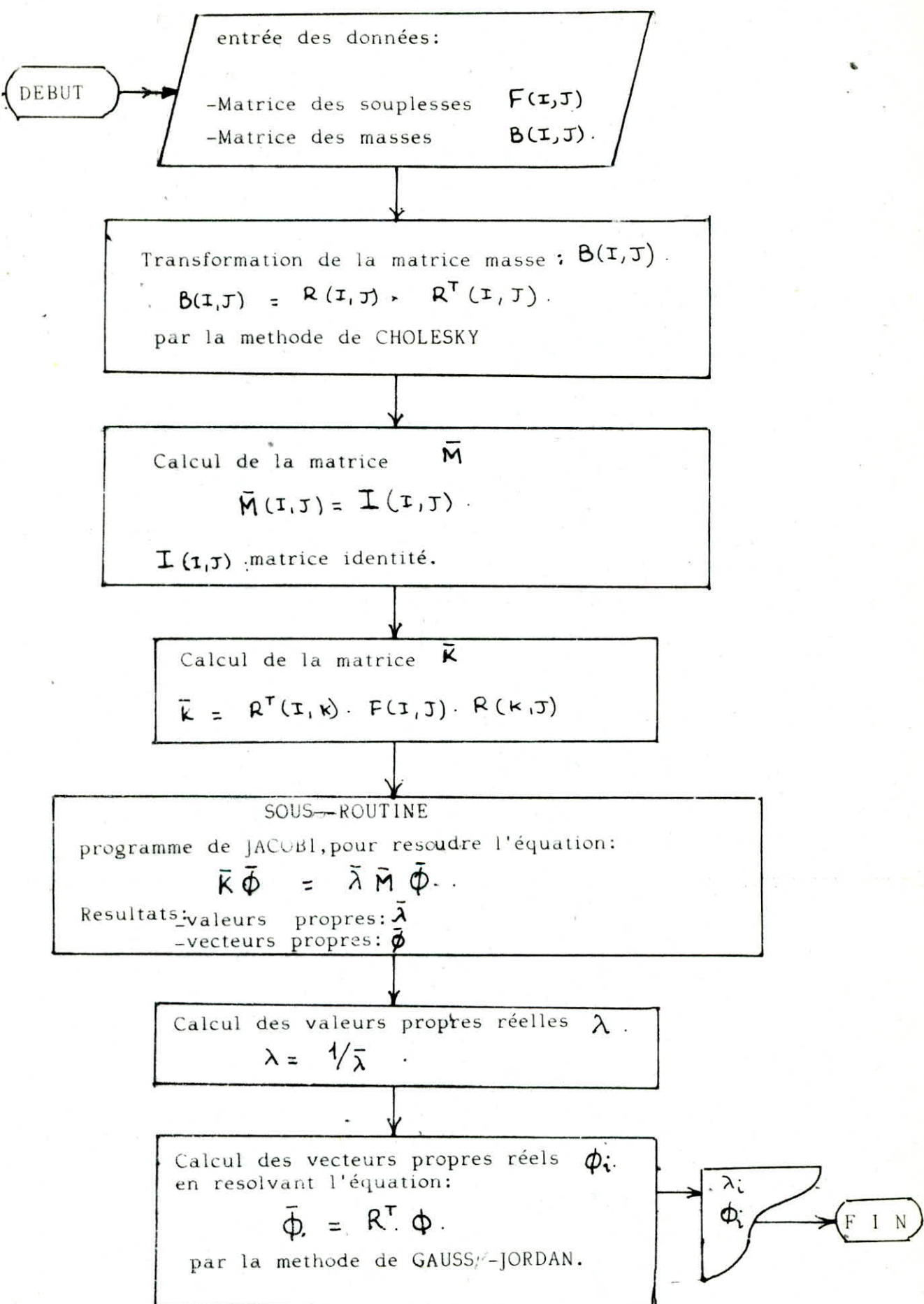
On obtient les vecteurs propres $\bar{\Phi}_i$ en résolvant l'équation: $\bar{\Phi}_i = L^T \bar{\Phi}_i$ par la méthode de GAUSS-JORDAN (par exemple) et les vecteurs propres d'après $\bar{\lambda} = \frac{1}{\lambda}$.

REMARQUES:

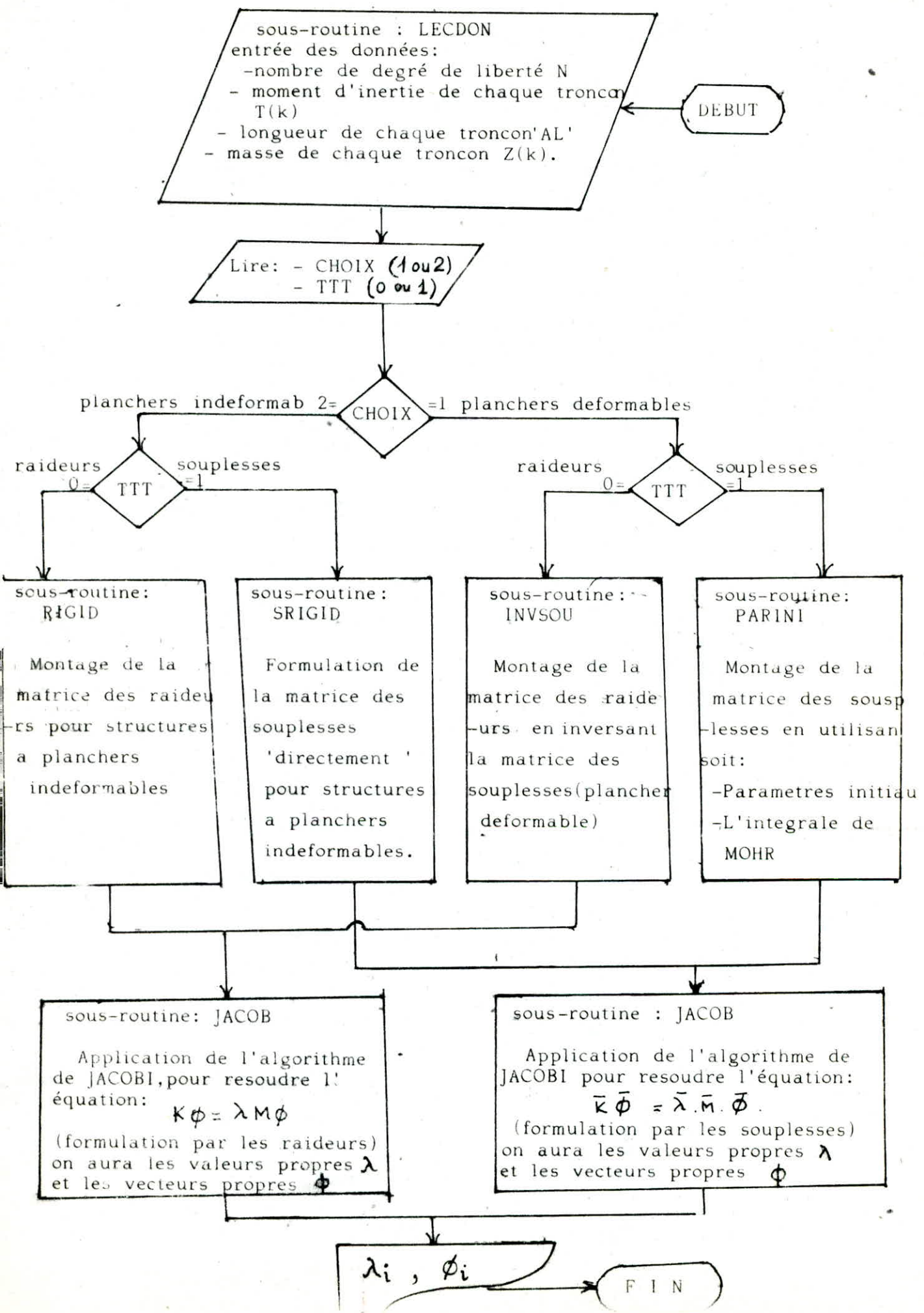
- L'algorithme de JACOBI est limité pour les systèmes ayant au plus un degré de liberté égale à 100.
- La détermination d'un mode quelconque, nécessite le calcul de tous les modes.
- La méthode de JACOBI est très efficace lorsque tous les vecteurs propres et les valeurs propres correspondantes sont exigés.
- Elle est également efficace lorsque les éléments non diagonaux des matrices $[K]$ et $[M]$ sont initialement petits.
- la convergence de l'algorithme de JACOBI se vérifie au niveau des valeurs propres :

$$\left| \frac{\lambda_i^{(s-1)} - \lambda_i^{(s)}}{\lambda_i^{(s-1)}} \right| < \varepsilon.$$

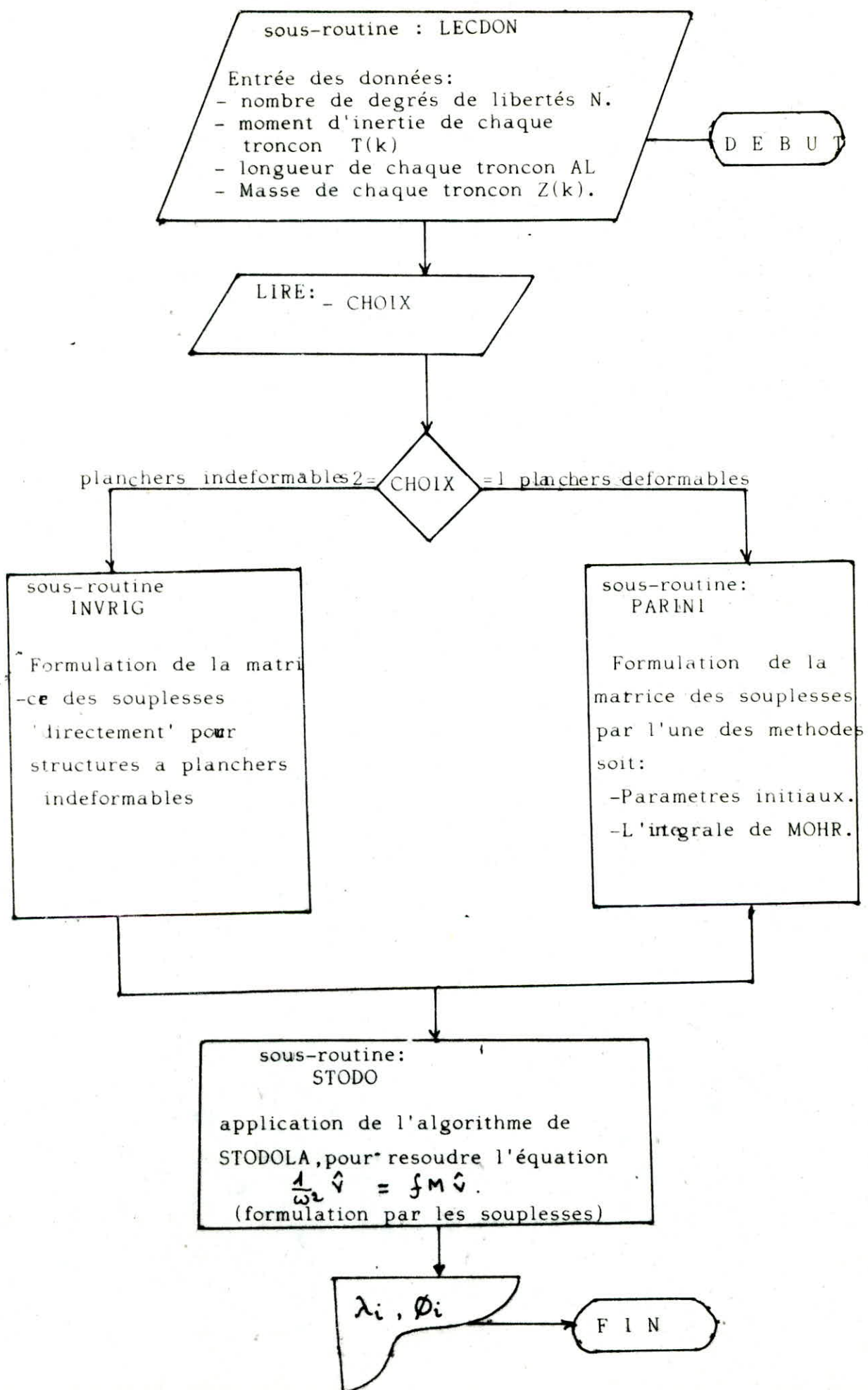
ORGANIGRAMME DE JACOBI FORMULE PAR LES SOUPLESSES

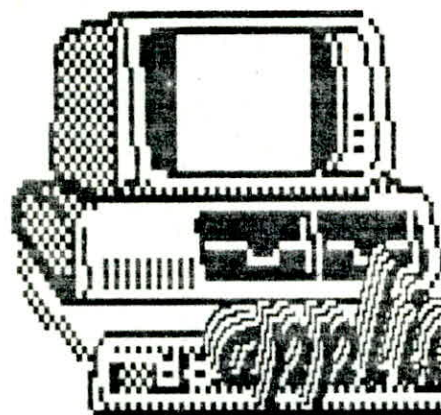


ORGANIGRAMME ENVELOPPE DE JACOBI



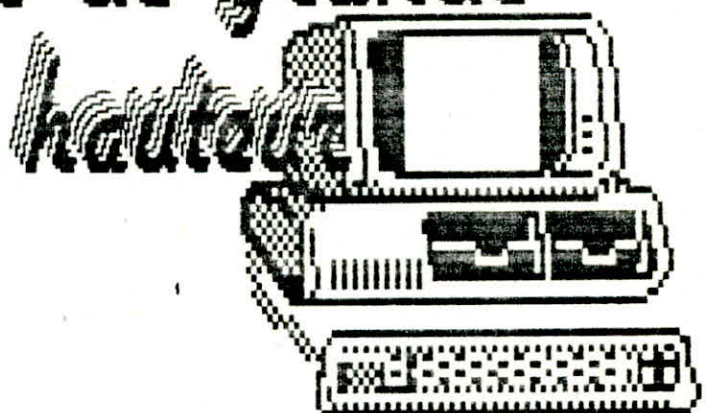
ORGANIGRAMME ENVELOPPE DE STODOLA





**application au
calcul**

**similique d'une
touz de grande
hautee**



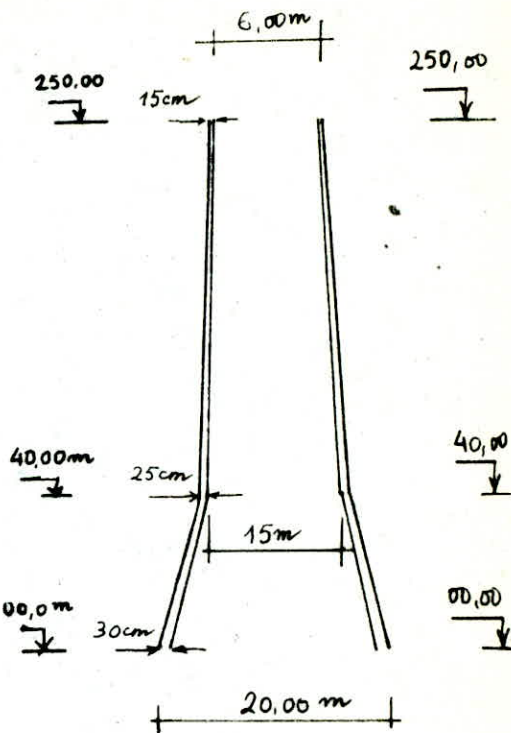
PRESENTATION DE LA CHEMINEE

La cheminée a été devisée en 25 tronçons de 10m de longueur chacun.

Elements Geometriques:

A partir des côtes de départ, nous pouvons déterminer les diamètres extérieurs, les épaisseurs, les inerties annulaires...etc, et ce pour les différentes sections.

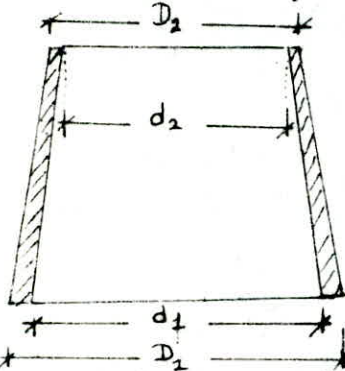
Nous avons établit pour cela un programme, les résultats sont résumés dans le tableau ci-après.



Elements Mécaniques:

Les éléments géométriques étant établis, nous pouvons à présent calculer le volume et le poids de la cheminée (pour les différents tronçons).

La formule de base pour calculer le volume, pour chaque tronçon est:



$$V = \frac{\pi}{3} H \cdot \frac{1}{4} (D_1^2 - d_1^2 + D_2^2 - d_2^2 + D_1 D_2 - d_1 d_2)$$

On en déduit aisement les volumes cumulés et les poids cumulés ($\rho_{air} = 2.5 \text{ t/m}^3$). Pour ce qui est du chemisage, nous opérons de la même façon en ayant pris soin de calculer auparavant les nouveaux diamètres intérieurs et extérieurs ($\rho_{brique} = 1.8 \text{ t/m}^3$).

- Caractéristiques géométriques et mécaniques.-

diam-ext	diam-inte	poids	poids	moments	poids	poids
chemisage	chemisage	béton	chemisage	d'inerties	totaux	totaux
(mètres)	(mètres)	(tonnes)	(tonnes)	(m ² ×4)	(tonnes)	cummulés
5.600	5.380	72.560	36.452	13.400	109.012	109.012
6.019	5.799	80.057	38.059	16.914	118.116	227.128
6.438	6.218	87.872	40.665	21.060	128.537	355.665
6.857	6.637	96.003	43.272	25.907	139.275	494.940
7.276	7.056	104.452	45.878	31.528	150.330	645.270
7.695	7.475	113.218	48.485	37.999	161.702	806.972
8.114	7.894	122.300	51.091	45.398	173.391	980.364
8.533	8.313	131.700	53.698	53.809	185.398	1165.761
8.952	8.732	141.416	56.304	63.318	197.721	1363.482
9.371	9.151	151.450	58.911	74.015	210.361	1573.843
9.790	9.570	161.801	61.518	85.992	223.318	1797.161
10.210	9.990	172.468	64.124	99.346	236.592	2033.753
10.629	10.409	183.453	66.730	114.177	250.183	2283.936
11.048	10.828	194.754	69.337	130.588	264.091	2548.027
11.467	11.247	206.373	71.944	148.686	278.317	2826.344
11.886	11.666	218.309	74.550	168.580	292.859	3119.203
12.305	12.085	230.561	77.157	190.385	307.717	3426.920
12.724	12.504	243.130	79.763	214.217	322.893	3749.813
13.143	12.923	256.017	82.369	240.197	338.386	4088.200
13.562	13.342	269.221	84.976	268.448	354.197	4442.396
13.981	13.761	282.741	87.583	299.097	370.324	4812.721
14.400	14.180	316.915	92.618	377.645	409.533	5222.254
15.600	15.380	374.738	100.083	519.852	474.821	5697.075
16.800	16.580	437.373	107.547	698.864	544.920	6241.995
18.000	17.780	504.817	115.011	920.541	619.828	6861.822
19.200	18.980			Poids Total = 6861.822 tonnes		

- caractéristiques géométriques -

	diamètres extérieurs ! (mètres)	diamètres intérieurs ! (mètres)	épaisseurs ! (mètres)	diamètres moyens ! (mètres)	moments d'inerties ! (m4)
25 !	6.000 !	5.700 !	0.150 !	5.850 !	11.792 !
24 !	6.429 !	6.119 !	0.155 !	6.274 !	15.007 !
23 !	6.857 !	6.538 !	0.160 !	6.698 !	18.821 !
22 !	7.286 !	6.957 !	0.164 !	7.121 !	23.300 !
21 !	7.714 !	7.376 !	0.169 !	7.545 !	28.515 !
20 !	8.143 !	7.795 !	0.174 !	7.969 !	34.541 !
19 !	8.571 !	8.214 !	0.179 !	8.393 !	41.456 !
18 !	9.000 !	8.633 !	0.183 !	8.817 !	49.340 !
17 !	9.429 !	9.052 !	0.188 !	9.240 !	58.278 !
16 !	9.857 !	9.471 !	0.193 !	9.664 !	68.358 !
15 !	10.286 !	9.890 !	0.198 !	10.088 !	79.672 !
14 !	10.714 !	10.310 !	0.202 !	10.512 !	92.313 !
13 !	11.143 !	10.729 !	0.207 !	10.936 !	106.380 !
12 !	11.571 !	11.148 !	0.212 !	11.360 !	121.974 !
11 !	12.000 !	11.567 !	0.217 !	11.783 !	139.201 !
10 !	12.429 !	11.986 !	0.221 !	12.207 !	158.170 !
9 !	12.857 !	12.405 !	0.226 !	12.631 !	178.990 !
8 !	13.286 !	12.824 !	0.231 !	13.055 !	201.779 !
7 !	13.714 !	13.243 !	0.236 !	13.479 !	226.654 !
6 !	14.143 !	13.662 !	0.240 !	13.902 !	253.739 !
5 !	14.571 !	14.081 !	0.245 !	14.326 !	283.157 !
4 !	15.000 !	14.500 !	0.250 !	14.750 !	315.038 !
3 !	16.250 !	15.700 !	0.275 !	15.975 !	440.252 !
2 !	17.500 !	16.900 !	0.300 !	17.200 !	599.451 !
1 !	18.750 !	18.100 !	0.325 !	18.425 !	798.277 !
0 !	20.000 !	19.300 !	0.350 !	19.650 !	1042.805 !

ETUDE DYNAMIQUE

Pour les constructions ne présentant pas de concentrations notables de poids (cas de notre cheminée), on accepte l'hypothèse de la masse distribuée d'une façon continue. Lorsque la loi de répartition de la masse est différente d'une loi linéaire, le calcul des caractéristiques dynamiques (masse, raideur,...) devient très compliqué car il n'existe pas de solutions analytiques simples pour l'équation différentielle d'équilibre.

Nous sommes alors obligés de diviser l'ensemble de l'ouvrage en un nombre convenablement choisi de tronçons dont les masses seront concentrées dans les centres de gravité respectifs, ce qui permet un traitement commode et concret du comportement dynamique.

Le système est ramené par cette méthode à un schéma à plusieurs masses concentrées. La précision du procédé dépend de la finesse du découpage. Le calcul du mode fondamental d'une structure élancée est suffisamment précis si l'on divise la structure en 10 à 15 tronçons, ce nombre est insuffisant pour la détermination des modes supérieurs qui nécessite de 20 à 30 tronçons.

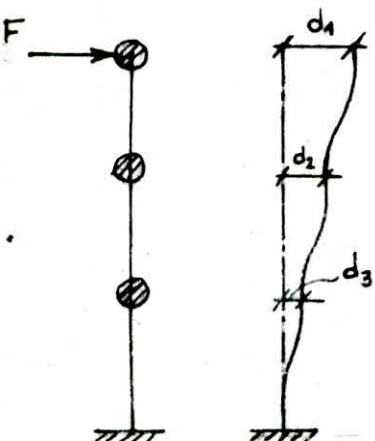
Ceci nous amène ainsi à fractionner fictivement notre cheminée en 25 tronçons dont le modèle est représenté dans la figure qui suit.

a) Détermination des modes propres:

Pour ce qui est de la détermination des valeurs et vecteurs propres de notre structure, nous avons appliquer les différents algorithmes étudiés auparavant.

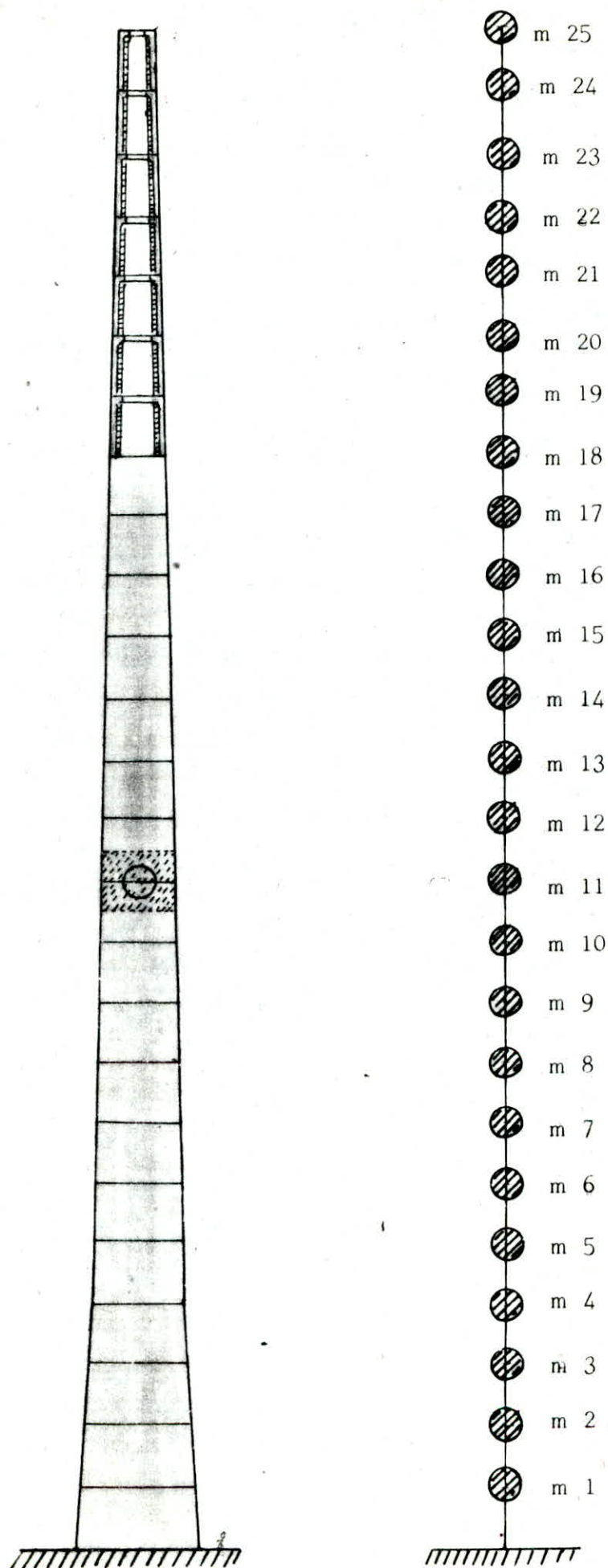
1°) Hypothèse de structures à planchers indeformables:

En réalité dans notre cheminée, c'est des poutres annulaires qui raidissent la structure et non des planchers.



deformée de la structure à planchers (ou anneaux) indeformables sous l'action d'une force appliquée au sommet.

MODELISATION DE LA CHEMINEE



VALEURS PROPRES DONNEES PAR JACOBI FORMULE PAR LES RAIDEURS POUR PLANCHERS DEFORMABLES

	1 er mode ! 2eme mode ! 3eme mode ! 4eme mode ! 5eme mode ! 6eme mode ! 7 er mode ! 8eme mode ! 9eme mode ! 10eme mode ! 11eme mode ! 12eme mode
25!	1.0000 ! 1.0000 ! 1.0000 ! 1.0000 ! 1.0000 ! 1.0000 ! 1.0000 ! 1.0000 ! 1.0000 ! 1.0000 ! 1.0000 ! 1.0000 ! 1.0000 ! 1.0000
24!	0.9259 ! 0.7641 ! 0.5625 ! 0.3215 ! 0.0510 ! -0.2454 ! -0.5690 ! -0.9120 ! -1.2643 ! -1.6245 ! -1.9868 ! -2.3374 !
23!	0.8523 ! 0.5346 ! 0.1604 ! -0.2402 ! -0.6106 ! -0.9043 ! -1.0767 ! -1.0786 ! -0.8775 ! -0.4513 ! 0.2092 ! 1.0749 !
22!	0.7796 ! 0.3184 ! -0.1726 ! -0.5939 ! -0.8206 ! -0.7787 ! -0.4411 ! 0.1439 ! 0.8398 ! 1.4682 ! 1.8066 ! 1.6387 !
21!	0.7084 ! 0.1221 ! -0.4121 ! -0.7050 ! -0.6074 ! -0.1405 ! 0.5263 ! 1.0837 ! 1.2116 ! 0.7275 ! -0.3238 ! -1.5718 !
20!	0.6393 ! -0.0492 ! -0.5481 ! -0.6002 ! -0.1521 ! 0.5161 ! 0.9564 ! 0.7738 ! -0.0487 ! -1.0869 ! -1.6220 ! -1.0565 !
19!	0.5727 ! -0.1922 ! -0.5842 ! -0.3490 ! 0.3160 ! 0.8032 ! 0.5937 ! -0.2780 ! -1.1010 ! -1.0473 ! 0.1249 ! 1.5807 !
18!	0.5090 ! -0.3054 ! -0.5347 ! -0.0385 ! 0.6144 ! 0.6187 ! -0.1731 ! -0.9467 ! -0.7060 ! 0.5329 ! 1.4843 ! 0.7735 !
17!	0.4485 ! -0.3888 ! -0.4207 ! 0.2494 ! 0.6610 ! 0.1313 ! -0.7398 ! -0.6772 ! 0.4663 ! 1.2289 ! 0.2687 ! -1.4582 !
16!	0.3916 ! -0.4439 ! -0.2666 ! 0.4546 ! 0.4772 ! -0.3718 ! -0.7515 ! 0.1598 ! 1.0168 ! 0.2254 ! -1.2612 ! -0.8217 !
15!	0.3384 ! -0.4729 ! -0.0958 ! 0.5459 ! 0.1560 ! -0.6498 ! -0.2777 ! 0.7831 ! 0.4484 ! -0.9744 ! -0.7393 ! 1.2110 !
14!	0.2892 ! -0.4790 ! 0.0708 ! 0.5205 ! -0.1826 ! -0.6067 ! 0.3232 ! 0.7178 ! -0.5208 ! -0.8701 ! 0.8193 ! 1.0131 !
13!	0.2439 ! -0.4656 ! 0.2166 ! 0.3982 ! -0.4342 ! -0.3036 ! 0.6771 ! 0.1025 ! -0.8991 ! 0.2549 ! 1.0924 ! -0.8320 !
12!	0.2026 ! -0.4365 ! 0.3304 ! 0.2136 ! -0.5371 ! 0.0991 ! 0.6128 ! -0.5352 ! -0.4049 ! 0.9946 ! -0.1416 ! -1.2112 !
11!	0.1654 ! -0.3955 ! 0.4060 ! 0.0062 ! -0.4808 ! 0.4266 ! 0.2167 ! -0.7344 ! 0.4132 ! 0.5791 ! -1.0914 ! 0.2959 !
10!	0.1323 ! -0.3464 ! 0.4420 ! -0.1873 ! -0.2990 ! 0.5606 ! -0.2619 ! -0.4081 ! 0.8057 ! -0.4196 ! -0.5816 ! 1.2508 !
9!	0.1031 ! -0.2926 ! 0.4409 ! -0.3382 ! -0.0525 ! 0.4728 ! -0.5683 ! 0.1667 ! 0.4890 ! -0.9105 ! 0.6064 ! 0.3366 !
8!	0.0779 ! -0.2375 ! 0.4084 ! -0.4296 ! 0.1914 ! 0.2194 ! -0.5706 ! 0.5923 ! -0.2042 ! -0.4591 ! 0.9912 ! -0.9899 !
7!	0.0565 ! -0.1839 ! 0.3526 ! -0.4565 ! 0.3765 ! -0.0941 ! -0.3012 ! 0.6209 ! -0.6915 ! 0.4026 ! 0.2155 ! -0.9078 !
6!	0.0390 ! -0.1345 ! 0.2824 ! -0.4252 ! 0.4692 ! -0.3579 ! 0.0875 ! 0.2776 ! -0.6257 ! 0.8331 ! -0.7416 ! 0.3368 !
5!	0.0250 ! -0.0913 ! 0.2072 ! -0.3501 ! 0.4628 ! -0.4947 ! 0.4116 ! -0.1999 ! -0.1111 ! 0.4883 ! -0.8322 ! 1.0646 !
4!	0.0147 ! -0.0563 ! 0.1364 ! -0.2517 ! 0.3759 ! -0.4807 ! 0.5410 ! -0.5259 ! 0.4326 ! -0.2400 ! -0.0615 ! 0.4428 !
3!	0.0076 ! -0.0304 ! 0.0774 ! -0.1526 ! 0.2478 ! -0.3532 ! 0.4614 ! -0.5548 ! 0.6358 ! -0.6895 ! 0.6733 ! -0.6035 !
2!	0.0031 ! -0.0130 ! 0.0345 ! -0.0713 ! 0.1226 ! -0.1874 ! 0.2669 ! -0.3570 ! 0.4665 ! -0.5978 ! 0.7279 ! -0.8836 !
1!	0.0007 ! -0.0032 ! 0.0087 ! -0.0186 ! 0.0334 ! -0.0534 ! 0.0803 ! -0.1142 ! 0.1599 ! -0.2214 ! 0.2943 ! -0.3937 !
	4.6385 ! 1.1892 ! 0.4966 ! 0.2679 ! 0.1671 ! 0.1140 ! 0.0823 ! 0.0621 ! 0.0486 ! 0.0390 ! 0.0320 ! 0.0268 !

p e r i o d e s p r o p r e s (s e c o n d e s)

tE d tmon A
881 810 810 PB

PB 012 88

avant p. 37.

VALEURS PROPRES DONNEES PAR JACOBI FORMULE PAR
LES SOUPLESSES POUR PLANCHERS DEFORMABLES

	1er mode ! 2eme mode ! 3eme mode ! 4eme mode ! 5eme mode ! 6eme mode ! 7eme mode ! 8eme mode ! 9eme mode ! 10eme mode ! 11eme mode !
25!	1.0000 ! 1.0000 ! 1.0000 ! 1.0000 ! 1.0000 ! 1.0000 ! 1.0000 ! 1.0000 ! 1.0000 ! 1.0000 ! 1.0000 ! 1.0000 !
24!	0.9259 ! 0.7641 ! 0.5625 ! 0.3215 ! 0.0510 ! -0.2454 ! -0.5690 ! -0.9120 ! -1.2643 ! -1.6245 ! -1.9868 !
23!	0.8523 ! 0.5346 ! 0.1604 ! -0.2402 ! -0.6106 ! -0.9043 ! -1.0767 ! -1.0786 ! -0.8775 ! -0.4513 ! 0.2092 !
22!	0.7796 ! 0.3184 ! -0.1726 ! -0.5939 ! -0.8206 ! -0.7787 ! -0.4411 ! 0.1439 ! 0.8398 ! 1.4682 ! 1.8066 !
21!	0.7084 ! 0.1221 ! -0.4121 ! -0.7050 ! -0.6074 ! -0.1405 ! 0.5263 ! 1.0837 ! 1.2116 ! 0.7275 ! -0.3238 !
20!	0.6393 ! -0.0492 ! -0.5481 ! -0.6002 ! -0.1521 ! 0.5161 ! 0.9564 ! 0.7738 ! -0.0487 ! -1.0869 ! -1.6220 !
19!	0.5727 ! -0.1922 ! -0.5842 ! -0.3490 ! 0.3160 ! 0.8032 ! 0.5937 ! -0.2780 ! -1.1010 ! -1.0473 ! 0.1248 !
18!	0.5090 ! -0.3054 ! -0.5347 ! -0.0385 ! 0.6144 ! 0.6187 ! -0.1731 ! -0.9467 ! -0.7060 ! 0.5329 ! 1.4843 !
17!	0.4485 ! -0.3888 ! -0.4207 ! 0.2494 ! 0.6610 ! 0.1313 ! -0.7398 ! -0.6772 ! 0.4663 ! 1.2289 ! 0.2687 !
16!	0.3916 ! -0.4439 ! -0.2665 ! 0.4546 ! 0.4772 ! -0.3718 ! -0.7515 ! 0.1598 ! 1.0168 ! 0.2254 ! -1.2612 !
15!	0.3384 ! -0.4729 ! -0.0958 ! 0.5459 ! 0.1560 ! -0.6498 ! -0.2777 ! 0.7831 ! 0.4484 ! -0.9744 ! -0.7393 !
14!	0.2892 ! -0.4790 ! 0.0708 ! 0.5205 ! -0.1826 ! -0.6067 ! 0.3232 ! 0.7178 ! -0.5208 ! -0.8701 ! 0.8193 !
13!	0.2439 ! -0.4656 ! 0.2166 ! 0.3982 ! -0.4342 ! -0.3036 ! 0.6771 ! 0.1025 ! -0.8991 ! 0.2549 ! 1.0924 !
12!	0.2026 ! -0.4365 ! 0.3304 ! 0.2136 ! -0.5371 ! 0.0991 ! 0.6128 ! -0.5352 ! -0.4049 ! 0.9946 ! -0.1416 !
11!	0.1654 ! -0.3955 ! 0.4060 ! 0.0062 ! -0.4808 ! 0.4266 ! 0.2167 ! -0.7344 ! 0.4132 ! 0.5791 ! -1.0914 !
10!	0.1323 ! -0.3464 ! 0.4420 ! -0.1873 ! -0.2990 ! 0.5606 ! -0.2619 ! -0.4081 ! 0.8057 ! -0.4196 ! -0.5816 !
9!	0.1031 ! -0.2926 ! 0.4409 ! -0.3382 ! -0.0525 ! 0.4728 ! -0.5683 ! 0.1667 ! 0.4890 ! -0.9105 ! 0.6064 !
8!	0.0779 ! -0.2375 ! 0.4084 ! -0.4296 ! 0.1914 ! 0.2195 ! -0.5706 ! 0.5923 ! -0.2042 ! -0.4591 ! 0.9911 !
7!	0.0565 ! -0.1839 ! 0.3526 ! -0.4565 ! 0.3765 ! -0.0941 ! -0.3012 ! 0.6209 ! -0.6915 ! 0.4026 ! 0.2155 !
6!	0.0390 ! -0.1345 ! 0.2824 ! -0.4252 ! 0.4692 ! -0.3579 ! 0.0875 ! 0.2776 ! -0.6257 ! 0.8331 ! -0.7416 !
5!	0.0250 ! -0.0913 ! 0.2072 ! -0.3501 ! 0.4628 ! -0.4947 ! 0.4116 ! -0.1999 ! -0.1111 ! 0.4883 ! -0.8322 !
4!	0.0147 ! -0.0563 ! 0.1364 ! -0.2517 ! 0.3759 ! -0.4807 ! 0.5410 ! -0.5259 ! 0.4326 ! -0.2400 ! -0.0615 !
3!	0.0076 ! -0.0304 ! 0.0774 ! -0.1526 ! 0.2478 ! -0.3532 ! 0.4614 ! -0.5548 ! 0.6358 ! -0.6895 ! 0.6733 !
2!	0.0031 ! -0.0130 ! 0.0345 ! -0.0713 ! 0.1226 ! -0.1874 ! 0.2669 ! -0.3570 ! 0.4665 ! -0.5978 ! 0.7279 !
1!	0.0007 ! -0.0032 ! 0.0087 ! -0.0186 ! 0.0334 ! -0.0534 ! 0.0803 ! -0.1142 ! 0.1599 ! -0.2214 ! 0.2943 !
	4.6385 ! 1.1892 ! 0.4966 ! 0.2679 ! 0.1671 ! 0.1140 ! 0.0823 ! 0.0621 ! 0.0486 ! 0.0390 ! 0.0320 !

periodes propres en (secondes)

periodes propres en (secondes)

Après avoir formuler les matrices des raideurs et de souplesses, nous avons appliquer les deux algorithmes à savoir, celui de VIANELLO-STODOLA et de JACOBI pour calculer les valeurs et vecteurs propres qui sont présentés dans le tableau (1).

Tableau comparatif:

	C.P.U time	tolerance 10^{-5}	C.P.U time	tolerance 10^{-12}
STODOLA	0.00.25.16	1er mode 0.164136114 (sec) 2eme mode 0.078979116 (sec) 3eme mode 0.050214325 (sec)	0.01.32.92	1er mode 0.164136099 (sec) 2eme mode 0.078979115 (sec) 3eme mode 0.050214303 (sec)
JACOBI	0.00.03.61	1er mode 0.164135273 (sec) 2eme mode 0.07897914 (sec) 3eme mode 0.05021435 (sec)	0.00.05.81	1er mode 0.164136099 (sec) 2eme mode 0.078979115 (sec) 3eme mode 0.050214303 (sec)
Simple precision			Double precision	

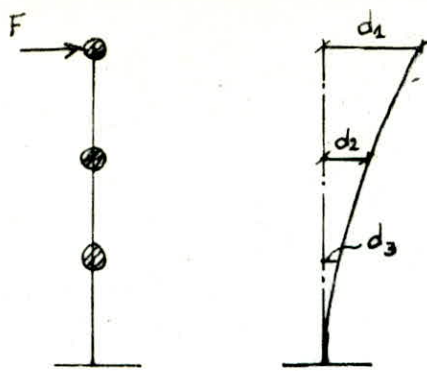
Constatations:

- * Le temps d'exécution du programme de la méthode de JACOBI est beaucoup plus petit que celui de STODOLA.
- * Les valeurs des périodes des 3 premiers modes sont très proches (à 10^{-6} près).

Vu que les périodes obtenues sont très petites, donc ça sous entend que la structure est très rigide, ce qui est loin de la réalité, par conséquent l'hypothèse de planchers (anneaux) indéformables ne convient pas à notre structure.

2°) Hypothèses de structures à planchers déformables:

L'ensemble des valeurs et vecteurs propres sont représentés dans les tableaux (2), (3), (4), et ce pour les différents algorithmes formulés par les raideurs et les souplesses.



deformée de la structure à planchers (ou anneaux) déformables sous l'action d'une force appliquée à son sommet

Tableau comparatif:

	C.P.U time	tolerance 10^{-5}	C.P.U time	tolerance 10^{-12}
STODOLA	0.00.27.24	(1) 4.63847254 sec (2) 1.18918389 sec (3) 0.49660515 sec	0.00.53.10	(1) 4.63847228 sec (2) 1.18918363 sec (3) 0.49660484 sec
JACOBI	formulé par les raideurs en inversant les souplesses 0.00.04.45	(1) 4.63847254 sec (2) 1.18918384 sec (3) 0.49660515 sec	0.00.07.31	(1) 4.63847267 sec (2) 1.18918364 sec (3) 0.49660483 sec
	formulé par les souplesses 0.00.03.85	(1) 4.63847235 sec (2) 1.18918363 sec (3) 0.49660524 sec	0.00.07.19	(1) 4.63844236 sec (2) 1.18918363 sec (3) 0.49660624 sec
Simple precision		Double precision		

Constatations:

- * l'algorithme de JACOBI formulé par les souplesses est plus rapide que celui formulé par les raideurs.
- * En passant du calcul en simple précision à celui en double, le temps d'exécution double.
- * Les valeurs des périodes propres calculées par les 2 algorithmes sont très proches et ce pour les trois premiers modes (10^{-5} près). Dans cette hypothèse de planchers déformables, on voit bien que les valeurs des périodes propres sont acceptables.

PBo1283 Avant p40

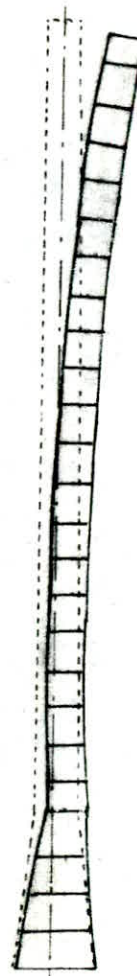
VALEURS PROPRES DONNES PAR STODOLA POUR PLANCHERS

	1er mode	2eme mode	3eme mode	4eme mode	5eme mode	6eme mode	7eme mode	8eme mode	9eme mode	10eme mode	11eme mode	12eme mode	13eme mode	14eme mode
25!	1.0000	1.0000	1.0000	1.0000	1.0000	1.0000	-.9288	0.9227	-.7910	-.6156	-.5033	-.4278	-.3738	0.3011
24!	0.9259	0.7641	0.5625	0.3215	0.0510	-.2454	0.5284	-.8415	1.0000	1.0000	1.0000	1.0000	1.0000	-.9021
23!	0.8523	0.5346	0.1604	-.2402	-.6106	-.9043	1.0000	-.9953	0.6941	0.2778	-.1053	-.4599	-.7944	1.0000
22!	0.7796	0.3184	-.1726	-.5939	-.8206	-.7787	0.4097	0.1328	-.6643	-.9038	-.9093	-.7011	-.3011	-.2375
21!	0.7084	0.1221	-.4121	-.7050	-.6074	-.1405	-.4889	1.0000	-.9583	-.4479	0.1630	0.6725	0.9163	-.6840
20!	0.6393	-.0492	-.5481	-.6002	-.1521	0.5161	-.8883	0.7140	0.0385	0.6691	0.8164	0.4520	-.2311	0.7837
19!	0.5727	-.1922	-.5842	-.3490	0.3160	0.8032	-.5515	-.2565	0.8709	0.6447	-.0628	-.6763	-.7177	0.0612
18!	0.5090	-.3054	-.5347	-.0385	0.6144	0.6187	0.1608	-.8736	0.5584	-.3281	-.7471	-.3309	0.4911	-.7583
17!	0.4485	-.3888	-.4207	0.2494	0.6610	0.1313	0.6871	-.6249	-.3688	-.7565	-.1353	0.6239	0.5381	0.3368
16!	0.3916	-.4439	-.2666	0.4546	0.4772	-.3718	0.6980	0.1474	-.8043	-.1388	0.6348	0.3516	-.5428	0.5522
15!	0.3384	-.4729	-.0958	0.5459	0.1560	-.6498	0.2579	0.7226	-.3547	0.5999	0.3721	-.5181	-.4401	-.5013
14!	0.2892	-.4790	0.0708	0.5205	-.1826	-.6067	-.3003	0.6623	0.4120	0.5356	-.4124	-.4334	0.5107	-.3754
13!	0.2439	-.4656	0.2166	0.3982	-.4342	-.3036	-.6289	0.0946	0.7112	-.1569	-.5498	0.3559	0.4272	0.3361
12!	0.2026	-.4365	0.3304	0.2136	-.5371	0.0991	-.5692	-.4938	0.3203	-.6123	0.0713	0.5182	-.4252	0.2811
11!	0.1654	-.3955	0.4060	0.0062	-.4808	0.4266	-.2013	-.6777	-.3268	-.3565	0.5493	-.1266	-.4660	-.5139
10!	0.1323	-.3464	0.4420	-.1873	-.2990	0.5606	0.2432	-.3765	-.6373	0.2583	0.2927	-.5352	0.2895	-.2637
9!	0.1031	-.2926	0.4409	-.3382	-.0525	0.4728	0.5279	0.1538	-.3868	0.5605	-.3052	-.1440	0.5126	0.4619
8!	0.0779	-.2375	0.4084	-.4296	0.1914	0.2194	0.5300	0.5466	0.1615	0.2826	-.4989	0.4235	-.1031	0.3017
7!	0.0565	-.1839	0.3526	-.4565	0.3765	-.0941	0.2798	0.5730	0.5469	-.2478	-.1085	0.3884	-.5244	-.3794
6!	0.0390	-.1345	0.2824	-.4252	0.4692	-.3579	-.0812	0.2561	0.4949	-.5128	0.3733	-.1441	-.1391	-.3752
5!	0.0250	-.0913	0.2072	-.3501	0.4628	-.4947	-.3823	-.1845	0.0879	-.3006	0.4188	-.4555	0.4199	0.2498
4!	0.0147	-.0563	0.1364	-.2517	0.3759	-.4807	-.5025	-.4853	-.3422	0.1478	0.0310	-.1894	0.3437	0.4229
3!	0.0076	-.0304	0.0774	-.1526	0.2478	-.3532	-.4285	-.5120	-.5029	0.4244	-.3389	0.2582	-.1741	-.0577
2!	0.0031	-.0130	0.0345	-.0713	0.1226	-.1874	-.2479	-.3294	-.3690	0.3680	-.3663	0.3780	-.4105	-.3928
1!	0.0007	-.0032	0.0087	-.0186	0.0334	-.0534	-.0746	-.1054	-.1264	0.1363	-.1481	0.1684	-.2040	-.2208
	4.6385!	1.1892!	0.4966!	0.2679!	0.1671!	0.1140!	0.0793!	0.0597!	0.0432!	0.0306!	0.0227!	0.0175!	0.0139!	0.010

P E R I O D E S P R O P R E S (S E C O N D E S)

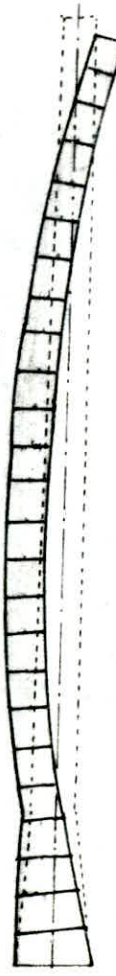
1^{er} MODE

T=4.6384 sec



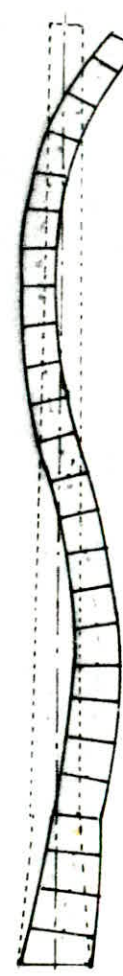
2^{eme} MODE

T=1.1891 sec



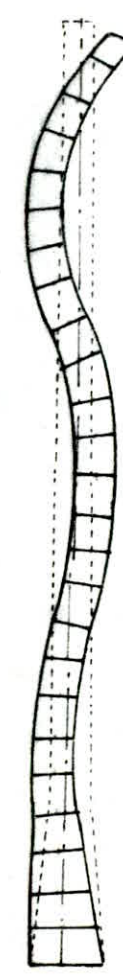
3^{eme} MODE

T=0.4966 sec



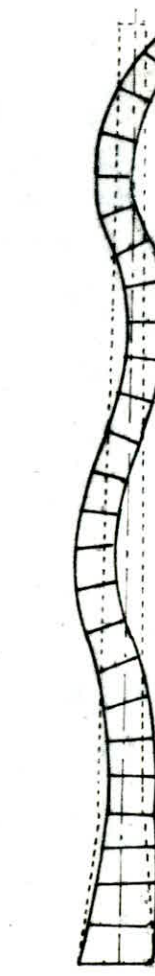
4^{eme} MODE

T=0.2678 sec



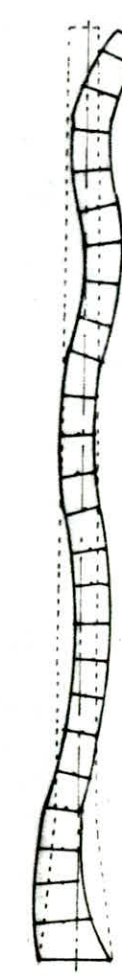
5^{eme} MODE

T=0.1670 sec



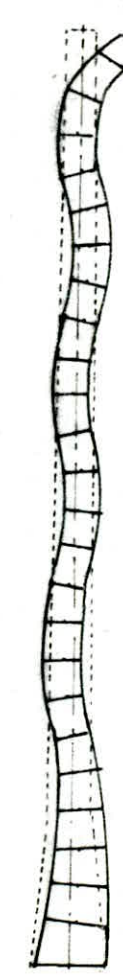
6^{eme} MODE

T=0.1140 sec



7^{eme} MODE

T=0.0823 sec



DEFORMEES PROPRÉS DE VIBRATION DE LA CHEMINEE

b) Selection des modes utiles:

Après avoir calculer les reponses modales, on ne conservera de ces dernieres que celles qui donnent des efforts notables.

La selection s'effectue d'après la valeur maximum de l'energie potentielle emmagasinée dans la structure lors du mouvement.

Pour le mode J cette energie a pour expression:

$$E = \frac{1}{2} U_J^t K U_J$$

U_J^t : represente le vecteur transposé du vecteur U_J des déplacements relatifs maxima selon le mode J.

$$U_J = \frac{1}{\omega_J} \cdot a_J \cdot x_J$$

ω_J : pulsation propre du mode J

a_J : valeur de l'accélération mesuré sur le spectre de réponse.

$$a_J = \frac{\sum m_i x_{ij}}{\sum m_i x_{ij}^2}$$

x_J : vecteur propre correspondant au mode J.

MODE	1	2	3
ENERGIE	$7.7 \cdot 10^8$ kJ	1931359 kJ	102522 kJ
K_J	100 %	0.25 %	$1.39 \cdot 10^{-2}$ %

On peut aussi sélectionner les modes utiles en calculant le coefficient de contribution modale noté C_J et qui a pour valeur:

$$C_J = \frac{\sum m_i \cdot \sum m_i x_{ij}}{\left[\sum m_i x_{ij}^2 \right]^2}$$

MODE	1	2	3	$\Sigma \%$
pourcentage de contribution C_J	39.38 %	19.52 %	10.38 %	69.68 %

ETUDE AU SEISME

1) Evaluation de la charge sismique horizontale de calcul.

Dans ce présent projet, nous allons évaluer les forces sismiques horizontales par trois méthodes:

- * Méthode des RPA.

- * Méthode des PS69.

- * Méthode des spectres.

A- METHODE DES RPA.

La méthode statique équivalente du RPA81 n'est pas applicable pour notre cheminée de 250m de hauteur.

Nous utiliserons une méthode qui tient compte de manière adéquate de la séismicité du site, des caractéristiques dynamiques de la cheminée et des conditions de sol (nous satisfaisons les exigences de RPA81).

Conformément aux règles parasismiques algériennes, les forces sismiques seront déterminées d'après la formule suivante:

$$F_{ik} = AD_i B Q \eta_{ik} W_k$$

A ; est le coefficient d'accélération de zone.

Il dépend du groupe d'usage de la structure et de la zone sismique, pour notre cas d'espèce: groupe d'usage 1, zone 2 (BLIDA)

$$A = 0.25$$

D_i ; facteur d'amplification dynamique.

Il caractérise l'effet dynamique de la sollicitation sismique sur les structures, il est déterminé par les expressions suivantes;

pour un sol meuble: $1.0 \leq D_i = 2\sqrt{0.5/T_i} \leq 2$

pour un sol ferme: $0.78 \leq D_i = 2\sqrt{0.3/T_i} \leq 2$

T_i ; période du *i^{ème}* mode de vibration,

pour notre cas:

(sol ferme)

$T_1 = 4.63s$	$T_2 = 1.18s$	$T_3 = 0.49s$
$D_1 = 0.78$	$D_2 = 1.256$	$D_3 = 1.565$

Q ; facteur de qualité du système de contreventement d'une structure.

Il est donné en fonction de l'hyperstatilité et la surabondance du système, de ses symétries en plan, de sa régularité en élévation et de la qualité de contrôle pendant la construction. La valeur de **Q** est déterminée par:

$$Q = 1 + \sum_{q=1}^n P_q$$

où **P_q** est la pénalité qui dépend de l'observation ou du critère de qualité :

$$Q = 1 .$$

B ; est le facteur de comportement de la structure.

dépend du type du système de contreventement, des types de structures ainsi que leurs définitions.

pour notre cas d'espèce: catégorie I, type de structure: autres structures.

donc

$$B = \frac{1}{2}$$

η_{ik} ; coefficient de mode de vibration.

ou coefficient de distribution, exprime que pour les différents niveaux X_k de la construction, les forces sismiques de calcul sont différentes.

Il est donné par la formule:

$$\eta_{ik} = x_{ik} \frac{\sum_{j=1}^n w_j x_{ij}}{\sum_{j=1}^n w_j x_{ij}^2}$$

où x_{ik} et x_{ij} sont les amplitudes des i^{eme} et j^{eme} point de la construction.

w_k ; poids de la masse M_k concentrée à niveau "k" de la construction.

resultat (voir tableaux TI.1, TI.2, TI.3, TI.4)

T.I.4 FORCES SISMIQUES POUR CHAQUE MODE
DONNEES PAR LE R.P.A
 (tonnes)

	1er MODE	2eme MODE	3eme MODE
26	19.08471	-19.02790	20.49768
25	19.31888	-15.89502	12.60592
24	19.34624	-12.09781	3.909726
23	19.16976	-7.805301	-4.558378
22	18.79770	-3.230365	-11.74455
21	18.24185	1.399605	-16.79935
20	18.12492	6.065256	-19.86066
19	16.64389	9.956999	-18.77920
18	15.63925	13.51732	-15.75638
17	14.52449	16.41411	-10.61790
16	13.32381	18.56248	-4.049664
15	12.05831	19.91367	3.169274
14	10.75209	20.46403	10.25663
13	9.445780	20.28527	16.54310
12	8.110738	19.33234	21.37977
11	6.822621	17.81309	24.48467
10	5.587502	15.81041	25.65915
9	4.329127	13.16150	-24.38183
8	3.240311	10.51104	21.70448
7	2.428655	8.359372	18.90766
6	1.634914	5.944020	14.52841
5	1.061537	4.055563	10.57797
4	0.6371869	2.539839	6.976765
3	0.3017990	1.246142	3.564246
2	8.1285357E-02	0.3457676	1.021327
1	0.0000000	0.0000000	0.000000

**T12 EFFORTS TRANCHANTS POUR CHAQUE MODE
DONNES PAR LE ' R P A '**
(tonnes)

	1er MODE	2eme MODE	3eme MODE
26	19.08471	-19.02790	20.49768
25	38.40359	-34.92292	33.10361
24	57.74984	-47.02073	37.01333
23	76.91959	-54.82603	32.45496
22	95.71730	-58.05640	20.71041
21	113.9592	-56.65680	3.911057
20	132.0841	-50.59154	-15.94961
19	148.7280	-40.63454	-34.72880
18	164.3672	-27.11723	-50.48518
17	178.8917	-10.70312	-61.10308
16	192.2155	7.859358	-65.15275
15	204.2738	27.77303	-61.98347
14	215.0259	48.23706	-51.72684
13	224.4717	68.52233	-35.18374
12	232.5824	87.85467	-13.80397
11	239.4050	105.6678	10.68070
10	244.9926	121.4782	36.33985
9	249.3217	134.6397	60.72168
8	252.5620	145.1507	82.42616
7	254.9906	153.5101	101.3338
6	256.6255	159.4541	115.8622
5	257.6871	163.5097	126.4402
4	258.3242	166.0495	133.4170
3	258.6260	167.2956	136.9812
2	258.7073	167.6414	138.0025
1	258.7073	167.6414	138.0025

DUA2:EUSER.HOUNAIJMOI.TMP;7

10-J

T.I.3 MOMENTS POUR CHAQUE MODE
DONNES PAR LE ' R P A '
(tonnes.metres)

	1er MODE	2eme MODE	3eme MODE
26	0.000000	0.000000	0.000000
25	190.8471	-190.2790	204.9769
24	574.8831	-539.5082	536.0129
23	1152.381	-1009.716	906.1463
22	1921.577	-1557.976	1230.696
21	2878.750	-2138.540	1437.800
20	4018.342	-2705.108	1476.911
19	5339.183	-3211.023	1317.415
18	6826.463	-3617.369	970.1265
17	8470.135	-3888.541	465.2747
16	10259.05	-3995.573	-145.7561
15	12181.21	-3916.979	-797.2836
14	14223.95	-3639.249	-1417.118
13	16374.20	-3156.878	-1934.387
12	18618.92	-2471.655	-2286.224
11	20944.75	-1593.108	-2424.264
10	23338.80	-536.4305	-2317.457
9	25788.72	678.3512	-1954.058
8	28281.94	2024.748	-1346.842
7	30807.56	3476.255	-522.5800
6	33357.46	5011.356	490.7582
5	35923.72	6605.897	1649.381
4	38500.59	8240.993	2913.783
3	41083.83	9901.488	4247.953
2	43670.09	11574.44	5617.765
1	46257.17	13250.86	6997.790

DUA2:[USER.HOUNAIJMOI.TMP;7

TR.4 EFFORTS ET DEFORMATIONS RESULTANTS DUS
AU SEISME DONNES PAR LE ' R P A '

!TRANCHANTS(t) ! MOMENTS(t.m) !DEFORMATIONS(cm)

26	33.85915	0.000000	101.4949
25	61.56538	338.5916	93.65721
24	83.16237	953.3465	85.95752
23	99.87914	1780.059	78.32502
22	113.8476	2763.035	71.04050
21	127.3263	3863.655	63.95968
20	142.3380	5064.183	57.20552
19	158.0420	6368.134	50.79686
18	174.0709	7786.341	44.74563
17	189.3420	9331.688	49.05894
16	203.1095	11010.63	33.74606
15	215.2698	12820.30	28.81528
14	226.3595	14750.36	24.27443
13	237.3199	16787.56	20.13003
12	249.0052	18920.89	16.38852
11	261.9055	21144.68	13.05156
10	275.8603	23459.71	12.12235
9	289.7866	25871.54	7.597688
8	302.7381	28386.29	5.468066
7	314.4108	31007.47	3.726371
6	323.5836	33735.37	2.358085
5	330.3410	36563.26	1.342582
4	334.8193	39480.37	0.651333
3	337.1040	42473.12	0.239488
2	337.7541	45525.86	0.065843
1	337.7541	48623.86	0.000000

B- METHODE DES PS 69.

Chaque masse M_j est soumise à une force horizontale F_j ayant pour valeur :

$$F_j = \alpha \cdot \beta_i \cdot \gamma \cdot \delta \cdot M_j$$

*) Le coefficient α , définit l'intensité sismique .

La structure est située en zone 3, d'où: $\alpha = 1,15$

*) Le coefficient β_i est une fonction de la période, il est donné par:

$$0,06 \leq \beta_i = 0,09 / \sqrt{T_i} \leq 0,20$$

*) Le coefficient δ dépend de la nature du sol et du type de la fondation.

Nous avons estimé que la fondation sur pieux était possible et pour un terrain classé en 'B', d'où: $\delta = 1,10$.

*) Le coefficient γ a pour expression :

$$\gamma_i = X_i \cdot \frac{\sum_{k=1}^n M_k \cdot X_{ki}}{\sum_{k=1}^n M_k \cdot X_{ki}^2}$$

Le terme X_i représente le déplacement relatif de la masse M_j selon le i^{eme} mode de vibration

	1er Mode	2eme Mode	3eme Mode
T_i	4,63	1,189	0,498
β_i	0,061	0,086	0,107

Résultats (voir tableaux T.II.1, T.II.2, T.II.3, T.II.4)

T. II.1 FORCES SISMIQUES POUR CHAQUE MODE
DONNEES PAR LES ' P S 69 '
 (tonnes)

	! 1er MODE !	2eme MODE !	3eme MODE
26	20.52226	-20.65901	27.68427
25	20.77407	-17.25758	17.02562
24	20.80349	-13.13486	5.280494
23	20.61372	-8.474389	-6.156567
22	20.21363	-3.507280	-15.86224
21	19.61591	1.519582	-22.68929
20	19.49018	6.585184	-26.82390
19	17.89759	10.81054	-25.36327
18	16.81728	14.67605	-21.28064
17	15.61855	17.82117	-14.34058
16	14.32742	20.15369	-5.469496
15	12.96660	21.62072	4.280436
14	11.56199	22.21825	13.85266
13	10.15728	22.02417	22.34319
12	8.721676	20.98955	28.87562
11	7.336534	19.34007	33.06911
10	6.008379	17.16572	34.65536
9	4.655217	14.28973	32.93021
8	3.484386	11.41207	29.31417
7	2.611593	9.075957	25.53678
6	1.758064	6.453555	19.62214
5	1.141497	4.403215	14.28665
4	0.6851828	2.757560	9.422852
3	0.3245319	1.352964	4.813887
2	8.7408148E-02	0.3754076	1.379410
1	0.0000000	0.0000000	0.0000000

TII.2 EFFORTS TRANCHANTS POUR CHAQUE MODE
DONNES PAR LE ' P S 69 '
 (tonnes)

	1er MODE	2eme MODE	3eme MODE
26	20.52226	-20.65901	27.68427
25	41.29633	-37.91660	44.70989
24	62.09982	-51.05146	49.99038
23	82.71354	-59.52584	43.83382
22	102.9272	-63.03312	27.97158
21	122.5431	-61.51354	5.282291
20	142.0333	-54.92836	-21.54161
19	159.9309	-44.11782	-46.90488
18	176.7481	-29.44178	-68.18553
17	192.3667	-11.62061	-82.52611
16	206.6941	8.533083	-87.99561
15	219.6607	30.15380	-83.71517
14	231.2227	52.37206	-69.86252
13	241.3800	74.39622	-47.51933
12	250.1017	95.38577	-18.64371
11	257.4382	114.7258	14.42540
10	263.4466	131.8916	49.08076
9	268.1018	146.1813	82.01098
8	271.5862	157.5934	111.3252
7	274.1978	166.6693	136.8619
6	275.9558	173.1239	156.4841
5	277.0974	177.5261	170.7707
4	277.7825	180.2836	180.1936
3	278.1071	181.6366	185.0075
2	278.1945	182.0120	186.3869
1	278.1945	182.0120	186.3869

III.3 MOMENTS POUR CHAQUE MODE
 DONNES PAR LE ' P S 69 '
 (tonnes.metres)

	1er MODE	2eme MODE	3eme MODE
26	0.000000	0.000000	0.000000
25	205.2226	-206.5901	276.8427
24	618.1859	-585.7561	723.9416
23	1239.184	-1096.271	1223.845
22	2066.320	-1691.529	1662.184
21	3095.591	-2321.860	1941.899
20	4321.022	-2936.996	1994.722
19	5741.354	-3486.280	1779.306
18	7340.663	-3927.458	1310.257
17	9108.145	-4221.875	628.4020
16	11031.81	-4338.082	-196.8591
15	13098.75	-4252.750	-1076.815
14	15295.36	-3951.212	-1913.967
13	17607.59	-3427.492	-2612.592
12	20021.39	-2683.530	-3087.785
11	22522.41	-1729.672	-3274.222
10	25096.79	-582.4137	-3129.968
9	27731.26	736.5018	-2639.161
8	30412.27	2198.315	-1819.051
7	33128.14	3774.249	-705.7993
6	35870.11	5440.942	662.8201
5	38629.67	7172.171	2227.661
4	41400.64	8947.432	3935.368
3	44178.47	10750.27	5737.304
2	46959.54	12566.63	7587.379
1	49741.48	14386.75	9451.248

DUA2:[USER.HOUNAI]MOI.TMP;7

**TAB 4 EFFORTS ET DEFORMATIONS RESULTANTS
DUS AU SEISME DONNES PAR LE 'P S 69'**

!TRANCHANTS (t) ! MOMENTS(t.m) !DEFORMATIONS(cm)

26	40.17931	0.000000	111.2082
25	71.70795	401.7931	102.6780
24	94.66614	1117.746	94.27540
23	110.9336	2057.956	86.05350
22	123.8934	3145.411	78.05597
21	137.2174	4329.515	70.34256
20	153.8006	5592.503	62.97954
19	172.4075	6948.613	55.99067
18	191.7185	8427.754	49.38487
17	209.6438	10058.70	43.17148
16	224.8077	11855.74	37.36074
15	236.9985	13813.86	31.96204
14	247.1589	15912.99	26.98420
13	257.0159	18127.34	22.43451
12	268.3223	20435.06	18.31990
11	282.2137	22824.79	14.64150
10	298.6778	25297.92	11.40260
9	316.1856	27866.29	8.599093
8	333.1487	30545.83	6.222264
7	348.8471	33349.91	4.265246
6	361.4006	36286.47	2.716989
5	370.7574	39352.92	1.556172
4	377.0080	42538.89	0.759687
3	380.2146	45828.18	0.280963
2	381.1307	49200.48	0.054929
1	381.1307	52635.73	0.000000

C- METHODE DES SPECTRES DE REONSE.

La structure est supposée soumise à un séisme, agissant dans une direction donnée et défini par son spectre de réponse.

Le calcul des modes propres s'effectue par des méthodes vues précédemment (JACOBI ou STODOLA).

** Calcul des réponses modales:

a) Pour chaque mode propre (j) on calcule:

$$a_j = \frac{\mathbf{x}_j^T \mathbf{M} \Delta}{\mathbf{x}_j^T \mathbf{M} \mathbf{x}_j} ; \quad \begin{array}{l} \text{coefficients du mode de vibration, il joue le rôle} \\ \text{de coefficient de répartition de la charge} \\ \text{sismique.} \end{array}$$

\mathbf{M} : matrice des masses.

\mathbf{x}_j : vecteur propre correspondant au mode j .

$$\Delta = \begin{cases} \delta_1 & \\ \delta_j & \delta_j = 0 \text{ ou } 1 \\ \delta_n & \end{cases}$$

$\delta_j = 1$ pour les degrés de liberté correspondant à une translation de même direction que celle de la base. (comme pour notre cas).

$\delta_j = 0$ si non.

b) Ensuite on calcule $\phi_j = a_j \mathbf{x}_j$ (pour chaque mode).

c) Pour le calcul des efforts, deux variantes peuvent se présenter selon la nature du spectre utilisé.

c-1) Si on utilise un spectre des déplacements, les déplacements maxima selon le mode j sont donnés par: $U_j = u_j \mathbf{x}_j$

u_j : étant la valeur lue sur le spectre.

Les efforts dans chaque élément de la structure sont ensuite calculés d'après les déformations qui résultent de ces déplacements:

$$F_j = \mathbf{K} U_j \quad \mathbf{K}: \text{matrice des raideurs.}$$

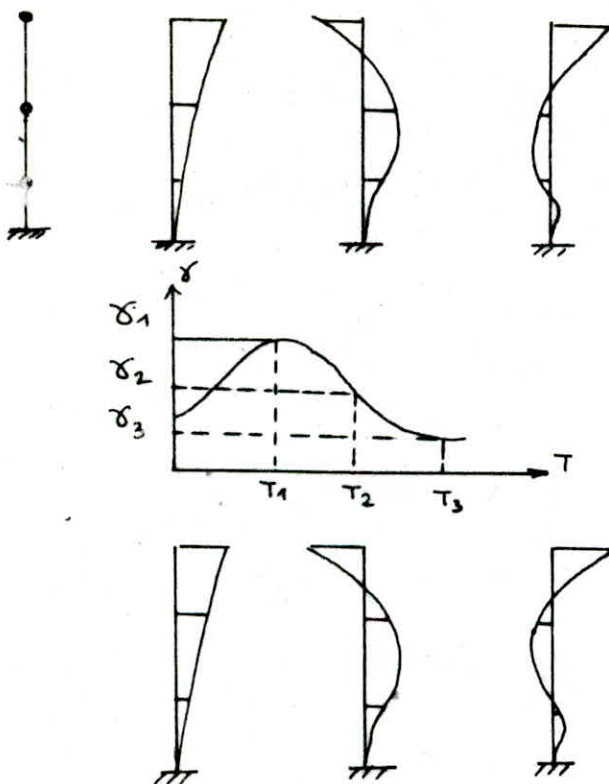
c-2) Si on utilise un spectre des accélérations (comme dans notre cas), les pseudo-accelérations à appliquer aux masses sont données par le vecteur : $\Gamma_j = \gamma_j \mathbf{x}_j$,

γ_j étant la valeur lue sur le spectre.

Les forces statiques équivalentes sont le produit des masses par les pseudo-accelérations.

$$F_j = \mathbf{M} \Gamma_j \quad \mathbf{M}: \text{matrice des masses.}$$

Principe de l'étude à l'aide d'un spectre



determination des valeurs et vecteurs propres.

lecture du spectre.

calcul des réponses modales et des efforts dans la structure.

Détermination des forces sismiques:

Les forces sismiques seront déterminer par l'expression suivante :

$$F_{ik} = \gamma_i x_{ik} \cdot a_i \cdot m_k$$

F_{ik} : force appliquée au k^{eme} point correspondant au i^{eme} mode de vibration

γ_i : valeur de l'accélération lue sur le spectre (en fonction de f_i ou T_i)

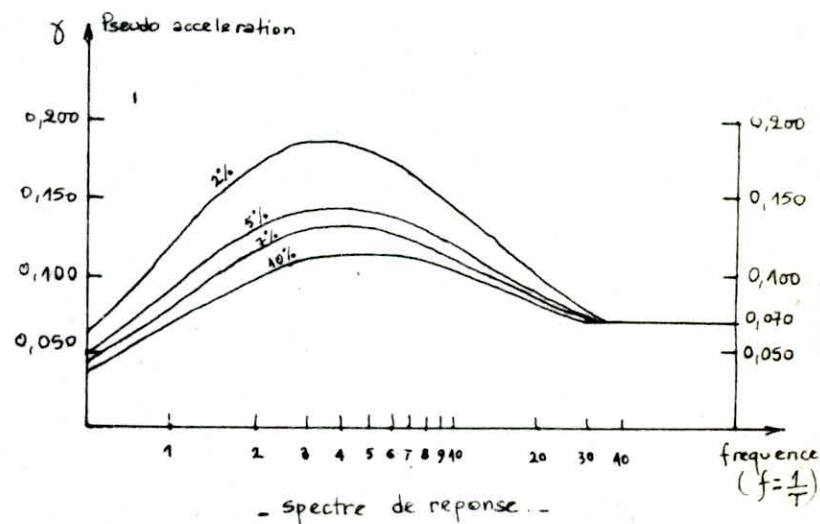
x_{ik} : valeur de la composante k du vecteur propre du mode i .

$a_i = \frac{\sum m_k x_{ik}}{\sum m_k x_{ik}^2}$: joue le rôle de coefficient de répartition de la charge sismique.

m_k : masse du k^{eme} niveau.

resultats ; voir Tableaux $\left\{ T_{III.1}, T_{III.2}, T_{III.3} \right\}$
 $T_{III.4}$

1er Mode	2ème Mode	3ème Mode
T_i (s)	4,63	1,189
γ_i (m/s^2)	0,5	0,7



**TAB.1 FORCES SISMIQUES POUR CHAQUE MODE
PAR LA METHODE DES SPECTRES
(tonnes)**

	1er MODE	2eme MODE	3eme MODE
26	10.10615	-10.81294	12.90393
25	10.23015	-9.032625	7.935818
24	10.24465	-6.874791	2.461293
23	10.15119	-4.435499	-2.869640
22	9.954168	-1.835712	-7.393556
21	9.659821	0.7953498	-10.57571
20	9.597904	3.446688	-12.50290
19	8.813639	5.658239	-11.82208
18	8.281639	7.681451	-9.919129
17	7.691326	9.327607	-6.684293
16	7.055512	10.54845	-2.549389
15	6.385379	11.31629	1.995156
14	5.693683	11.62904	6.456868
13	5.001935	11.52746	10.41439
12	4.294974	10.98594	13.45923
11	3.612863	10.12260	15.41386
10	2.958816	8.984544	16.15323
9	2.292454	7.479250	15.34912
8	1.715880	5.973084	13.66364
7	1.286074	4.750360	11.90296
6	0.8657554	3.377793	9.146083
5	0.5621284	2.304645	6.659158
4	0.3374171	1.443308	4.392089
3	0.1598152	0.7081419	2.243803
2	4.3043993E-02	0.1964885	0.6429572
1	0.0000000	0.0000000	0.0000000

**TAB.2 EFFORTS TRANCHANTS POUR CHAQUE MODE
PAR LA METHODE DES SPECTRES
(tonnes)**

	! 1er MODE !	2eme MODE !	3eme MODE
26	10.10615	-10.81294	12.90393
25	20.33631	-19.84556	20.83974
24	30.58095	-26.72035	23.30104
23	40.73214	-31.15585	20.43140
22	50.68631	-32.99157	13.03784
21	60.34613	-32.19622	2.462132
20	69.94404	-28.74953	-10.04077
19	78.75768	-23.09129	-21.86286
18	87.03931	-15.40984	-31.78199
17	94.73064	-6.082232	-38.46628
16	101.7862	4.466220	-41.01567
15	108.1715	15.78251	-39.02051
14	113.8652	27.41156	-32.56364
13	118.8671	38.93902	-22.14925
12	123.1621	49.92496	-8.690023
11	126.7750	60.04756	6.723837
10	129.7338	69.03210	22.87706
9	132.0262	76.51135	38.22618
8	133.7421	82.48444	51.88982
7	135.0282	87.23479	63.79278
6	135.8940	90.61259	72.93887
5	136.4561	92.91723	79.59802
4	136.7935	94.36053	83.99011
3	136.9533	95.06868	86.23392
2	136.9964	95.26517	86.87688
1	136.9964	95.26517	86.87688

TAB.3 MOMENTS POUR CHAQUE MODE
 PAR LA METHODE DES SPECTRES
 (tonnes.metres)

	1er MODE !	2eme MODE !	3eme MODE
26	0.000000	0.0000000	0.0000000
25	101.0615	-108.1294	129.0393
24	304.4246	-306.5850	337.4367
23	610.2342	-573.7886	570.4471
22	1017.556	-885.3471	774.7611
21	1524.419	-1215.263	905.1395
20	2127.880	-1537.225	929.7609
19	2827.321	-1824.720	829.3531
18	3614.897	-2055.633	610.7246
17	4485.291	-2209.732	292.9048
16	5432.597	-2270.554	-91.75803
15	6450.459	-2225.892	-501.9147
14	7532.174	-2068.067	-892.1198
13	8670.826	-1793.951	-1217.756
12	9859.498	-1404.561	-1439.249
11	11091.12	-905.3113	-1526.149
10	12358.87	-304.8358	-1458.911
9	13656.21	385.4853	-1230.140
8	14976.47	1150.599	-847.8782
7	16313.89	1975.443	-328.9800
6	17664.17	2847.791	308.9478
5	19023.11	3753.917	1038.337
4	20387.67	4683.089	1834.317
3	21755.61	5626.695	2674.218
2	23125.14	6577.382	3536.557
1	24495.10	7530.034	4405.326

**T III.4 EFFORTS ET DEFORMATIONS RESULTANTS DUS
AU SEISME PAR LA METHODE DES SPECTRES**

! TRANCHANTS (t) ! MOMENTS(t.m) ! DEFORMATIONS(cm)			
26	19.63581	0.000000	55.04264
25	35.23786	196.3582	50.82502
24	46.81998	548.2083	46.77045
23	55.20178	1013.424	42.60513
22	61.86704	1555.479	39.65059
21	68.44205	2149.417	34.83630
20	76.28578	2784.850	31.19495
19	84.93505	3465.714	27.73795
18	93.93296	4203.105	24.46991
17	102.4233	5008.646	21.31508
16	109.8301	5888.713	18.51846
15	116.0723	6842.144	15.84461
14	121.5610	7861.706	13.37789
13	127.0285	8937.809	11.12201
12	133.1801	10062.50	9.080633
11	140.4380	11232.17	7.254886
10	148.7268	12448.41	5.646782
9	157.3091	13716.92	4.254923
8	165.4787	15044.51	3.075490
7	172.9510	16436.35	2.105373
6	178.8795	17894.93	1.338525
5	183.2750	19417.74	0.765667
4	186.2007	20998.88	0.373139
3	187.6980	22630.02	0.136772
2	188.1251	24301.06	0.026895
1	188.1251	26002.28	0.000000

2) Evaluation de la charge sismique verticale de calcul.

La masse M_J est soumise à une force verticale V_J ayant pour valeur

$$V_J = \pm \frac{F_J}{\sqrt{\alpha}} \quad \text{pour } \alpha \geq 1 \quad (\alpha = 1.15)$$

Le but de ce calcul est la détermination de N_{max} et N_{min} , efforts normaux à la section(i) suivant que le séisme est descendant ou ascendant, respectivement selon le cas.

N_{max} et N_{min} sont définis comme suit:

$$N_{max} = \sum_{i=1}^{n=25} w_i + \sum_{i=1}^{n=25} v_i$$

$$N_{min} = \sum_{i=1}^{n=25} w_i - \sum_{i=1}^{n=25} v_i$$

Les résultats obtenus sont représentés dans les tableaux qui suivent.

Voir (T III.1, T III.2).

T IV.1

N!	MASSES CUMULEES (tonnes)	EFFORTS SISMIQUES VERTICAUX CUMULES (tonnes)
26!	0.00000	0.000000
25!	109.012	16.75636
24!	227.128	33.71831
23!	355.665	50.70429
22!	494.940	67.53532
21!	645.270	84.03969
20!	806.970	100.0560
19!	980.364	115.9697
18!	1165.761	130.5830
17!	1363.482	144.3143
16!	1573.843	157.0667
15!	1797.161	168.7650
14!	2033.753	179.3522
13!	2283.936	188.7925
12!	2548.027	197.0859
11!	2826.344	204.2071
10!	3119.203	210.1974
9!	3426.920	215.1032
8!	3749.813	218.9042
7!	4088.200	221.7492
6!	4442.396	223.8815
5!	4812.721	225.3170
4!	5222.254	226.2490
3!	5697.075	226.8084
2!	6241.995	227.0734
1!	6861.822	227.1448

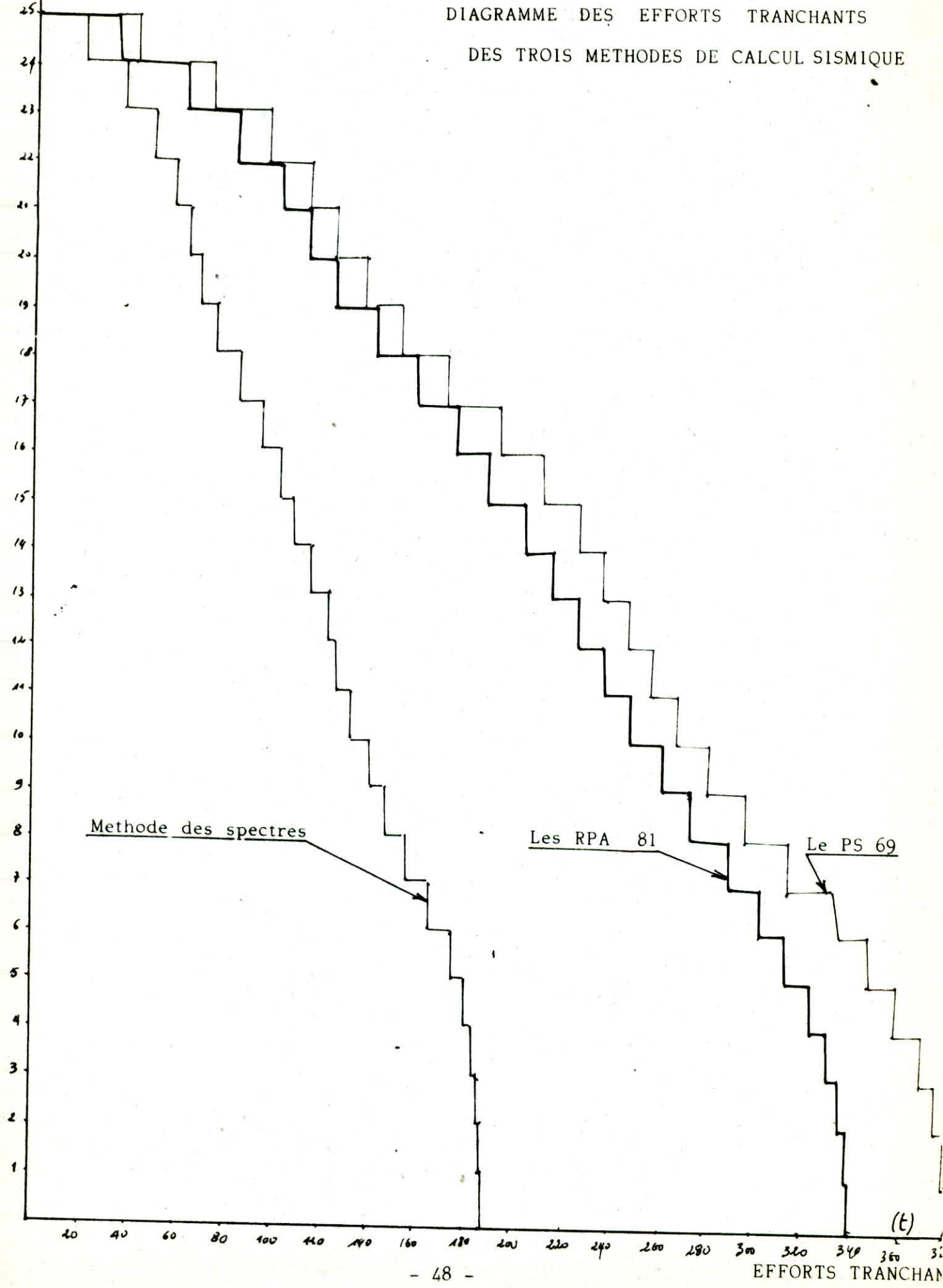
DUA2:[USER.HOUNAI]MOI.TMP;7

T IV.2

	N max	N min
26!	0.000000	0.000000
-26!	124.7994	91.28664
-25!	259.8783	192.4417
-24!	405.3683	303.9597
-23!	561.4033	426.3327
-22!	728.1257	560.0463
-21!	905.6851	705.5730
-20!	1100.781	868.8414
-19!	1300.523	1039.362
-18!	1511.658	1223.030
-17!	1734.378	1420.244
-16!	1968.943	1631.413
-15!	2215.601	1856.896
-14!	2474.628	2097.043
-13!	2746.824	2352.652
-12!	3031.505	2623.091
-11!	3329.510	2909.115
-10!	3641.198	3210.992
-9!	3959.648	3521.840
-8!	4286.964	3843.466
-7!	4642.061	4194.298
-6!	5013.081	4562.447
-5!	5422.923	4970.425
-4!	5898.510	5444.893
-3!	6443.928	5989.782
-2!	7064.094	6609.804

NIVEAUX

DIAGRAMME DES EFFORTS TRANCHANTS
DES TROIS METHODES DE CALCUL SISMIQUE



ETUDE AU VENT

A- Action d'ensemble.

A-1 ; Direction parallèle à l'action du vent.

Dans la direction parallèle à l'action du vent, le comportement de l'ouvrage est celui d'une console verticale encastrée dans le sol, soumise à une pression repartie sur sa hauteur.

** Pression et force de trainée **

La force de trainée T par unité de longueur, est la composante de la force du vent dans la direction parallèle à celle du vent, elle est donnée par les NV65 par la formule suivante:

$$T = C_t \cdot \beta \cdot \delta \cdot q \cdot D_e$$

° coefficient C_t :

Le coefficient de trainée $C_t = C_{t_0} \times \gamma_0$ dépendant de l'elancement de la cheminée et de la rugosité de sa surface, est lié aux effets aérodynamiques provoqués par la forme circulaire de la section transversale de la cheminée.

γ_0 ; est déterminée d'après le tableau de la figure R III 10 des RNV65 Selon la catégorie de la construction (notre cheminée - catégorie **IV**) on lira dans le tableau la valeur γ_0 correspondant à l'elancement de notre cheminée (λ) dont la valeur est donnée par la formule suivante;

$$\lambda = \frac{H^2}{S_t}$$

H ; hauteur de la structure.

S_t ; surface du maître couple.

$$H = 250 \text{ m} \quad S_t = \frac{20+15}{2} \times 40 + \frac{15+6}{2} \times 240 = 2205.$$

ce qui donne $\lambda = \frac{250^2}{2205} = 21,51$

$\gamma_0 = 21,51$ et la catégorie **IV** $\Rightarrow \gamma_0 = 1,2575$

C_{t_0} est déterminé d'après NV65-page 139

CATEGORIE **IV** $\Rightarrow C_{t_0} = 0,55$.

d'où $C_t = \gamma_0 C_{t_0} = 1,2575 \times 0,55 = 0,6916$.

° coefficient β

Le coefficient de majoration dynamique β dépendant de la période propre de vibration de la construction est lié aux effets de résonnance provoqués par les oscillations de la cheminée.

Il est donné par:

$$\beta = \theta(1+\epsilon\gamma) \geq 1 \quad \text{pour le vent normal.}$$

$$\beta = (0,15 + \theta/2)\theta(1+\epsilon\gamma) \geq 1 \quad \text{pour le vent extrême}$$

θ ; coefficient global dépendant du type de construction.

$$\theta = 1 \quad (\text{NV65- p 83})$$

γ ; coefficient de réponse, est donné en fonction de la période T_p du mode fondamental d'oscillation et du degré d'amortissement de la cheminée (NV65-p81)

$$T_{p_c} = 4,63 \text{ et ossature en béton armé } \rightarrow \xi = 2,3$$

ζ : coefficient de pulsation; déterminé à chaque niveau considéré en fonction de sa côte h donnée par l'échelle fonctionnelle. (RN65, page 81)

En remarque, nous dirons que la valeur de β s'accroît légèrement en passant du sommet vers la base de la cheminée.

° coefficient δ :

Le coefficient de réduction tenant compte de l'effet des dimensions, est donné par les règles NV65 en fonction de la hauteur de la construction et du niveau pris en considération.

° Pression du vent q :

Les règles NV65 nous donnent les relations ci-dessous pour déterminer la pression du vent à la vitesse normale et à la vitesse extrême;

$$\text{vent normal: } q_n = q_{n_0} \cdot k_s$$

$$\text{vent extrême: } q_e = q_n \times 1,75,$$

$$\text{avec } q_n = q_{n_0} \frac{H+18}{H+60}$$

où H : niveau considéré.

q_{n_0} : pression dynamique de base normale, qui s'exerce à une hauteur de 10 m au dessus du sol, pour un site normal, sans effet de masque sur un élément dont la dimension la plus grande est égale à 0,50 m.

k_s : coefficient de site, dépendant de la région et du site (situation géographique locale).

*Pression maximale du vent:

La valeur $q_n \cdot k_s \cdot \delta$ ne dépassera $173,4 \text{ kg/cm}^2$ pour un vent normal et $303,5 \text{ kg/cm}^2$ pour un vent extrême.

La valeur minimale de $q_n \cdot k_s \cdot \delta$ est de $30,6 \text{ kg/cm}^2$ pour un vent normal et $53,6 \text{ kg/cm}^2$ pour un vent extrême.

*Pression et force de trainée aux vitesses critiques:

Le seul paramètre qui change, la pression q , est donnée par la formule suivante:

$$q_{cr} = V_{cr}^2 / 16$$

$$\text{avec: } V_{cr} = D_e / 0,20 T_{p_c}$$

D_e : diamètre extérieur de la section considérée.

T_{p_c} : période de vibration propre du mode fondamental.

La pression de trainée est donnée par:

$$T_{cr} = C_t \cdot \delta \cdot \beta \cdot q_{cr}$$

nous résumons nos résultats dans des tableaux, qui sont au nombre de 4
(I, II, III, IV)

a-Action statique:

coefficient de calcul et pressions normales et extrêmes (Tableau I)
pression de trainée et force de trainée normale et extrême (Tableau II)

- Action dynamique:
Coefficient de calcul et pression normale, extrême, pression et force de trainée normale et extrême (voir tableau III).
- c- Action résonnante:
Coefficient de calcul, pression critique, pression et force de trainée critique (voir tableau IV).
- A-2 : Direction perpendiculaire à celle du vent.
La force de dérive "L" par unité de longueur, est la composante de la force du vent dans la direction perpendiculaire à celle du vent.
Elle est donnée par: $L = C_L \cdot \beta' \cdot \delta' \cdot q \cdot D_e$ (RN65)
- coefficient C_L :
Les RN65 fixent le coefficient C_L de dérive à: $C_L = 0,2$
 - coefficient β' :
La valeur du coefficient β' est fournie par la théorie des vibrations pour le cas de la structure en état de résonnance. Elle est donnée par la formule suivante: $\beta = \frac{\pi}{\Delta}$ où Δ représente le dérement logarithmique de l'amortissement visqueux. Les annexes NV65 recommandent $\Delta = 0,30$ pour les ouvrages en BArmé. Pour les calculs dans le domaine élastique (notre cas), il est conseiller de ne pas dépasser la valeur $\Delta = 0,15$, l'adoption d'une valeur supérieure étant nettement au détriment de la sécurité.
 $\Delta = 0,15 \quad \beta = \pi/\Delta = 3,14/0,15 = 20,9440$
 - coefficient δ' :
Les annexes des RN65 recommandent $\delta' = 0,80$ pour toute la hauteur de la construction (tenant compte de l'effet de dimension).
Les résultats des calculs sont disposés dans le tableau. V
- B- Actions locales.
- B-1 : Pression sur la paroi:
La variation du coefficient C_e qui donne une idée sur la répartition des pressions du vent sur la paroi, est donnée sur les figures CIII-44 et RIII-1 (des catégories I) des NV65.
-
- $p = C_e q \delta_0$
-
- $\gamma = \frac{2H}{\pi}$
- aire annulaire*
- actions extérieures sur la paroi*

La pression unitaire en chaque point de la paroi est : $p = c_e q \delta_0$

où p ; pression de calcul.

δ_0 ; coefficient de dimension (de même nature que δ) mais relatif à D_e et non plus à Z : hauteur totale de la structure .

c_e .. ; coefficient de pression.

)-2 : Sollicitations locales (moment d'ovalisation) / .

Chaque tronçons de section annulaire de la cheminée est en équilibre sous l'action de $p = c_e q \delta_0$ et des cisaillements γ engendrés dans l'épaisseur de la paroi; l'action conjuguée des efforts p et γ produit des moments fléchissants d'ovalisation: $M_o = K q \delta_0 D_m^2$

dans ce qui suit $K = K_e$ si $M_o = M_{oe}$
 $K = K_i$ si $M_o = M_{oi}$

où M_{oe} , M_{oi} sont les moments qui mettent en traction respectivement, les fibres extérieures et intérieures.

$D_m = D_e - h_o$ avec h_o ; épaisseur de la paroi. ($D_m \approx D_e$)

Dans le livre de MARIUS DIVER nous disposons d'un abaque permettant de calculer K_e et K_i en fonction de l'angle η et ce pour les deux cas envisagés par les règles, $\delta_0 = 1$ et $\delta_0 = 1,3$. Nous calculerons M_{oi} et M_{oe} à la dépression maximale ($\eta = 0^\circ$) et à la pression maximale ($\eta = 90^\circ$).

Pour notre cas

η	δ_0	K_i	K_e
0°	1,26	-	0,062
90°	1,26	0,069	-

Les résultats des calculs sont résumés dans le tableau VI

Tableau (I)..

ACTIONS STATIQUE PARALLELES A LA DIRECTION DU VENT

niveau	côte	COEFFICIENTS DE CALCUL ET PRESSIONS NORMALES ET EXTREMES									
		vent normal							vent extreme		
		C_{t_0}	γ_0	C_{t_0}	δ	k_s	q_H	$q_m = q_H \cdot k_s$	$q_H \cdot k_s \cdot \delta$	$q_e = 1,75 q_m$	$q_e = 1,75 q_H \cdot k_s \cdot \delta$
m							kg/m ²	kg/m ²	kg/m ²	kg/m ²	kg/m ²
25	250	0,55	1,2575	0,6916	0,9	1,3	154,316	200,611	173,4	351,003	303,500
24	240	"	"	"	0,9	"	153,310	199,563	173,4	349,255	303,500
23	230	"	"	"	0,9	"	152,648	198,443	173,4	347,275	303,500
22	220	"	"	"	0,9	"	151,725	197,243	173,4	345,175	303,500
21	210	"	"	"	0,9	"	150,733	195,953	173,4	342,918	303,500
20	200	"	"	"	0,9	"	149,665	194,565	173,4	340,483	303,500
19	190	"	"	"	0,9	"	148,612	193,066	173,4	337,866	303,500
18	180	4	4	4	0,9	"	147,263	191,441	172,297	335,322	301,520
17	170	"	4	4	0,9	"	145,904	189,676	170,708	331,333	298,740
16	160	"	4	4	0,9	"	144,423	187,570	168,975	328,563	295,706
15	150	"	4	4	0,9	"	142,800	185,640	167,076	324,870	292,383
14	140	"	4	4	0,9	"	141,015	183,320	164,988	320,810	288,729
13	130	"	4	4	0,9	"	139,042	180,755	162,679	316,321	284,689
12	120	"	4	4	0,9	"	136,850	177,905	160,115	311,334	280,200
11	110	"	4	4	0,9	"	134,400	174,720	157,248	305,760	275,184
10	100	"	4	4	0,9	"	131,640	171,137	154,023	299,490	269,541
09	90	"	4	4	0,9	"	128,520	167,076	150,368	292,383	263,145
08	80	"	4	4	0,9	"	124,950	162,435	146,192	284,261	255,835
07	70	"	4	4	0,9	"	120,831	157,080	141,372	274,890	247,401
06	60	"	4	4	0,9	"	116,025	150,833	135,749	263,958	237,562
05	50	"	4	4	0,9	"	110,345	143,449	129,104	251,030	225,932
04	40	5	4	4	0,8	"	103,530	134,589	107,671	235,531	188,425
03	30	5	4	4	0,7	"	95,200	123,760	86,632	216,580	151,606
02	20	5	4	4	0,7	"	84,788	110,224	77,157	192,892	135,024
01	10	5	4	4	0,7	"	71,400	91,820	64,974	162,435	113,705
00	0	5	4	4	0,7	"	53,55	69,615	48,731	121,826	85,278
									pressions statiques normales		pressions statiques extremes

Tableau (II).

ACTIONS STATIQUES PARALLELES A LA DIRECTION DU VENT

niveau	côte	Pression de trainée		diamètres extérieurs	force de trainée	
		vent normal	vent extreme		vent normal	vent extreme
		$C_t q_n \delta$	$C_t q_e \delta$		$C_t q_n \delta D_e$	$C_t q_e \delta D_e$
m		kg/m ²	kg/m ²	m	kg/m ²	kg/m ²
25	250	119,923	209,900	6,00	719,541	1259,404.
24	240	119,923	209,900	6,428	770,868	1349,241
23	230	119,923	209,900	6,856	822,195	1433,076.
22	220	119,923	209,900	7,284	873,522	1528,916.
21	210	119,923	209,900	7,712	924,850	1618,853.
20	200	119,923	209,900	8,140	976,177	1708,591.
19	190	119,923	209,900	8,568	1027,504	1798,428.
18	180	119,161	208,531	8,936	1071,969	1875,947
17	170	118,662	206,608	9,424	1112,613	1947,079.
16	160	116,863	204,510	9,852	1151,335	2014,835
15	150	115,550	202,212	10,280	1187,852	2078,740
14	140	114,106	199,685	10,708	1221,844	2138,227
13	130	112,509	196,891	11,136	1252,898	2132,577
12	120	110,735	193,786	11,564	1280,546	2240,345
11	110	108,553	190,317	11,992	1304,463	2282,285
10	100	106,522	186,415	12,420	1323,007	2315,269
9	90	103,995	181,931	12,848	1336,121	2338,221
8	80	101,106	176,935	13,276	1342,283	2348,936
7	70	97,773	171,102	13,704	1339,879	2344,789
6	60	93,884	164,298	14,132	1325,924	2321,858
5	50	89,288	156,255	14,560	1300,038	2275,067
4	40	74,465	139,315	15,000	1116,979	1954,721
3	30	59,915	104,851	16,250	973,614	1703,824
2	20	53,362	93,383	17,50	933,831	1634,135
1	10	44,936	78,638	18,75	842,550	1474,470
0	0	33,702	58,978	20,00	674,047	1173,565
		pression de trainée statique normale	pression de trainée statique normale		force de trainée statique normale	force de trainée statique normale

Tableau III.

ACTIONS DYNAMIQUES PARALLELES A L'ACTION DU VENT

		coefficient de calcul et pression normale et extrême					pression de trainée		force de trainér	
		vent normal		vent normal	vent extrême	vent normal	vent extrême	vent normal	vent extrême	
		τ	ξ	θ	β	$\beta \cdot q_n \delta$	$\beta \cdot q_e \delta$	$C_t \beta q_n \delta$	$C_t \beta q_e \delta$	$T_n = C_t \beta q_n \delta D_e$
	m					kg/m ²	kg/m ²	kg/m ²	kg/m ²	kg/ml
25	250	0,16	2,3	1	1,36	237,211	415,719	164,055	297,096	984,334
24	240	0,164	4	4	1,37	238,772	417,851	165,135	288,986	1061,485
23	230	0,168	4	4	1,38	240,332	420,581	166,214	290,875	1139,562
22	220	0,172	"	"	1,39	242,066	423,616	167,413	292,973	1219,437
21	210	0,176	"	"	1,40	243,627	426,347	168,432	294,861	1299,414
20	200	0,180	4	4	1,41	245,188	429,079	169,572	296,751	1380,314
19	190	0,185	4	4	1,42	247,268	432,719	171,011	299,629	1465,221
18	180	0,190	4	4	1,43	247,794	433,634	171,234	299,560	1540,413
17	170	0,195	4	4	1,45	247,356	432,873	171,071	299,374	1612,176
16	160	0,200	4	4	1,46	246,703	431,730	170,620	298,585	1680,950
15	150	0,205	4	4	1,47	245,936	430,388	170,089	297,656	1748,517
14	140	0,212	4	4	1,49	245,667	429,917	169,903	297,330	1819,325
13	130	0,219	4	4	1,50	244,669	428,171	169,213	296,123	1884,359
12	120	0,226	4	4	1,52	243,375	425,906	168,318	294,557	1946,429
11	110	0,232	4	4	1,53	241,218	422,132	166,827	291,947	2000,585
10	100	0,240	4	4	1,55	239,044	418,327	165,323	289,315	2053,307
9	90	0,250	4	4	1,57	236,830	414,453	163,791	286,634	2104,391
8	80	0,260	4	4	1,59	233,615	408,826	161,568	282,744	2114,977
7	70	0,270	4	4	1,62	229,305	401,184	158,588	277,529	2173,285
6	60	0,224	4	4	1,65	224,393	392,688	155,190	271,523	2183,149
5	50	0,1302	4	4	1,69	218,186	381,826	150,897	264,070	2197,064
4	40	0,1315	4	4	1,72	185,732	325,031	128,453	224,793	1926,789
3	30	0,1330	4	4	1,76	152,386	266,676	105,390	184,433	1712,587
2	20	0,1345	4	4	1,79	138,420	242,235	95,731	167,293	1675,293
1	10	0,1360	4	4	1,82	118,772	207,851	82,143	143,750	1540,182
0	0	0,1360	4	4	1,82	89,080	155,89	61,608	107,814	1232,158
		press dynam norma	press dynam extrem	pression de trainé dyn norm	pression de traine dyn extr	force de trainée dyn norm	force de trainée dyn ext			

Tableau (IV).

ACTIONS RESONNANTES PARALLELES A LA DIRECTION DU VENT

niveau côte	côte	coefficient et pressions			pression de trainée critiq	forces de trainée critiq
		vent critique				
		D_e	$S = f(D_e)$	$V_{cr} = \frac{D_e}{ST_{pr}}$	$q_{cr} = \frac{V_{cr}^2}{16}$	$C_t \beta \delta q_{cr}$
m	m			m/s	kg/m ²	kg/m ²
25	250	6,00	0,20	6,48	2,624	2,343
24	240	6,428	"	6,94	3,012	2,582
23	230	6,256	"	7,49	3,426	2,955
22	220	7,284	"	7,86	3,867	3,360
21	210	7,712	"	8,32	4,335	3,791
20	200	8,140	"	8,79	4,829	4,251
19	190	8,568	"	9,25	5,351	4,749
18	180	8,996	"	9,71	5,898	5,276
17	170	9,424	"	10,18	6,473	5,838
16	160	9,852	"	10,63	7,075	6,429
15	150	10,280	"	11,09	7,703	7,057
14	140	10,708	"	11,56	8,357	7,746
13	130	11,136	"	12,02	9,038	8,462
12	120	11,564	"	12,48	9,747	9,222
11	110	11,992	"	12,94	10,482	10,009
10	100	12,420	"	13,41	11,244	10,862
9	90	12,848	"	13,87	12,032	11,796
8	80	13,276	"	14,33	12,847	12,778
7	70	13,704	"	14,80	13,688	13,819
6	60	14,132	"	15,26	14,556	14,976
5	50	14,560	"	15,72	14,452	16,255
4	40	15,000	"	16,19	16,400	15,652
3	30	16,250	"	17,54	19,247	16,390
2	20	17,500	"	18,89	22,322	19,387
1	10	18,750	"	20,24	25,625	22,677
0	0	20,000	"	21,59	29,155	25,802

pressions de
trainée critiqforces de
trainé critique

Tableau (IV).

ACTIONS RESONNANTES PERPENDICULAIRES A LA DIRECTION DU VENT

niveau	coefficients et pressions							pression de dérive	force de dérive	composition géométrique		
	vent				critique							
	D _e	Δ	$\beta = \frac{D_e}{\Delta}$	δ'	q _{cr}	β/γ	C _L	$C_L \beta \delta q_{cr}^{3/2}$	$C_L \beta \delta q_{cr}^{3/2} / \gamma$	L _{cr} ²	T _{cr} ²	$\frac{F_{cr}}{\sqrt{L_{cr}^2 + T_{cr}^2}}$
	m				kg/m ²			kg/m ²	kg/m ¹	(kg/m ¹) ²	(kg/m ¹) ²	(kg/m ²) ²
250	6	0,15	20,94	0,8	2,86	1	0,2	9,604	52,753	2782,87	179,66	54,429
240	6,428	"	"	"	3,29	0,96	0,2	9,689	62,282	3879,1	275,351	64,445
230	6,856	"	"	"	3,74	0,92	0,2	10,561	72,408	5242,9	410,549	75,189
220	7,284	"	"	"	4,22	0,88	0,2	11,403	83,062	6899,3	599,026	86,586
210	7,712	"	"	"	4,37	0,84	0,2	12,201	94,101	8855,0	854,685	98,538
200	8,140	"	"	"	5,27	0,80	0,2	12,946	105,388	11106,6	1196,952	110,921
190	8,568	"	"	"	5,84	0,76	0,2	13,628	116,945	13676,1	1649,416	123,796
180	8,996	"	"	"	6,44	0,72	0,2	14,231	128,025	16396,4	2252,7	136,54
170	9,424	"	"	"	7,07	0,68	0,2	14,751	139,011	19324,1	3027,31	149,504
160	9,852	"	"	"	7,73	0,64	0,2	15,173	149,485	22345,8	4012,9	162,351
150	10,28	"	"	"	8,41	0,60	0,2	15,487	159,212	25348,5	5263,68	174,962
140	10,708	"	"	"	9,13	0,56	0,2	15,683	167,936	28202,5	6879,209	187,301
130	11,136	"	"	"	9,87	0,52	0,2	15,750	175,391	30762,0	8818,35	199,099
120	11,564	"	"	"	10,64	0,48	0,2	15,678	181,301	32870,1	11372,30	210,339
110	11,992	"	"	"	11,45	0,44	0,2	15,456	185,333	34348,3	14105,52	220,825
100	12,420	"	"	"	12,28	0,40	0,2	15,071	187,187	35,039	18199,09	230,734
90	12,84	"	"	"	13,14	0,36	0,2	14,515	186,491	34778,8	29967,1	240,304
80	13,27	"	"	"	14,03	0,32	0,2	13,776	182,891	33449,2	28779,08	249,456
70	13,70	"	"	"	14,95	0,28	0,2	12,843	175,824	30914,1	35865,9	258,418
60	14,13	"	"	"	15,90	0,24	0,2	11,707	165,439	27369,9	44795,3	268,636
50	14,56	"	"	"	16,87	0,20	0,2	10,356	150,787	22736,6	56011,3	280,621
40	15,00	"	"	"	17,91	0,16	0,2	8,793	131,895	17396,3	55122,59	269,293
30	16,25	"	"	"	21,02	0,12	0,2	7,739	125,769	15817,9	70935,93	294,54
20	17,5	"	"	"	24,38	0,08	0,2	5,984	104,723	10966,9	115104,84	355,066
10	18,75	"	"	"	27,99	0,04	0,2	3,435	64,403	4147,7	180795,89	430,051
0	20,0	"	"	"	31,84	0,00	0,2	0,000	0,00	0,00	266284,8	516,028

Tableau (VI).

ACTIONS ET SOLICITATIONS LOCALES , MOMENT D' OVALISATION

m	coefficients et pressions					Moments d'ovalisation			
	vent normal				vent normal $K_s = 1,3$	vent extrême $K_s = 1,3$	v.normal $K_s = 1$	v.extrem $K_s = 1$	
	K_i	K_e	δ_0	$q_{H \cdot K_s} \delta_0$					
m				kg/m^2	m^2	kgm/m	kgm/m	kgm/m	
250	0,069	0,062	0,91	173,4	36	391,96	351,98	685,93	
240	0,069	0,062	0,905	173,4	41,32	447,411	401,75	782,97	
230	0,069	0,062	0,90	"	47,02	508,91	457,00	890,60	
220	0,069	0,062	"	"	53,07	571,25	512,98	999,69	
210	0,069	0,062	"	"	59,51	640,05	574,76	1120,09	
200	0,069	0,062	"	"	66,29	713,49	640,71	1383,34	
190	0,069	0,062	"	"	73,44	790,49	709,86	1248,60	
180	0,069	0,062	"	172,300	80,98	871,45	782,56	1525,04	
170	0,069	0,062	"	170,711	88,87	956,31	858,77	1673,54	
160	0,069	0,062	"	168,813	97,14	1045,14	938,54	1828,99	
150	0,069	0,062	"	167,076	105,76	1137,96	1021,89	1991,43	
140	0,069	0,062	"	164,988	114,75	1234,66	1108,72	2160,65	
130	0,069	0,062	"	162,679	124,12	1335,23	1199,04	2336,60	
120	0,069	0,062	"	160,114	133,84	1440,33	1293,42	2520,57	
110	0,069	0,062	"	157,248	143,95	1548,54	1390,59	2709,96	
100	0,069	0,062	"	154,023	154,40	1636,11	1469,23	2863,18	
90	0,069	0,062	"	150,868	165,22	1716,11	1541,79	3004,60	
80	0,069	0,062	"	145,32	176,44	1775,00	1593,95	3106,26	
70	0,069	0,062	"	141,372	187,99	1828,63	1642,11	3200,10	
60	0,069	0,062	"	135,750	199,97	1867,62	1677,12	3268,33	
50	0,069	0,062	0,90	129,104	212,23	1884,85	1692,60	3298,49	
40	0,069	0,062	0,84	121,130	225,0	1755,18	1576,15	3071,56	
30	0,069	0,062	0,85	111,384	264,0	1833,81	1646,76	3209,17	
20	0,069	0,062	0,80	99,202	306,25	1863,81	1672,55	3259,42	
10	0,069	0,062	0,795	83,538	351,56	1778,76	1597,33	3112,83	
9	0,069	0,062	0,79	62,563	400,0	1517,78	1362,97	2656,11	
								2385,20	

EFFORTS TRANCHANTS D'ENSEMBLE:

Les efforts tranchants dus au vent pour chaque sections le long de la cheminée sont donnés dans le tableau ci-après:

	Ks = 1.3	Ks = 1
25	10,229	7,860
24	21,234	16,338
23	33,029	25,407
22	45,623	35,095
21	59,021	45,400
20	73,248	56,345
19	88,276	67,904
vent normal :		
18	104,039	80,03
17	120,505	92,696
16	137,652	105,886
15	155,495	119,61
14	174,009	133,915
13	193,163	148,587
12	212,898	163,767
11	233,167	179,359
10	253,955	195,350
09	275,052	211,578
08	296,493	228,071
07	318,325	244,865
06	340,276	261,750
05	360,895	277,612
04	379,091	291,608
03	396,03	304,685
02	412,107	317,005
01	425,968	312,667
00	425,968	327,667
	(tonnes)	(tonnes)

	MOMENTS	DUS	AU	VENT	(t.m)
!	VENT	NORMAL	!	VENT	EXTREME
N	oo	oo		oo	oo
!	Ks = 1	Ks = 1.3	!	Ks = 1	Ks = 1.3
26!	0.0000	!	0.0000	!	0.0000
25!	50.5026	!	38.8481	!	88.3795
24!	207.1691	!	159.3608	!	362.5458
23!	477.8217	!	367.5552	!	836.1880
22!	870.4199	!	669.5538	!	1523.2347
21!	1392.9747	!	1071.5190	!	2437.7058
20!	2053.6277	!	1579.7136	!	3593.8484
19!	2860.6411	!	2200.4932	!	5006.1221
18!	3821.6384	!	2939.7219	!	6687.8672
17!	4943.8037	!	3802.9260	!	8651.6563
16!	6234.0430	!	4795.4180	!	10909.5752
15!	7699.1890	!	5922.4531	!	13473.5811
14!	9346.1719	!	7189.3633	!	16355.8008
13!	11181.5400	!	8601.1846	!	19567.6953
12!	13211.4209	!	10162.6318	!	23119.9863
11!	15441.3330	!	11877.9492	!	27022.3320
10!	17876.5527	!	13751.1953	!	31283.9668
9!	20521.5332	!	15785.7949	!	35912.6836
8!	23378.8105	!	17983.7012	!	40912.9180
7!	26452.7715	!	20348.2871	!	46292.3516
6!	29745.7852	!	22881.3750	!	52055.1250
5!	33253.9336	!	25579.9492	!	58194.3828
4!	36955.6914	!	28427.4551	!	64672.4609
3!	40831.6641	!	31408.9727	!	71455.4141
2!	44873.5273	!	34518.0977	!	78528.6719
1!	49046.0000	!	37727.6953	!	85830.5000
	=====		=====		=====

	DEFORMATIONS	DUES (cm)	AU	VENT
	VENT	NORMAL	VENT	EXTREME
N	Ks = 1	Ks = 1.3	Ks = 1	Ks = 1.3
26!	75.3093	131.7913	57.9302	101.3779
25!	70.2516	122.9404	54.0397	94.5695
24!	65.2059	114.1103	50.1584	87.7771
23!	60.1930	105.3378	46.3023	81.0291
22!	55.2399	96.6698	42.4922	74.3614
21!	50.3756	88.1572	38.7504	67.8132
20!	45.6286	79.8501	35.0989	61.4231
19!	41.0250	71.7938	31.5577	55.2260
18!	36.5893	64.0313	28.1456	49.2548
17!	32.3438	56.6016	24.8798	43.5397
16!	28.3078	49.5387	21.7752	38.1067
15!	24.5006	42.8761	18.8467	32.9816
14!	20.9383	36.6420	16.1064	28.1861
13!	17.6322	30.8563	13.5632	23.7356
12!	14.5943	25.5401	11.2264	19.6462
11!	11.8333	20.7082	9.1025	15.9294
10!	9.3568	16.3744	7.1976	12.5957
9!	7.1714	12.5500	5.5165	9.6539
8!	5.2824	9.2443	4.0634	7.1110
7!	3.6935	6.4636	2.8412	4.9720
6!	2.4085	4.2149	1.8527	3.2422
5!	1.4298	2.5022	1.0999	1.9248
4!	0.7468	1.3069	0.5745	1.0053
3!	0.3100	0.5426	0.2385	0.4174
2!	0.0728	0.1273	0.0560	0.0980
1!	0.0000	0.0000	0.0000	0.0000

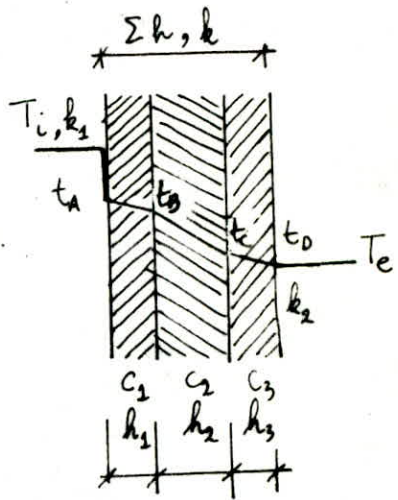
ETUDE THERMIQUE

EVALUATION DU GRADIENT THERMIQUE

Considérons une paroi formée par plusieurs matériaux (figure), la quantité de chaleur qui traverse 1m^2 de paroi par unité de temps est donnée par:

$$Q = k(T_i - T_e) = \frac{1}{h_1/c_1} (t_A - t_B) = \frac{1}{h_2/c_2} (t_B - t_C)$$

$$= \frac{1}{h_3/c_3} (t_C - t_D) = \frac{1}{1/k_1} (T_i - T_A) = \frac{1}{1/k_2} (t_D - t_e)$$



T_i : température des gaz.

T_e : température ambiante extérieure.

t_A, t_B, t_C : les températures des parois de l'ensemble.

C_i : conductibilité thermique des matériaux, donnée en; $\text{kcal}/\text{m}/\text{m}^2 \cdot \text{h} \cdot ^\circ\text{C}$
pour le béton $C_b = 1.7$

pour brique rouge $C_r = 0.75$

h_i : épaisseur de chaque matériau.

k_1 : coefficient de transmission de la chaleur à la surface intérieure, il est donné par: $k_1 = k_{1c} + k_{1r}$.

où k_{1c} et k_{1r} sont donnés par des abaques en fonction de la vitesse des fumées et de leur température avec le diamètre intérieur de revêtement.

k_2 : coefficient de transmission de la chaleur à la surface extérieure.

$$k_2 = 18 \text{ kcal}/\text{m}^2/\text{h} \cdot ^\circ\text{C}$$

de (1) on en déduit l'égalité suivante:

$$\frac{1}{k} = \frac{1}{h_1/c_1 + h_2/c_2 + h_3/c_3 + 1/k_1 + 1/k_2}$$

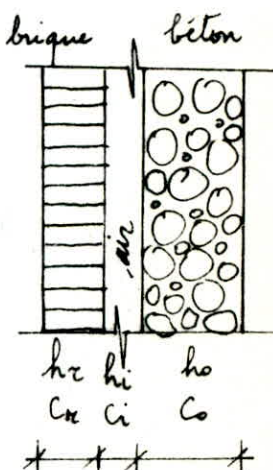
k : conductibilité thermique de l'ensemble.

** Cas de notre cheminée:

Pour tenir compte de la couche d'air faisant partie de l'ensemble, on la considère comme un matériau d'épaisseur $h_i = 1\text{m}$ avec $C_i = k_i = 0.106 T_i \text{ kcal}/\text{m}^2/\text{h} \cdot ^\circ\text{C}$.

Pour tenir compte de l'effet de la ventilation, le coefficient de conductibilité thermique du revêtement

C_r et le coefficient k_1 sont multiplier par un coefficient minorateur de (0.5).



donc

$$k = \frac{1}{h_0/C_b + h_r/0.5C_r + 1/C_i + 1/0.5k_1 + 1/k_2}$$

Le gradiant thermique (la chute de température) du fût en B-Armé peut être évaluer par la relation:

$$t = t_i - t_e = k \frac{h_0/C_b}{(T_i - T_e)}$$

La température sur la face intérieure du fût est:

$$t_i = T_e + (T_i - T_e) k \left(\frac{h_0/C_b}{k_2} + \frac{1}{k_2} \right)$$

$$T_i = 300^\circ C, \text{ vitesse des gaz } v = 25 \text{ m/s}, T_e = -5^\circ C$$

**MOMENT D'ORIGINE THERMIQUE (M_t).

Il est engendré par le gradiant thermique dans le fût en B-Armé, il depend de la pente du diagramme des contraintes d'origine thermique (K_t).

-Determination de (K_t):

a) Sens vertical:

Considerons un tronçon de hauteur L , après une augmentation de température t_i ($t_i > T_e$), cette variation de température a pour effet de produire:

°) un allongement uniforme ΔL , où
$$\Delta L = \mu \left(\frac{t_i + T_e}{2} \right) L$$

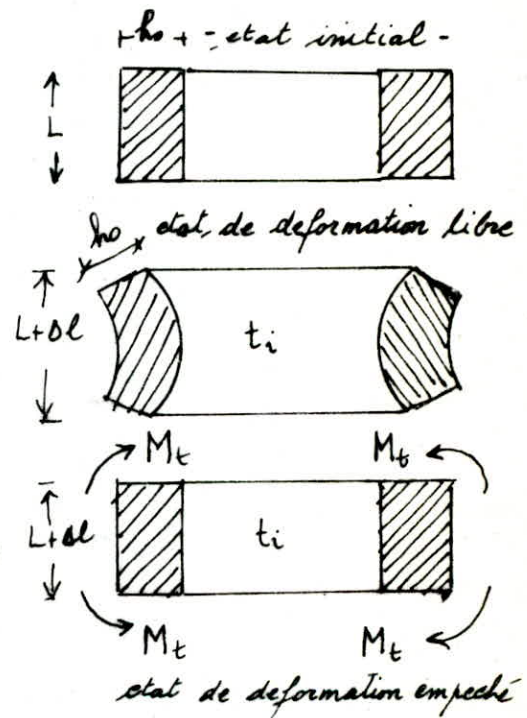
μ : module de dilatation linéaire du BA.
Cette dilation n'étant pas gênée dans ce sens, il n'en résulte aucune contrainte dans la cheminée.

°) une déformation non uniforme, due à la différence de température entre la face intérieure et la face extérieure de la paroi (gradiant thermique),
 $t = t_i - t_e$. Elle est constituée par un allongement des fibres intérieures et un raccourcissement des fibres extérieures, elle peut être annulée par les couples M_t sur tous le contour, il en résulte une compression sur la face intérieure, une traction sur la face extérieure du fût, dans ce cas la pente K_t peut être obtenue sous la forme suivante:

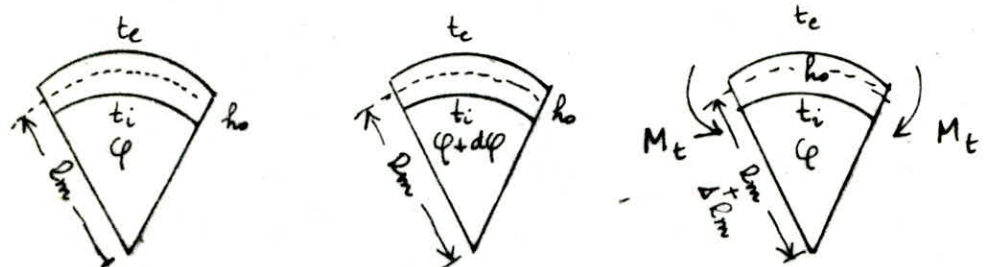
$$K_t = \frac{E_v \cdot \mu_t}{h_0}$$

b) Sens transversal:

Considerons une bande découpée dans la coque et délimitée par 2 plans verticaux, faisant entre eux l'angle φ , son rayon moyen est les déformations qu'en résultent auront le même caractère que dans le cas précédent, c'est à dire:



- *) un allongement libre, transformant le rayon R_m en $R_m + \Delta R_m$;
 - *) une déformation non uniforme qui donnera lieu à des moments intérieurs M_t ramenant la coque à sa forme initiale circulaire.



, etat initial

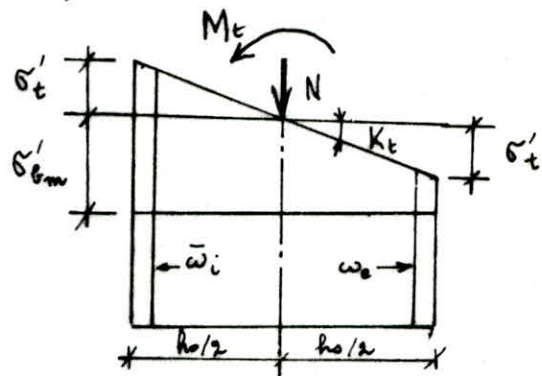
etat de déformation
libre

etat de deformation
empêché.

La pente du diagramme des contraintes est déterminée par la même relation précédente.

Moment d'origine thermique (M_t) en section entièrement comprimée

$$M_t = K_t \frac{h_0^3}{12}$$



On considère une section homogène , le feraillage ne déplacera pas son C.D.G situé à mi-épaisseur de la paroi ce moment exercera une surcompression de la partie intérieure de la paroi, et une décompression vers l'extérieur.

Moment d'origine thermique M_t en section entièrement tendue

La section du béton est complètement fissurée, le C.D.G du feraillage est situé à une distance :

he = c ha de la nappe exterieure.

$$h_i = \frac{1+c}{ha} \text{ de la nappe interieure.}$$

ha :distance entre les deux nappes¹.

on aura;

$$M_t = \frac{nc \bar{w} e K_t h^2}{100 \cdot (1+c)}.$$

avers

$$C = \frac{A_i}{A_e} = \frac{\omega_i}{\omega_e}, \quad \frac{\omega_e}{100} = \frac{A_e}{1 \times h_0}, \quad \frac{\omega_i}{100} = \frac{A_i}{1 \times h_0}$$

(w_i , w_e) pourcentage d'acier respectivement intérieurs et extérieurs.

Ou bien en mettant en évidence la section d'acier extérieure A_e :

$$M_t = \frac{n_c A_e K_t h_a^2}{1+c}$$

RMQ/:

Pour le calcul du feraillage, il n'est pas nécessaire de calculer directement tous ces moments, nous verrons alors, comment obtenir les contraintes qui nous intéresseront par introduction, puis simplification, mais la connaissance de K_t sera nécessaire.

<u>cotes</u>	m	180	110	40	0
$k_{1c} = f\left(\frac{v}{T_i}\right)$	$\frac{\text{kcal}}{\text{h.m}^2\text{c}}$	35	35	35	35
diamètre extérieur revêtement	m	8,313	11,246	14,18	18,98
$k_{1c} = f(D_{int}, T_i)$	$\frac{\text{kcal}}{\text{h.m}^2\text{c}}$	22	22	22	22
k_2	$\frac{\text{kcal}}{\text{h.m}^2\text{c}}$	18	18	18	18
h_o	m	0,1829	0,2158	0,25	0,35
h_e	m	0,11	0,11	0,11	0,11
C_b	$\frac{\text{kcal}}{\text{m.m}^2\text{c}}$	1,7	1,7	1,7	1,7
C_e	$\frac{\text{kcal}}{\text{m.h}^2\text{c}}$	0,75	0,75	0,75	0,75
$e = \frac{1}{h_o/k_b + h_e/k_e + 0,5C_b + C_e + \frac{1}{k_e} + \frac{1}{k_b}}$	$\frac{\text{h.m}^2\text{c}}{\text{kcal}}$	1,828	1,765	1,705	1,549
$t = t_i - t_e$	°C	1182	68	76,47	97,27
t_i	°C	86°	93,24	100,36	118,51
$K_V = 0,067i$	$\frac{\text{kcal}}{\text{h.m}^2\text{c}}$	18	18	18	18

<u>cotes</u>	m	180	110	40	0
ζ_{28}	306	306	306	306	306
t_i	°C	86°	93	100	119
$\Psi_b = 1 - \frac{t-50}{500}$		0,928	0,914	0,900	0,862
$E_V = 7000 \sqrt{\Psi_b \zeta_{28}}$		117800	117000	116200	113500

ETUDE DE L'ENSOLEILLEMENT

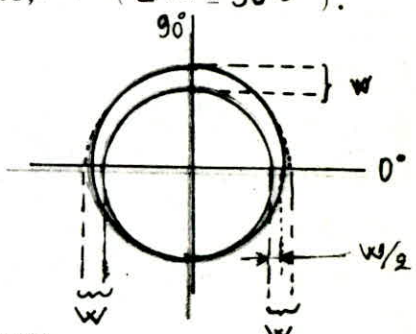
(Nous accepterons sans démonstration les résultats théoriques)

L'action dissymétrique de l'ensoleillement (une face de la cheminée exposée au soleil, l'autre abritée), va engendrer des moments locaux, semblables, en ce qui concerne leurs effets, aux moments d'ovalisation.

La différence de température entre les faces exposées et abritées est prise d'après le règlement applicable aux cheminées en B-Armé, ($\Delta T_a = 30^\circ C$). Admettons une ΔT_s intéressant une seule moitié du périmètre (figure).

w : déformation maximale à l'angle 90°

$w/2$: déformation maximale à l'angle 0°



Les moments d'ensoleillement, qui mettent respectivement en traction les fibres intérieures et d'extérieures de la paroi (ce sont évidemment des moments locaux), sont établis comme suit :

$$M_{ri} = \frac{\mu \Delta T_s E v h_o^3}{D_m \cdot 275}$$

$$M_{re} = \frac{\mu \Delta T_s E v h_o^3}{D_m \cdot 5}$$

μ module de dilatation linéaire $\mu = 10^{-5}$

$E = E_v$; module d'élasticité de longue durée $E = 1,2 \cdot 10^6$ tonnes/m².

$\Delta T_s = 30^\circ$ (pour l'ensoleillement).

$$D_m = \frac{D_{int} + D_{ext}}{2}$$

Les calculs d'ensoleillement obtenus pour notre cas d'espèce sont résumés dans le tableau ci-dessous ;

MOMENTS

D'ENSOLEILLEMENT

h_o (m)	$D_m = \frac{D_{ext} + D_{int}}{2}$	h_o^3	$M_{re} = \frac{\mu T_s E_v h_o^3}{5 D_m}$	$M_{ri} = \frac{\mu T_s E_v h_o^3}{2,75 \cdot D_m}$
m	m	m^3 (10^{-3})	tm / m	tm / m
25	0.150	5.859	3,375	0,0418
24	0.155	6.274	3,72	0,0425
23	0.160	6.698	4,09	0,0441
22	0.164	7.121	4,41	0,0445
21	0.169	7.545	4,83	0,0458
20	0.174	7.969	5,27	0,0470
19	0.179	8.393	5,74	0,0489
18	0.183	8.817	6,13	0,0498
17	0.188	9.240	6,65	0,0514
16	0.193	9.664	7,19	0,0529
15	0.198	10.088	7,76	0,0543
14	0.202	10.512	8,24	0,0562
13	0.207	10.936	8,87	0,0580
12	0.212	11.360	9,53	0,0596
11	0.217	11.783	10,22	0,0611
10	0.221	12.207	10,93	0,0631
9	0.226	12.631	11,54	0,0650
8	0.231	13.055	12,33	0,0685
7	0.236	13.479	13,14	0,0689
6	0.240	13.902	13,82	0,0710
5	0.245	14.326	14,71	0,0729
4	0.250	14.750	15,63	0,0761
3	0.275	15.975	20,80	0,0937
2	0.300	17.200	27,0	0,1130
1	0.325	18.425	34,33	0,1340
0	0.325	19.650	42,87	0,1570

$$E_v = 1,2 \cdot 10^6 \text{ t/m}^2, T_s = 30^\circ\text{C} \quad \mu = 10^{-6} \cdot \text{C}^{-1}$$

ETUDE DES CONSOLES INTERIEURES

Le moment engendré par les consoles, par unité de longueur de pourtour de la cheminée, est : $M_c = B \times e$

B ; poids de chemisage/mètre linéaire.

e ; distance entre la gaine et le fût

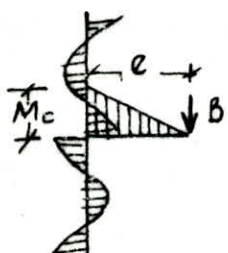
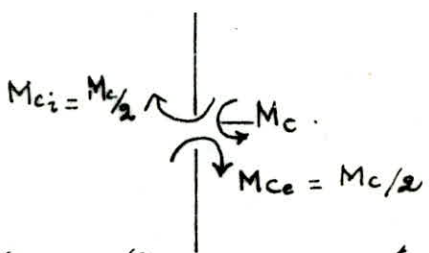


diagramme des moments



sens des moments

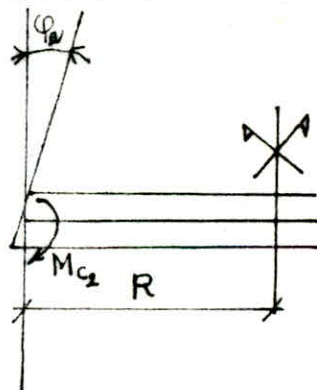
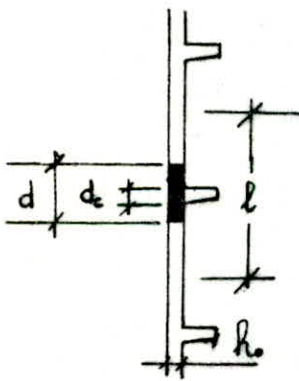
Il en résulte deux moments, M_{ce} et M_{ci} , égaux à $M_c/2$ et de sens contraire produisant des tractions respectivement, sur la face interieure du fût au dessus des consoles, et sur la face extérieure du fût au dessous des consoles.

§ Cas des poutres annulaires au niveau des consoles interieures §

La répartition du moment M_c s'effectue en écrivant l'égalité des rotations des éléments suivants : (au niveau des consoles interieures)

1°) Une bande verticale, de largeur unitaire, supposée articulée à la mi-distance entre deux consoles successives (voir figure ci-dessous).

2°) L'anneau incorporé dans le fût de largeur = h_0 et de hauteur = d qu'on conseille de prendre = hauteur de la console ($d_c + 2h_0$).



$$d \approx d_c + 2h_0, \quad \varphi_1 = \varphi_2, \quad M_c = M_{c1} + M_{c2}$$

Le moment M_c peut se décomposé en :

$$M_{ci} = M_c \frac{a}{a+b} \quad M_{ce} = M_c \frac{b}{a+b}$$

avec l : distance entre deux fûts :

$$a = 144 \frac{l^2 R^2}{h_0 d^3}, \quad b = 24 \frac{l^3}{h_0^3}$$

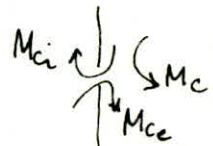
CALCUL PRATIQUE:

Prennons comme exemple, la section de la cheminée située au niveau de 180m:

$$M_c = B \times e ; e = 11 \text{ cm} + 5 \text{ cm} = 16 \text{ cm}$$

$$= 1,8 \cdot 10 \cdot 0,1 \cdot 0,2 ; T_{\text{brick}} = 1,8 \text{ T/mel}$$

$$M_c = 0,40 \text{ tm/mel}.$$



$$M_c \text{ se repartira en } M_{ce} = M_{ci} = \frac{M_c}{2} = 0,20 \text{ tm/mel}.$$

Affinons le calcul en considérant la poutre annulaire incorporée au niveau des consoles

$$d = 0,40 + 2 \times 0,183 = 0,766 \text{ m}$$

$$a = 144 \frac{l^2 R^2}{hod^3} = \frac{144 \cdot 10^2}{0,183} \left(\frac{8,996}{2} \right)^2 \frac{1}{0,766}$$

$$a = 3,54 \cdot 10^6$$

Le moment équilibré par la bande verticale sera:

$$M_{ci} = M_c \frac{a}{a+b} = M_c \times \frac{3,54 \times 10^6}{3,54 \cdot 10^6 + \frac{2,4 \cdot 10^3}{(0,183)^3}} = 0,475 M_c.$$

le moment équilibré par l'anneau incorporé.

$$M_{c2} = (1 - 0,475) M_c = 0,525 M_c.$$

Les bandes verticales sont donc capables d'équilibrer 0,475 de M_c soit 47,5 pour cent de M_c .

$$M_{ce} = M_{ci} = 0,475 \cdot \frac{M_c}{2} = 0,475 \times \frac{0,40}{2} = 0,095 \text{ tm/m}$$

La poutre annulaire est capable d'équilibrer

$$52,5 \% \text{ de } M_c, \text{ soit } 0,525 \times 0,40 = 0,21 \text{ tm/m} = M_{c2}$$

L'anneau est soumis à une flexion pure, dont le moment est: $M = M_{c2} \cdot R$

$$M = 0,21 \text{ tm/m} \times \left(\frac{8,996}{2} \text{ m} \right) = 0,944 \text{ t.m}$$

Le ferrailage cirulaire correspondant est :

$$A = \frac{M}{36a} = \frac{94400}{2000 \times 7/8 (76,66 - 7)} = 0,77 \text{ cm}^2.$$

RMQ: Les cercles qui passeront dans l'anneau, assureront ce ferrailage.

ETUDE DES DEFORMATIONS D'ENSEMBLE
ET DES MOMENTS SECONDAIRES

Dans ce qui suit, nous nous refererons à l'ouvrage de M^e. DIVER.

1^o) ENSOLEILLEMENT.

a- La valeur de la rotation au sommet θ_s due à l'ensoleillement, est égale à:

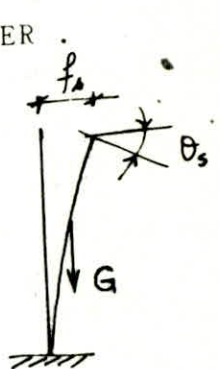
$$\theta_s = \frac{\mu T z}{D_e}$$

μ : module de dilatation linéaire = 10^{-5}

D_e : diamètre extérieur supposé constant sur toute la hauteur. Il est pris égale à la section de la tour réelle au tiers de sa hauteur, à compter de la base, pour notre cas;

$$D_e = 13,286 \text{ m}$$

$$\text{donc } \theta_s = \frac{10^{-5} \cdot 30 \cdot 250}{13,286} = 5,64 \cdot 10^{-3} \text{ rad.}$$



b- Flèche au sommet:

Elle est donnée approximativement par: $f_s = \frac{2 \theta_s}{2}$

donc $f_s = \frac{250 \cdot 5,64 \cdot 10^{-3}}{2} = 0,705 \text{ m.}$

N.B: On notera que la flèche est relativement grande (due à l'ensoleillement) c'est d'ailleurs une remarque générale pour les grandes tours.

2^o) VENT.

a- La valeur de la rotation au sommet, est donnée par:

$$\theta_v = \frac{\rho z^3 \cdot D_e}{6 E_i I}$$

I : moment d'inertie en section homogénéisée de la tour supposée de section constante sur toute sa hauteur = $\pi h_o R_m^3$

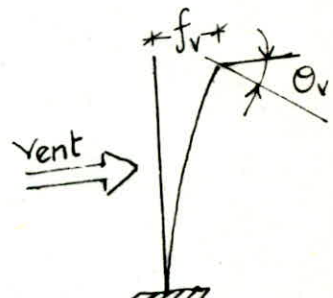
$$\text{avec } R_m = D_m/2 = \frac{D_e - h_o}{2} = \frac{13,286 - 0,231}{2} = 6,5275 \text{ m}$$

E_i : module d'élasticité instantané du B-Armé.

ρ : la pression du vent supposée constante surtout la hauteur de la cheminée. (par exp: $C_t \beta q_a \delta$ s'il s'agit d'un calcul au vent normal)

donc

$$\theta_v = \frac{0,164 \cdot (250)^3 \cdot 13,286}{6 \cdot 3,45 \cdot 10^6 \cdot 3,14 \cdot 0,029 \cdot \left(\frac{13,055}{2}\right)^3} = 8,22 \cdot 10^{-3} \text{ rad.}$$



b-flèche au sommet:

Un ordre de grandeur est donné par:

$$f_v = \frac{3}{4} 2 \theta_v$$

pour notre cas d'espèce :

$$f_v = \frac{3}{4} \cdot 250 \cdot 8,22 \cdot 10^{-3} = 1,54 \text{ m.}$$

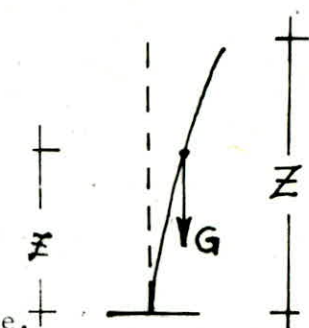
MOMENTS SECONDAIRES (évaluation)

L'étude des déformations est importante pour les cheminées élancées (norre cas), car celles-ci engendrent dans ce cas des moments secondaires dus à l'excentrement du poids propre, qui peuvent parfois apporter un supplément de sollicitation non négligeable.

1°) Moments secondaires dus à l'ensoleillement.

Le moment M'_s d'encastrement à la base, engendré par la déformation due à l'ensoleillement a la valeur approchée:

$$M'_s = G C_s \quad C_s = f_s \left(\frac{z}{Z} \right)^2$$



z : altitude de C.G. de la tour cylindrique équivalente.

G : poids total de l'ouvrage (6861,8 T pour notre cheminée)
donc :

$$M'_s = 6861,8 \left(\frac{125}{250} \right)^2 \cdot 0,705 = 1209,39 \text{ T.m}$$

2°) Moments secondaires dus au vent.

M.DIVER donne la valeur suivante:

$$M'_v = M (C_v C_t - 1)$$

où M'_v : le moment secondaire.

M : le moment d'ensemble initial (primaire, calculé pour la tour considérée comme une console verticale)

$$C_v = \frac{1}{1-a} \quad C_t = \frac{1}{1-b}$$

$$a = \frac{G z^2}{4 E_i I} \quad b = \frac{G z}{I_f C}$$

I : moment d'inertie en section homogénéisée de la tour équivalente.

I_f : moment d'inertie de la fondation dans le sens de l'action du vent.

C : module du tassement du sol. Il est donné en fonction du taux admissible de travail du sol ($\approx 6000 \text{ t/m}^3$), si nous imaginons que l'inertie de notre fondation équivaille à une semelle de 25 m de diamètre seulement, pour notre cas d'espèce;

$$a = \frac{G z^2}{4 E_i I} = \frac{6861,8 \cdot (125)^2}{4 \cdot 3,45 \cdot 10^6 \cdot 1,15 \cdot 3,14 \cdot 0,225 \cdot \left(\frac{13,065}{2} \right)^3} = 0,034 \Rightarrow C_v = 1,035$$

$$b = \frac{G z}{I_f C} = \frac{6861,8 \times 125}{3,14 \times 25^4 / 64 \times 6000} = 0,007 \Rightarrow C_t = 1,007$$

D'où $M'_v = M (1,035 \times 1,007 - 1) = 0,043 M$.

M ; depend uniquement de la section à calculer.

RMQ/: Dans le calcul de l'expression $(C_v C_t - 1)$, on n'utilise que des caractéristiques indépendantes de la pression ou de la force du vent. Une estimation rapide des moments secondaires dus au séisme sera donc :

$$M'_{\text{seisme}} = 0,043 M_{\text{seisme}}$$

BASES DE CALCUL POUR LE FERRAILLAGE

CAS DE CHARGE

Nous avons grouper les différents cas de charge comme suit ; et ce conformément aux règles citées dans l'ouvrage de M.DIVER

**Classement des cheminées en deux catégories:

1°) cheminée catégorie 'A': remplissant au moins, l'une des (3) conditions suivantes:

- hauteur totale dépassant 120 m

- pour toute section de calcul, le rapport $\frac{h}{D_m} > 20$

- définie comme telle par le maître de l'ouvrage.

2°) cheminée catégorie 'B': les cheminées n'entrant pas dans la catégorie 'A'

CAS DE CHARGE :

1°) Cas de charge 'A':

Le cas de charge 'A' correspond aux sollicitations d'ensemble:

$M, M_s, M_v, G, P, H, M_{seisme}, M'_{seisme}, N_{max}, N_{min}$.
 M : moments dûs au vent normal.

M_s : moments secondaires dûs à l'ensoleillement.

M_v : moments secondaires dûs au vent.

G : poids propre du fût.

P : poids du revêtement (chemisage).

M_{sas}, M'_{sas} : moments dus aux efforts sismiques.

N_{max}, N_{min} : efforts normaux déjà définis.

2°) Cas de charge 'B':

Elle correspond aux sollicitations locales:

M_t : moments d'origine thermique.

M_o : moments d'ovalisation.

M_r : moments d'ensoleillement.

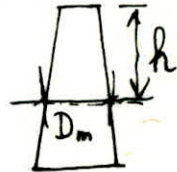
M_c : moments dûs aux consoles intérieures.

Le cas de charge B est divisé en trois sous cas

*cas de charge B_1 : (M_t), cas de charge B_2 : (M_o, M_r, M_c), cas de charge B_3 : (M_t, M_o, M_r, M_c).

3°) Cas de charge 'C':

Le cas correspond aux sollicitations d'ensembles et locales.



*** Etude du feraillaige horizontal (Annulaire)

L'effort tranchant H est pris en compte au droit des faces latérales de la cheminee, où se les cisaillement maxima

Le moment maximal est situe au droit de la face au vent

La temperature engendre des tractions sur la paroi exterieure (plus froide) et des compressions sur la paroi interieure (plus chaude). Il en resulte les remarques suivantes pour le cas de charges C .

*Armatures exterieures (S) et (S) :

Effort tranchant + Moment M_{oe} + Moment M_t (calcul au droit des faces latérales)

*Armatures interieures (S)

Moment M_{oi} (calcul de la face au vent)

A ces sollicitations on peut ajouter les moments provenant de l'ensoleillement M_{re} (pour le calcul des armatures exterieures) et M_{ri} pour le calcul des armatures interieures)

*Les regles considerent qu'en raison de leur faible importance pratique , le calcul des armatures (verticales ou transversales) pour les sollicitations du second genre ne sont pas à envisager

*Le coefficient 0.8 qui affecte les sollicitations dues a l'ensoleillement tient compte de la faible probalite de superposition du vent maximal et du fort rayonnement solaire.

*Le coefficient 1.925 qui affecte les sollicitations du second genre provoquées par le vent provient de la multiplication de 1.1 par 1.75 ou 1.1 correspond au coefficient γ_w des regles CCBA 68

Les coefficients α_1 et α_2 qui affectent les sollicitations de 2'ème genre dues au poids propre du fût G ou du revêtement P tiennent compte des possibilités de majoration des efforts dans le béton ou l'acier provoqués par une densité réelle des materiaux différents que celle admise dans les calculs ainsi que des tolérances d'exécution;

SOLICITATIONS -- PREMIER GENRE --

cas de charges 'A'				cas de charges 'B'				cas de charges 'C'				
		combinations				sollicitations locales				ensembles locales		
sens horizontal	sens vertical			sous le vent	face étudiée			B ₁	B ₂	B ₃	A + B ₃	contraintes admissibles
ferraillage	BETON	S ₁		M 0,8M' _S M' _v , G, P	Q' _E 0,36 ζ_{28}	containtes admissibles	paroi étudiée	t	M _{ce}	t, M _{ce}	S ₁ ³	M, 0,8M' _S M' _v , G, P t, M _{ce}
nappes	BETON	S ₁		M 0,8M' _S M' _v G, P	-	-	interieur	t	M _{ce}	t, M _{ce}	S ₁ ³	M, 0,8M' _S M' _v , G, P t, M _{ce}
interie	exterie	S ₁	au vent laterale au vent	-	-	-	exterieur	-	M _{ci}	M _{ci}	S ₁ ⁴	M, 0,8M' _S M' _v , G, P t, M _{ce}
		S ₁	au vent	T	-	-	interieur exterieur	-	M _{ci}	M _{ci}	S ₁ ^{3*}	M, 0,8M' _S M' _v , G, P t, M _{ce}
		S ₁		-	-	-	exterieur	t	M _{ce} 0,8M _{ce}	t, M _{ce} 0,8M _{ci}	S ₁ ³	H, t, M _{ce} 0,8M _{ci}
		S ₁		-	-	-		-	M _{ci} 0,8M _{ci}	M _{ci} 0,8M _{ci}	S ₁ ⁴	M _{ci} 0,8M _{ci}

SOLLICITATIONS -- DEUXIEME GENRE --

F E R R A J L L A G E

Hypothèses de calcul :

a) Sollicitations d'ensemble:

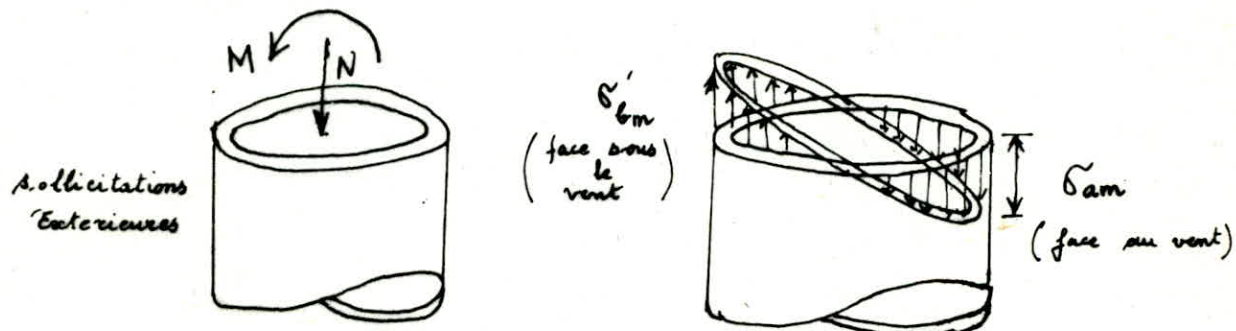
Il est supposé que sous l'effet de sollicitations d'ensemble, la cheminée peut être considérée comme une console, calculée en théorie des poutres. De plus, on suppose que le rapport $\frac{h_0}{D}$ est suffisamment faible pour pouvoir théoriquement concentrer le béton et l'acier dans la surface moyenne, afin de calculer les contraintes moyennes σ_{bm} et σ_{am} .

b) Sollicitations locales

Il est supposé qu'une section entièrement comprimée (ou tendue) ou partiellement comprimée, reste entièrement comprimée (ou tendue) ou partiellement comprimée après l'intervention des sollicitations locales.

c) Il est supposé que la superposition des sollicitations d'ensemble et locales produit une flexion composée dans l'épaisseur de la paroi (flexion+compression ou flexion+traction).

**CAS DE CHARGE 'A' (sollicitations d'ensemble)



Nous désignerons par ($V = G + P$) la charge verticale d'ensemble.

Le moment d'ensemble M et la charge verticale V sont équilibrés par les efforts normaux repartis sur le pourtour de la coque (figure ci-dessous).

Dans ce qui suit, nous utiliserons la méthode de l'abaque SALIGER.

Pour une section entièrement comprimée, la contrainte maximale dans le béton est calculée d'après la formule:

$$\sigma'_{bm} = \frac{V}{I} \pm \frac{M}{I} v, \quad I = \pi R_m^3 h_0, \quad v = R_m$$

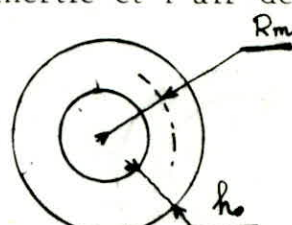
où I et v sont respectivement le moment d'inertie et l'air de la section annulaire du béton homogénéisé.

Determination du noyau central:

$$\sigma' = \frac{M v}{I} \pm \frac{V}{I} = \frac{M \cdot Dm/2}{h_0 \pi R_m^3} \pm \frac{V}{\pi h_0 Dm}$$

$$= \frac{M \cdot Dm/2}{I} \pm \frac{V}{\pi h_0 Dm}$$

$$\Rightarrow \sigma' = \frac{N}{I} \left(1 + 4 \frac{e}{Dm} \right) \quad (e = \frac{M}{V})$$



La côte du noyau central est donnée par :

$$\frac{4e}{D_m} = 1$$

Trois cas sont à envisager :

$$1^{\circ}) \quad e < \frac{D_m}{4} \quad \left. \begin{aligned} \epsilon'_1 &= \frac{V}{\Omega} \left(1 + \frac{4e}{D_m} \right) > 0 \\ \epsilon'_2 &= \frac{V}{\Omega} \left(1 - \frac{4e}{D_m} \right) > 0 \end{aligned} \right\} \text{section entièrement comprimée.}$$

$$2^{\circ}) \quad e = \frac{D_m}{4} \quad \left. \begin{aligned} \epsilon'_1 &= \frac{2V}{\Omega} > 0 \\ \epsilon'_2 &= \frac{V}{\Omega} (1-1) = 0 \end{aligned} \right\} \text{section entièrement comprimée.}$$

$$3^{\circ}) \quad e > \frac{D_m}{4} \quad \left. \begin{aligned} \epsilon'_1 &= \frac{V}{\Omega} \left(1 + \frac{4e}{D_m} \right) > 0 \\ \epsilon'_2 &= \frac{V}{\Omega} \left(1 - \frac{4e}{D_m} \right) \leq 0 \end{aligned} \right\} \text{section partiellement comprimée ou tendue.}$$

PREMIER GENRE

côte (m)	180	110	40	0
N° section	19	12	5	1
M (ks=1)	2200,493	10162,63	25579,94	37727,
V = G + P	980,364	2548,027	4812,721	6821,822.
D ext (m)	9,00	12,00	15,00	20,00
épaisseur h (m)	0,183	0,217	0,250	0,350
Dm / 4	2,20	2,94	3,68	4,91
M'v = 0.043 M	94,621	436,993	1099,937	1622,291
0.8 Ms	974,376	974,376	974,376	974,376.
Mt = M + M'v + 0.8M's	3269,491	11574,00	27654,25	40324,367
e = Mt / V (m)	3,335	3,452	5,746	5,876.
Remarques:	S.P.C.T (*)	S.P.C.T	S.P.C.T	S.P.C.T

DEUXIEME GENRE (SEISME)

côte (m)	180	110	40	0
M seisme (tm)	6068,134	18920,89	36563,26	48623,86
Vmax (N max) (t)	1100,134	12746,824	5013,081	7064,094.
V min (N min)	868,8414	2352,652	4562,447	6609,804.
D ext (m)	9,00	12,00	15,00	20,00
épaisseur (m)	0,183	0,217	0,250	0,350
Dm / 4 (m)	2,204	2,94	3,68	4,91
M' seisme (tm)	273,829	813,600	1572,222.	2030,826.
Mt = M + M's	6641,963	19734,47	38136,48	50714,686.
e = Mt / Nmax	6,0339	7,1845	7,6073	7,1792.
e = Mt / Nmin	7,44	8,38	8,35	7,67.
Remarques	S.P.C.T	S.P.C.T	S.P.C.T	S.P.C.T

(*) S.P.C.T=section partiellement comprimée ou tendue.

DEUXIEME GENRE (VENT EXTREME)

côte (m)	180	110	40	0
N° section	19	12	5	1
1.925 M (ks=1)	4235,949	19563,063	42941,385	72625,823
1.1 V (t)	1078,41	2802,829	5293,993	7548,004
0.9 V (t)	882,335	2293,267	4331,45	6175,64
D ext (m)	9,00	12,00	15,00	20,00
épaisseur h _o (m)	9,183	0,217	0,250	0,350
D _m / 4 (m)	2,2045	2,945	3,687	4,912
1.925 M'v (tm)	182,145	841,211	2117,38	3122,91
Mt = 1.925(M+M'y)	4418,0944	20444,275	51358,705	75748,733
e = Mt / 1.1V	4,097	7,28	9,68	10,04
e = Mt / 0.9V	5,00	8,89	11,86	12,27
Remarques	S.P.C.T	S.P.C.T	S.P.C.T	S.P.C.T

FERRAILLAGE DE LA SECTION N° 19 (côte 180m)

Cas de charge 'A'; (sollicitations dues au vent normal)

$$h_0 = 0,183 \text{ (épaisseur de la section)} : h_0 = 0,183 \text{ m}$$

$$(\text{excentricité des efforts}) : e = 3,335 \text{ m}$$

$$S = \pi D_m \cdot h_0 = 5,066 \text{ m}^2$$

$$V = 980,364 \text{ t} (\text{effort normal au niveau 19}) V = 980,364 \text{ t}$$

Calcul du pourcentage d'acier (abaque de SALIGER)

a) sens vertical

On se fixe $\sigma_{bm}' = 70 \text{ bars}$ (contrainte moyenne du béton).

$$\alpha = \frac{M}{V \cdot R_m} = \frac{e}{R_m} = \frac{3,335}{4,4085} = 0,756$$

$$B = \frac{V}{S \sigma_{bm}'} = \frac{980,364 \cdot 10^3}{5,066 \cdot 70 \cdot 10^4} = 0,276$$

en utilisant la valeur de α et B dans l'abaque de SALIGER, on détermine le pourcentage de l'acier qui est inférieur au pourcentage minimal (0,25 %), on prend le pourcentage minimal; 0,25%.

$$\omega_i + \omega_e \geq 0,25\%$$

on prend :

$$A_e = 7T10/\text{ml} = 5,49 \text{ cm}^2/\text{ml}$$

$$A_i = 7T8/\text{ml} = 3,51 \text{ cm}^2/\text{ml}$$

$$\omega_i + \omega_e = \frac{3,51 + 5,49}{100 \times 18,3} = 0,49\% > 0,25\%$$

Calcul des contraintes:

avec : $\sum \omega = 0,49\%$ et $\alpha = 0,756$

on lit sur l'abaque: $A = 7,96$, $B = 0,378$

les contraintes sont;

$$*) \text{ pour le béton: } \sigma_{bm}' = \frac{V}{S \cdot B} = \frac{980,364 \times 10^3}{5,066 \cdot 10^4 \cdot 0,378} = 51,195 \text{ kg/cm}^2$$

$$*) \text{ pour l'acier: } \sigma_{am} = A \cdot \sigma_{bm}' = 7,96 \times 51,195 = 407,515 \text{ kg/cm}^2$$

b) sens transversal:

$$\text{La contrainte de cisaillement est: } \tau = \frac{H}{b \cdot z} \approx \frac{H}{1,6 \cdot D_m \cdot h_0}$$

H : effort tranchant =

la contrainte de traction dans les cercles s'exprime par;

$$\sigma_{am}' = \frac{100 \tau}{\sum \omega}$$

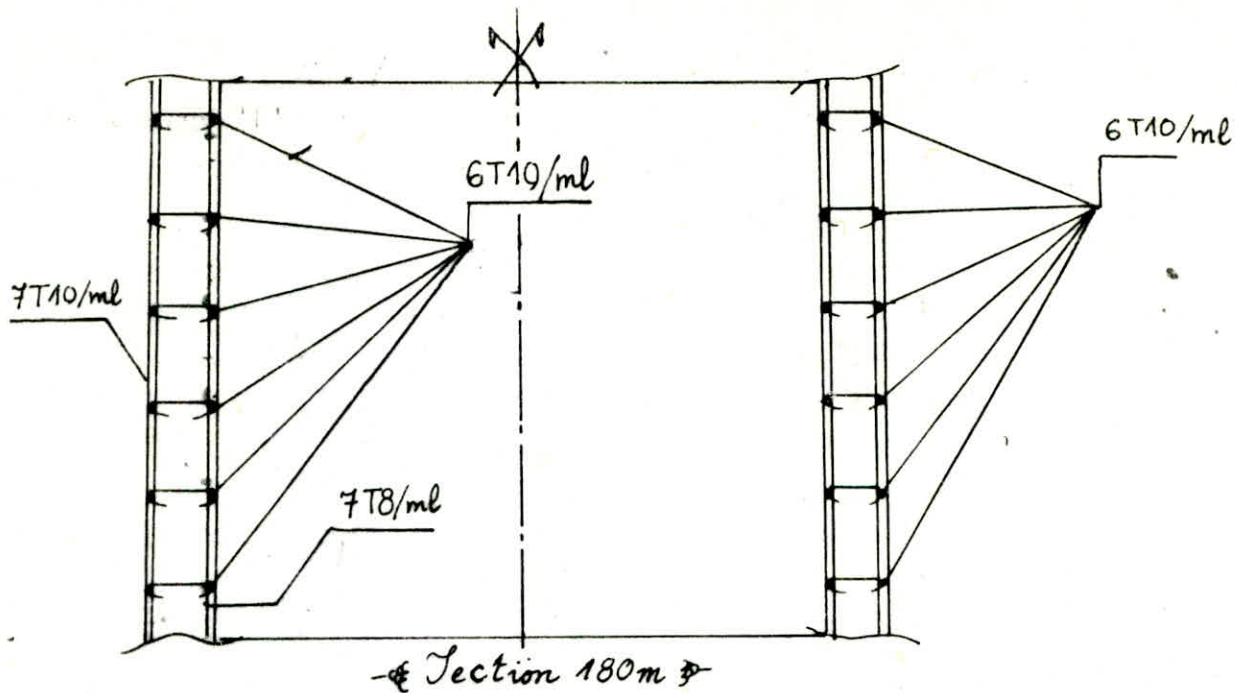
soit :

$$A_i = 7T10 = 4,71 \text{ cm}^2 \rightarrow \omega_i = \frac{4,71}{100 \times 18,3} = 0,257$$

$$A_e = 7T10 = 4,71 \text{ cm}^2 \rightarrow \omega_e = 0,257$$

$$\sum \omega = \omega_i + \omega_e = 2 \times 0,257 = 0,515\% > 0,25\%$$

$$\text{d'où: } \sigma_{am} = \frac{100 \times (67,906) \cdot 10^3}{1,6 \cdot 8,817 \cdot 0,51 \cdot 0,183 \cdot 10^4} = 515,758 \text{ kg/cm}^2$$



Cas de charge 'B'

Dans cette catégorie de charge, on calculera les contraintes σ_t , σ_c , σ_o engendrées respectivement par les sollicitations locales M_t , M_c , M_o .

a) Contrainte due au gradiant thermique (B_1)

a-1 sens vertical:

*) face sous vent: entièrement comprimée.

$$\text{la contrainte apportée par } M_t \text{ (béton)}: \sigma_t' = \frac{M_t V}{I} = \frac{K_t \cdot h_o^3}{12 I}$$

$$\text{si } V = \frac{h_o}{2}; \quad \sigma_t' = K_t \cdot \frac{h_o}{2}$$

$$\text{avec } K_t = \frac{E_y \cdot \mu_t}{h_o} = \frac{117800 \cdot 10^{-3} \cdot 60}{18,3} = 3,862$$

$$\text{ce qui donne: } \sigma_t' = 3,862 \cdot \frac{18,3}{2} = 35,34 \text{ kg/cm}^2$$

*) face au vent : entièrement tendu.

La contrainte de traction apportée par M_t aux droit des aciers extérieurs:

$$\sigma_t = \frac{n c K_t \cdot h_o}{1 + c} \quad \text{avec } c = A_i / A_e = 3,51 / 5,49 = 0,64$$

$$= 232,85 \text{ kg/cm}^2 \quad \text{et} \quad h_a = h_o - 2 \times 4 = 18,3 - 8 = 10,3 \text{ cm}$$

a-2 sens horizontal

$$n = 15, \quad K_t = 3,862$$

On considère qu'il s'agit d'une section partiellement comprimée et partiellement tendue soumise à la flexion simple.

Au droit des fibres intérieures, nous aurons une contrainte donnée par: $\sigma_t' = K_t \cdot \alpha \cdot h_o$ (béton)

et au droit des fibres extérieures, nous aurons une contrainte donnée par: $\sigma_t = n K_t (\beta - \alpha) h_o$ (acier)

$$\text{calcul: } c = 4,71 / 4,71 = 1 \quad \text{car: } \omega_i = \omega_e = 0,25\%$$

Avec ces données, on lit sur un tableau (DIVER p.177) la valeur de α
 $\alpha = 0,209$.

d'où $\sigma_t' = 3,862 \cdot 0,209 \cdot 18,3 = 14,77 \text{ kg/cm}^2$

$$\sigma_t' = 15 \cdot 3,862 \cdot 18,3 \cdot \left(\frac{18,3-4}{18,3} - 0,209/3 \right) = 606,83 \text{ kg/cm}^2$$

b) Cas de charge B₂ (ovalisation et ensoleillement)

b-1 sens vertical

*) sous le vent : section entièrement comprimée:

$$\sigma_{ci}' = \frac{6 M_{ci}}{h_0^2} \quad (\text{au droit des fibres intérieures})$$

*) au vent : section entièrement tendue;

$$\sigma_{ce}' = \frac{M_{ce}}{h_0 A_e} \quad (\text{contraintes au droit des aciers extérieurs apportées par les moments des consoles})$$

$$\sigma_{ci}' = \frac{M_{ci}}{h_0 A_i} \quad (\text{contraintes au droit des aciers intérieurs apportées par les moments des consoles})$$

on a vu précédemment que: $M_{ce} = M_{ci} = M_c/2 = 200 \text{ kg m/mé}$

$$\sigma_{ci}' = \frac{6 \cdot 200}{(18,3)^2} = 3,58 \text{ kg/cm}^2$$

$$\sigma_{ce}' = \frac{200}{10,3 \cdot 5,49} = 353,7 \text{ kg/cm}^2$$

$$\sigma_{ci}' = \frac{200}{10,3 \cdot 3,51} = 553,2 \text{ kg/cm}^2$$

b-2 sens transversal

Dans le sens transversal agit le moment d'ovalisation dont les contraintes sont calculées, connaissant la position de l'axe neutre, par:

$$\sigma_o = \frac{M_o}{h_0 (\xi - \alpha/3) \cdot A}$$

Aux effets d'ovalisation s'ajoute l'effet d'ensoleillement et , qui produisent les contraintes suivantes:

*) Traction dans les aciers extérieurs:

$$\sigma_{oe} = \frac{M_{oe}}{h_0 (\xi - \alpha/3) \cdot A_e} = \frac{665,46 \cdot 100}{18,3 [(18,3-4)/18,3 - 0,209/3] \cdot 4,7} = 1084,725 \text{ kg/cm}^2$$

$$0,8 \sigma_{ci} = \frac{0,8 \times M_{ci}}{h_0 (\xi - \alpha/3) \cdot A_i} = \frac{0,8 \times 4140}{18,3 [(18,3-4)/18,3 - 0,209/3] \cdot 4,7} = 53,987 \text{ kg/cm}^2$$

*) Traction dans les aciers intérieurs:

$$\sigma_{oi} = \frac{M_{oi}}{h_0 (\xi - \alpha/3) \cdot A_e} = \frac{740,59 \cdot 10^2}{18,3 [(18,3-4)/18,3 - 0,209/3] \cdot 4,7} = 1207,2 \text{ kg/cm}^2$$

$$0,8 \sigma_{ci} = \frac{0,8 \times M_{ci}}{h_0 (\xi - \alpha/3) \cdot A_i} = \frac{0,8 \times 0,0752 \cdot 10^5}{18,3 [(18,3-4)/18,3 - 0,209/3] \cdot 4,7} = 94,803 \text{ kg/cm}^2$$

c) Cas de charge C :-

Conformément à l'hypothèse (b), on fait dans ce cas de charge un cumul arithmétique des contraintes engendrées par le gradient thermique et des moments locaux.

Cas de charge 'C':

dans ce cas de charge, on évalue les contraintes finales σ'_b et σ'_a sous l'action des sollicitations d'ensembles et locales conformément aux règles S_1^3 , S_1^4 , S_2^4 , S_2^5 .

Les hypothèses des contraintes fournissent les relations suivantes:

$$\bullet \quad \sigma'_b = \sigma'_{bm} + \sigma'_{t} + \sigma'_{c} + \sigma'_{o}$$

$$\bullet \quad \sigma'_a = \sigma'_{am} + \sigma'_{t} + \sigma'_{c} + \sigma'_{o}$$

Il faut évidemment retenir pour chaque calcul, des contraintes réelles existantes.

§ CONTRAINTES 1'er GENRE -- SECTION- 180m -- §

unité kg/cm ²	cas de charge 'A' sollicitation d'ensemble	cas de charge 'B' sollicitations locales			cas de charge 'C' sollicitations d'ensemble + locales	
		'B 1' gradient thermique	'B 2' moments loceaux	'B 3' = B1 + B2		
	BETON	$\sigma'_{bm} = \frac{V}{2B}$ 51,195	$\sigma'_t = k_t \cdot h_0 / 2$ 35,34	$\sigma'_{ci} = 6 M_{ci} / h_0^2$ = 3,58	$\sigma'_{ci} + \sigma'_t =$ 38,92	$\sigma'_{bm} + \sigma'_t + \sigma'_{ci}$ 90,115
sens vertical	ferraillage	$\sigma'_{am} = A \cdot \sigma'_{bm}$ 407,515	$\sigma_t = n k_t h_0$ 1+e 232,85	$\sigma'_{ce} = \frac{M_{ce}}{ha \cdot A_e}$ 353,7	$\sigma'_t + \sigma'_{ce}$ 586,55	$\sigma'_t + \sigma'_{ce} + \sigma'_{am}$ 1004,63
sens transval	ferraillage	$\sigma'_{am} = \frac{100 H}{1,6 D_m \Sigma w_h}$ 515,758	$\sigma'_t = n k_t h_0 (\xi - \alpha)$ 606,99	$\sigma'_{oe} = 1084,72$ $0,8 \sigma'_{ce} = 53,98$	$\sigma'_t + \sigma'_{oe} + 0,8 \sigma'_{ce}$ 1745,53	$(\sigma'_t + \sigma'_{oe} + 0,8 \sigma'_{ce}) \times 0,85$ 1922,15
	nappes interieures			$\sigma'_{oi} = 1207,191$ $0,8 \sigma'_{ri} = 94,80$		$\sigma'_{oi} + 0,8 \sigma'_{ri}$ 1301,99
						1301,99

cas de charge 'A' sollicitations d'ensembl		unité : kg/cm ²	cas de charge ' A ' sollicitations d'ensemble	cas de charge ' B ' locales			cas de charge ' C ' = A + B3	cas de charge 'C'	
seisme (1) avec V= N max	seisme (2) avec V= N min			B 1	B 2	B3 = B1+B2		séisme (1) + B3	seisme (2) + B3
$\sigma'_{bm} = \frac{N_{max}}{B_{s2}}$ 98,767	$\sigma'_{bm} = \frac{N_{min}}{B_{s2}}$ 100,83	<i>Beton</i>	$\sigma'_{bm} = \frac{1,2 V}{B_{s2}}$ 73,4	$\sigma'_t = k_t R_0 / 2$ 35,34	σ'_{ci} 39,28	$\sigma'_t + \sigma'_{ci}$ 39,28	$\sigma'_{bm} + \sigma'_t + \sigma'_{ci}$ 112,68	$\sigma'_{bm} + \sigma'_t + \sigma'_{ci}$ 147,927	$\sigma'_{bm} + \sigma'_t + \sigma'_{ci}$ 147,18
$\sigma'_{am} = A \sigma'_{bm}$ 2765,48	$\sigma'_{am} = A \sigma'_{bm}$ 3631,72		$\sigma'_{am} = A \sigma'_{bm}$ 1321,2	$\sigma'_t = \frac{n k_t ha}{1+c}$ 232,85	$\sigma'_{ce} = \frac{0,9 Mce}{Ae ha}$ 318,33	$\sigma'_t + \sigma'_{ce}$ 551,18	$\sigma'_{am} + \sigma'_t + \sigma'_{ce}$ 1872,38	$\sigma'_{am} + \sigma'_t + \sigma'_{ce}$ 4082,2	$\sigma'_{am} + \sigma'_t + \sigma'_{ce}$ 4182,9
~	~	sens transversal	ferraillage	~	~	~	~	~	~
$\sigma'_{am} = \frac{100 H}{1,6 D_m R_0 I_w}$ 1083,17	$\sigma'_{am} = \frac{100 H}{1,6 D_m R_0 \Sigma w}$ 1083,17	sens vertical	ferraillage	$\sigma'_{am} = \frac{1,925 \cdot 100 H}{1,6 D_m R_0 \Sigma w}$ 992,95	$\sigma'_t = n k_t h_0 (\xi - \alpha)$ 606,83	σ'_{ce} 2088,08	$\sigma'_t + \sigma'_{ce}$ 2694,9	$\sigma'_{am} + \sigma'_t + \sigma'_{ce}$ 3687,86	$\sigma'_{am} + \sigma'_t + \sigma'_{ce}$ 3778,086
~	~			~	~	~	~	~	~

§ CONTRAINTES 1^{er} GENRE -- cestion 40 m -- §

unité kg/cm ²	cas de charg ' A ' sollicitation d'ensemble	cas de charge 'B' sollicitation locales			cas de charges ' C ' sollicitation d'ensemble + locales
		' B 1 ' gradiant thermique	' B 2 ' moments locaux	' B 3 ' = B1 + B2	
BETON	$\sigma_{bm} =$ 84,96	$\sigma_t =$ 31,72	$\sigma_{ce} =$ 1,92	33,64	118,6
	$\sigma_{am} =$ 552,26	37 371,41	$\sigma_{ce} =$ 36,38	407,79	959,96
sens transversal	ferraillage nappes interieure 7 T 20	$\sigma_{ci} =$ 56 ~	$\sigma_{cr} =$ 56,86	56,86	609,12
		$\sigma_t =$ 888,74	$\sigma_{oe} =$ 642,53 $0,8\sigma_{re} =$ 32,26	1563,53	$\sigma_{ci} = 0,85(\sigma_{am} + \sigma_t + \sigma_{oe} + 0,8\sigma_{re})$ 2071,15
ferraillage nappes interieure 6 T 12	$\sigma_{am} =$ 873,12	~	$\sigma_{oi} =$ 715,51 $0,8\sigma_{ri} =$ 58,67	774,18	774,18

§ CONTRAINTES 2^{ème} GENRE -- section 40 m -- §

cas de charge 'A' sollicitation d'ensembl		unité kg/cm ²	cas de charg 'A' sollicitations d'ensembles	cas de charge 'B' sollicitations locales			cas de charge 'C' = A.. + B3	cas de charge 'C'	
déisme (1) V = Nmax	séisme(2) V= Nmin			B 1	B 2	B 3		séisme(1) + B3	séisme(2) + B3
$\tilde{\sigma}_{Gm} = \frac{N_{max}}{\Omega_B}$ 105,51	$\tilde{\sigma}'_{Gm} = \frac{N_{min}}{\Omega_B}$ 102,1	<i>beton</i>	$\tilde{\sigma}'_G = \frac{1,1V}{B\Omega}$ 136,55	$\tilde{\sigma}'_t =$ 44,15	$\tilde{\sigma}'_{ce} =$ 2,112	46,262	182,8	151,77	148,362
$\tilde{\sigma}_{am} = A\tilde{\sigma}'_{Gm}$ 1318,875	$\tilde{\sigma}_{am} = A\tilde{\sigma}'_{Gm}$ 1480,45		$\tilde{\sigma}'_{am} =$ 3666,7	$\tilde{\sigma}'_t =$ 371,41	32,742	404,152	4070,9	1723,027	1884,602
$\tilde{\sigma}_{am} =$ $\frac{100H}{\Sigma w D_m 1,6 h_0}$ 1012,32	1012,32	sens transversal	ferraillage	$n_{app-int} n_{app-ext}$ 6 T12 /m ²	$\tilde{\sigma}'_t =$ 888,74	1236,87	2125,61	3806,366	3137,93
					\sim	\sim	\sim	\sim	\sim
					\sim	\sim	\sim	\sim	\sim

§ CONTRAINTES 1'er GENRE -- section 110m-- §

sens transversal	sens vertical	ferraillage	nappes interieures	nappes exterieur	cas de charge 'A' sollicitation d'ensemble	cas de charge 'B' sollicitations locales			cas de charge 'C' sollicitation d'ensemble + locale
						'B 1' gradiant thermique	'B 2' moments locaux	'B 3' B1 + B2	
unité kg/cm ²	BETON		$\sigma_{3m} = \frac{V}{\sqrt{B}}$ 88,11	$\sigma_t =$ 39,78	$\sigma_{ci} =$ 2,55	$\sigma_{ce} =$ 77,49	$\sigma_{ci} =$ 158,16	$\sigma_{ce} =$ 158,16	$\sigma_{ci} =$ 1039,26
sens transversal	sens vertical	ferraillage	nappes interieures	nappes exterieur	$\sigma_{am} = A \sigma_{bm}$ = 881,1	$\sigma_t =$ 238,7	$\sigma_{ce} =$ 316,19	$\sigma_{ci} =$ 158,16	$\sigma_{ce} =$ 1039,26
sens transversal	sens vertical	ferraillage	nappes interieures	nappes exterieur	$\sigma_{am} =$ $\frac{100 \times H}{1,6 D_m \Sigma w_h}$ 947,41	$\sigma_t =$ 698	$\sigma_{ce} = 863,15$ $0,8 \sigma_{ce} = 39,44$	$\sigma_{ci} =$ 1600,59	$\sigma_{ce} =$ 2249,211

cas de charge 'A' sollicitation d'ensem		unité : kg / cm ²	cas de charg ' A ' sollicitation d'ensemble	cas de charge ' B ' sollicitations locales			cas de charge 'C' = A + B3	cas de charge 'C'	
séisme (1)	séisme (2)			B 1	B 2	B 3		séisme (1)	séisme (2)
$\tilde{\sigma}_{Gm} = \frac{N_{max}}{\sqrt{2}B}$ 114,20	$\tilde{\sigma}'_{Gm} = \frac{N_{min}}{\sqrt{2}B}$ 117,38	<i>Beton</i>		$\tilde{\sigma}'_{Gm} = 104,85$	39,78	2,81	42,59	147,44	156,79
$\tilde{\sigma}_{am} = A\tilde{\sigma}'_{Gm}$ 2055,6	$\tilde{\sigma}_{am} = A\tilde{\sigma}'_{Gm}$ 2699,88	sens vertical	ferraillage	$\tilde{\sigma}_{am} =$ 1887,3	238,7	69,74	308,44	2159,74	2364,14
					~	~	~	~	3007,32
$\tilde{\sigma}_{am} =$ 1057,34	$\tilde{\sigma}_{am} =$ 1057,34	sens transversal	ferraillage	$\tilde{\sigma}_{am} =$ 1251,35	698	1661,56	2359,56	3610,91	3416,9
					~	~	~	~	3416,9

§ CONTRAINTES 1^{er} GENRE -- section 0.00m -- §

unité kg / cm ²		cas de charges ' A '	cas de charges 'B' (sollicitations locales)			cas de charges ' C '		
			' B 1 ' gradient thermique	' B 2 ' moments locaux	' B 3 ' = B2 + B1			
	BETON		$\sigma_g' = \frac{V}{\Omega}$ 67,81	$\sigma_t' = K_t h_0/2$ 55,19	$\sigma_{ce}' = 6 M_{ce}/h_0^2$ 1	$\sigma_g' = \sigma_t' + \sigma_{ce}'$ 56,19	124,9	
sens transversal	sens vertical	ferraillage						
		nappes interieures 6 T12 / m ²	nappes exterieure 6 T16 / m ²	$\sigma_{am} = A \sigma_g'$ 426,03	$\sigma_t' = \frac{n K_t h_0}{1+c}$ 151,16	$\sigma_{ce} = \frac{M_{ce}}{A_e \cdot h_a}$ 66,33	492,96	644,12
		nappes exterieure 6 T12 / m ²	nappes interieures 6 T12 / m ²		$\sigma_{ci}' = \frac{M_{ci}}{A_i \cdot h_a}$ ~	$= 117,82$	117,82	268,98
		6 T12 / m ²	6 T12 / m ²	$\sigma_{am} = \frac{100 H}{1,6 D_m \sum w_h}$ 551,708	$\sigma_t' = n K_t h_0 (\xi - \alpha)$ 1104,45	$\sigma_{ce} = M_{ce} / h_0 (\xi - \frac{\alpha}{3}) A_e$ 555,63	1726,74	2278,448
						$0,8 \sigma_{ce}' = 66,66$		
						$\sigma_{ci}' = 618,74$	739,91	739,91
						$0,8 \sigma_{ci}' = 121,17$		

§. CONTRAINTES

2'ème GENRE -- section 0.00 m -- §

cas de charge 'A' sollicitations d'ensem		unité: kg/cm ²	cas de char 'A' sollicitations d'ensembles	cas de charge 'B' sollicitations locales			cas de charge 'C' = A + B3	cas de charge 'C'	
séisme (1) V = Nmax	séisme (2) V = Nmin			B 1	B 2	B 3		séisme (1) + B3	séisme(2) + B3
$\sigma_{\text{am}} = \frac{N_{\text{max}}}{2B}$ 81,79	$\sigma_{\text{am}} = \frac{N_{\text{min}}}{2B}$ 78,5	<i>Beton</i>		$\sigma_g = \frac{1,1V}{B_2}$ 129,48	$\sigma_t =$ 55,19	σ_{ce} 1,1	56,29	185,77	138,08
$\sigma_{\text{am}} = A\sigma_{\text{am}}$ 572,58	$\sigma_{\text{am}} = A\sigma_{\text{am}}$ 588,75	sens vertical	ferraillage	$\sigma_{\text{am}} =$ 2589,6	σ_{am} = 426,03	σ_{ce} 59,7	485,73	3075,33	1058,31
$\sigma_{\text{am}} =$ $\frac{100H}{1,6D_{\text{lw},\text{ho}}}$ 568,69	$\sigma_{\text{am}} =$ 568,69			$\sigma_{\text{am}} =$ 966,35	$\sigma_t =$ 1104,45	$\sigma_{ce} =$ 1069,59	2174,04	3140,39	2742,73
					~	~	~	~	~

ETUDE DES FONDACTIONS

L'expérience Américaine impose pour s'assurer rapidement de la stabilité de la fondation, que les contraintes respectent les conditions qui suivent;

$$\sigma_{1,2} = \frac{1,1N}{A} \pm \frac{M_o \cdot R}{I}$$

il faut avoir: $\frac{\sigma_2}{\sigma_1} < 3$, $\sigma_2 > 0$, $\sigma_1 > 0$, $\sigma_2 < \sigma_{sol}$ ($= 3$ bars)

N : effort normal (niveau 0) = 6861,8 t.

M_o : moment résultant à la base = M (niveau 0) + 10 T.

T : effort tranchant à la base; T (niveau 0) = 327,667 t

$$\Rightarrow M_o = M + 10T = 40324,367 + 10 \times 327,667 = 43601,03 \text{ t.m.}$$

A ; aire de la fondation.

R ; rayon de la fondation.

I ; moment d'inertie de la fondation.

Pour notre cas, même un diamètre de (45m) pour la fondation ne résoud pas le problème

$$I = \frac{\pi \cdot D^4}{64} = \frac{3,14 \cdot 45^4}{64} = 20 \cdot 10^4 \text{ m}^4$$

$$A = \frac{\pi \cdot D^2}{4} = 16 \cdot 10^2 \text{ m}^2$$

$$\sigma_{1,2} = \frac{1,1 \cdot 6861,8}{16 \cdot 10^2} \pm \frac{43601,03}{20 \cdot 10^4} \cdot 22,5 = 4,717 \pm 4,910 \text{ T/m}^2$$

$$\sigma_1 = 9,622 \text{ T/m}^2$$

$$\sigma_2 = -0,188 \text{ T/m}^2$$

La solution "fondations profondes" s'impose.

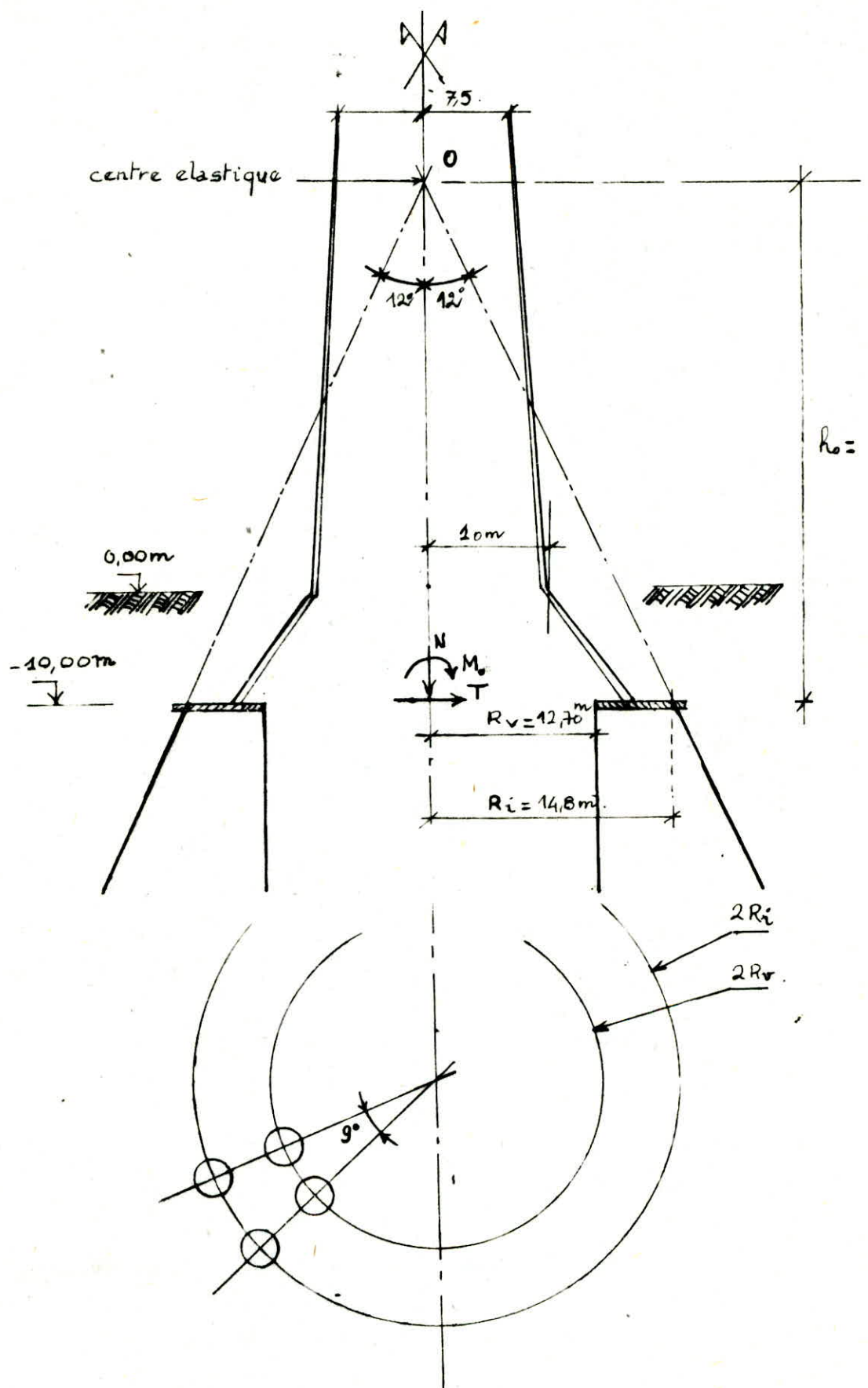
CALCUL DES PIEUX

Dans ce qui suit, nous utiliserons pour le calcul des pieux, la théorie du centre élastique.

Le règlement impose, que les tractions pour les sollicitations du 1^{er} genre sont interdites, sauf prescriptions spéciales;

Pieux verticaux:

$$F_v = \frac{1,1 N}{n_v + n_i \cos^3 \alpha} \pm \frac{q T \Delta H}{R_v n_v}$$



$$\Delta H = \frac{M}{T} - h_0 = \frac{40324}{327,664} - 69,628 = 53,44$$

$$\alpha = 12^\circ$$

$$F_V = \frac{1,1(6861,8)}{40(1 + \cos^3(12))} \pm \frac{2(327,667) \times 53,44}{12,7 \times 40}$$

$$= 91,48 \pm 68,94$$

$$\Rightarrow F_{V\max} = 160,42 \text{ t} \quad (\text{compression})$$

$$F_{V\min} = 22,54 \text{ t} \quad (\text{compression})$$

Pieux inclinés:

$$F_i = \frac{1,1 N \cos^2 \alpha}{n_v + n_i \cos^3 \alpha} \pm \frac{2 T}{n_i \sin \alpha}$$

$$F_i = \frac{1,1(6861,8) \cos^2(12)}{40(1 + \cos^3 12)} \pm \frac{2(327,667)}{40 \sin(12)}$$

$$= 93,26 \pm 78,80$$

$$\Rightarrow F_{i\max} = 172,06 \text{ t} \quad (\text{compression})$$

$$F_{i\min} = 14,46 \text{ t} \quad (\text{compression})$$

ARMATURES /

longitudinales $\tilde{\omega} = 1,2\%$; $1\% < \omega < 2\%$ (DAVIDIAN page 64)

d'où

$$A_L = 3848,4 \times \frac{1,2}{100} = 46,18 \text{ cm}^2$$

soit;

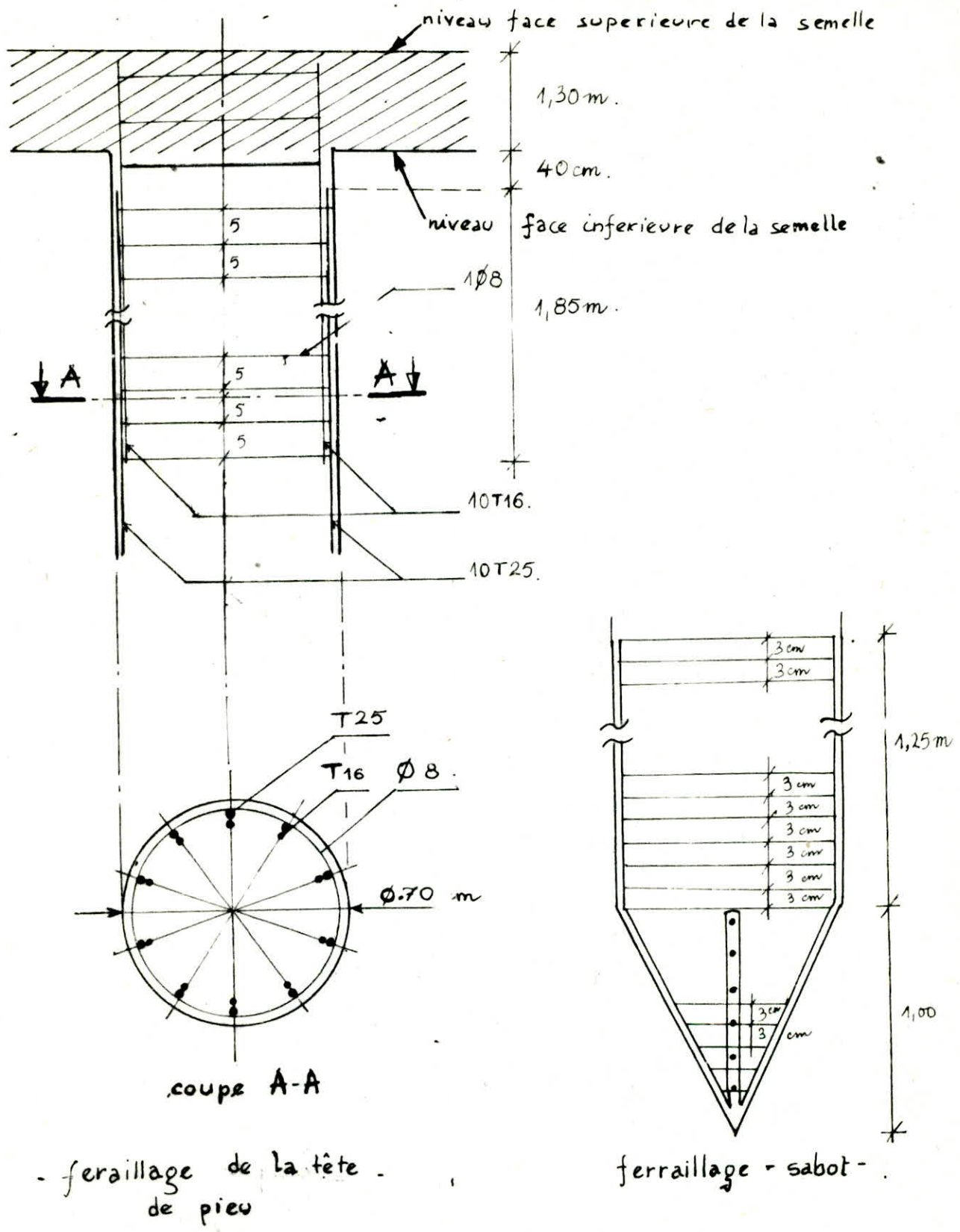
$$10 \text{ T 25} \quad A_L = 49,09 \text{ cm}^2 \text{ en } F_e E 40$$

transversales

$$A_t = \emptyset 8 \quad F_e E 24$$

éspacement de 5cm à la tête et à la pointe.

et de 10-15 cm ailleurs.



Determination des contraintes:

1^{er} GENRE:

Pieux verticaux:

$$\sigma'_b = \frac{1,1 N}{S + b \cos^3 \alpha} \pm \frac{2 T \cdot \Delta H}{R_v S}$$

b, S ; section homogenisée d'un pieu

$$\frac{b}{40} = \frac{S}{40} = \frac{\pi D^2}{4} + 15 A_L = 3,14 \cdot \frac{(0,7)^2}{4} + 15 \cdot 49,09 \cdot 10^{-4} = 0,4585 \text{ m}^2$$

$$\Delta H = \frac{M}{T} - R_o = \frac{40324}{327,667} - 69,628 = 53,43 \text{ m}$$

$$b = S = 18,339 \text{ m}^2$$

$$\sigma'_b = \frac{1,1 \times 6861,8}{18,339(1 + \cos^3 0,2)} \pm \frac{2 \cdot 327,667 \times 53,43}{12,7 \times 18,339} = 212,606 \pm 150,338$$

$$\Rightarrow \begin{cases} \sigma'_{b\max} = 36,29 \text{ kg/cm}^2 < \bar{\sigma}_b = 75 \text{ kg/cm}^2 ; \text{ OK!} \\ \sigma'_{b\min} = 6,23 \text{ kg/cm}^2 < \bar{\sigma}_b = 75 \text{ kg/cm}^2 ; \text{ OK!} \end{cases}$$

Pieux inclinés:

$$\sigma'_b = \frac{1,1 N \cos^3 \alpha}{S + b \cos^3 \alpha} \pm \frac{2 T}{b \sin \alpha}$$

$$\sigma'_b = \frac{1,1 \times 6861,8}{18,339(1 + 0,978^3)} \pm \frac{2 \cdot 327,667}{18,339 \cdot 0,208} \\ = 212,655 \pm 171,873$$

$$\Rightarrow \begin{cases} \sigma'_{b\max} = 38,45 \text{ kg/cm}^2 < \bar{\sigma}_b = 75 \text{ kg/cm}^2 . \text{ OK!} \\ \sigma'_{b\min} = 4,08 \text{ kg/cm}^2 < \bar{\sigma}_b = 75 \text{ kg/cm}^2 . \text{ OK!} \end{cases}$$

Conclusion:

On remarque l'absence de traction au niveau des pieux pour la vérification au 1^{er} genre.

2^{ème} GENRE: vent extrême:

Pieux verticaux:

$$N = 6861,8 t, T = 1,925 \times 327,667 = 630,75 t, \Delta H = 53,43 \text{ m}$$

$$\sigma'_b = \frac{1,1 N}{S + b \cos^3 \alpha} \pm \frac{2 T \cdot \Delta H}{R_v S} = \frac{1,1 \times 6861,8}{18,339(1 + 0,978^3)} \pm \frac{2 \times 630,75}{12,7 \times 18,339}$$

$$\sigma'_b = 212,606 \pm 289,401$$

$$\Rightarrow \begin{cases} \sigma'_{b\max} = 50,20 \text{ kg/cm}^2 < \bar{\sigma}_b = 75 \text{ kg/cm}^2 \rightarrow \text{OK!} \\ \sigma'_{b\min} = -7,67 \text{ (traction)}, \sigma_b = 7,67 \text{ kg/cm}^2 < \bar{\sigma}_b = 11,4 \text{ kg/cm}^2 \\ (\bar{\sigma}_b = 1,5 \times (7,6) = 11,4 \text{ kg/cm}^2) . \text{ OK!} \end{cases}$$

Pieux inclines

$$\sigma'_G = \frac{1,1 N \cos^2 \alpha}{S + S \cos^2 \alpha} \pm \frac{2 T}{R_i \sin \alpha} = \frac{1,1 \cdot 6861,8 \cos^2 12}{18,339 (1 + \cos^2 12)} \pm \frac{2 \cdot 630,75}{18,339 \cdot \sin 12}$$

$$= 223,417 \pm 330,85$$

$$\Rightarrow \begin{cases} \sigma'_G \max = 55,42 \text{ kg/cm}^2 < \bar{\sigma}'_G = 75 \text{ kg/cm}^2 \rightarrow \text{OK!} \\ \sigma'_G = (-) 10,70 \text{ kg/cm}^2 < \bar{\sigma}'_G = 75 \text{ kg/cm}^2 \rightarrow \text{OK!} \end{cases}$$

Verification des contraintes au second genre (Seisme , N=Nmax)

$$N = 0,1 \times 6861,8 + 7064,09 t, \quad T = 337,75 \quad M = 50714,686 + 10 \cdot 337,75 = 54092,8 \text{ t.m}$$

$$\Delta H = M/T - h_0 = 54092,8 / 337,75 - 69,628 = 90,528 \text{ m}$$

Pieux verticaux

$$\sigma'_G = \frac{7064,09 + 686,18}{18,339 \times (1 + 0,978^2)} \pm \frac{2 \times 337,75 \times 90,528}{12,7 \times 18,339} = 218,354 \pm 262,560$$

$$\Rightarrow \begin{cases} \sigma'_G \max = 48,09 \text{ kg/cm}^2 < \bar{\sigma}'_G = 75 \text{ kg/cm}^2 \rightarrow \text{OK!} \\ \sigma'_G = (-) 4,42 \text{ kg/cm}^2 \text{ (traction).} \end{cases}$$

$$\sigma'_G = 4,42 \text{ kg/cm}^2 < \bar{\sigma}'_G = 11,4 \text{ kg/cm}^2 = (1,5 \times 7,6) \rightarrow \text{OK!}$$

Pieux inclines

$$\frac{(686,18 + 6609,804) \times 0,978^2}{18,339 \times (1 + 0,978^2)} \pm \frac{2 \times 337,75}{18,339 \times 0,208} = 288,716 \pm 177,087$$

$$\Rightarrow \begin{cases} \sigma'_G \max = 38,58 \text{ kg/cm}^2 < \bar{\sigma}'_G = 75 \text{ kg/cm}^2 \rightarrow \text{OK!} \\ \sigma'_G \min = 3,16 \text{ kg/cm}^2 < \bar{\sigma}'_G = 75 \text{ kg/cm}^2 \rightarrow \text{OK!} \end{cases}$$

Verification des contraintes au second genre (Seisme , N=Nmin)

Pieux verticaux:

$$N = 0,1 \times 6861,8 + 6609,804 t, \quad T = 337,75, \quad M = 54092,18 \text{ t.m}; \quad \Delta H = 90,528 \text{ m}$$

$$\sigma'_G = \frac{6609,804 + 686,18}{18,339 (1 + 0,978^2)} \pm \frac{2 \times 337,75 \times 90,528}{12,7 \times 18,339} = 205,393 \pm 262,560$$

$$\Rightarrow \begin{cases} \sigma'_G \max = 46,79 \text{ kg/cm}^2 < \bar{\sigma}'_G = 75 \text{ kg/cm}^2 \rightarrow \text{OK!} \\ \sigma'_G = (-) 5,71 \text{ kg/cm}^2 < \bar{\sigma}'_G = 11,4 \text{ kg/cm}^2 \rightarrow \text{OK!} \end{cases}$$

Pieux inclines :

$$\frac{(686,18 + 6609,804) \times 0,978^2}{18,339 (1 + 0,978^2)} \pm \frac{2 \times 337,75}{18,339 \times 0,208} = 196,609 \pm 177,75$$

$$\Rightarrow \begin{cases} \sigma'_G \max = 37,43 \text{ kg/cm}^2 < \bar{\sigma}'_G = 75 \text{ kg/cm}^2 \rightarrow \text{OK!} \\ \sigma'_G \min = (-) 1,88 \text{ kg/cm}^2 < \bar{\sigma}'_G = 75 \text{ kg/cm}^2 \rightarrow \text{OK!} \end{cases}$$

Conclusion:

Les contraintes engendrées par les sollicitations du 2'ème genre sont inférieures aux contraintes admissibles (CQFD)

CALCUL DE LA SEMELLE ANNULAIRE:

C'est une semelle annulaire considérée comme rigide, reposant sur deux couronnes de pieux, verticaux et inclinés.

a) Caractéristiques de la semelle constituant le massif:

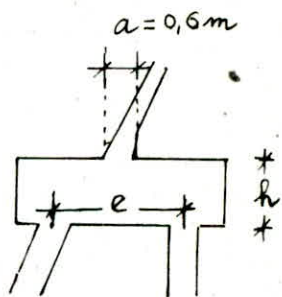
L'écartement entre les pieux: e

GUERRIN recommande:

$$e \geq 30 \phi = 30 \times 0,70 = 2,10 \text{ m}$$

on prendra

$$e = 2,40 \text{ m} \text{ et } h \geq \frac{e}{2} = 1,20 \text{ m}$$



le bureau SECURITAS préconise pour éviter tout risque de poinçonnement

$$h \geq 0,33(e\sqrt{3} - 0,90a)$$

a : épaisseur de la paroi au dessus de la semelle

$$h \geq 0,33(2,40\sqrt{3} - 0,9 \cdot 0,60) = 1,19 \text{ m}$$

on prendra :

$$h = 1,30 \text{ m}$$

b) Calcul pratique des armatures de la semelle:

1°- Armatures transversales:

Effort par mètre linéaire au niveau supérieur de la semelle:-

chaque groupe de deux pieux intéressera une longueur de semelle: ℓ

$$\ell = \pi \cdot D_{m} \cdot \frac{\alpha}{360} = 3,14 \times 27,50 \times \frac{9}{360} = 2,16 \text{ m}$$

d'où :

$$N/m = \frac{7507,999}{3,14 \times 27,50} = 86,948 \text{ T}$$

$$\text{soit pour : } 2,16 \text{ m} \Rightarrow N = 86,95 \times 2,16 \approx 188 \text{ t.}$$

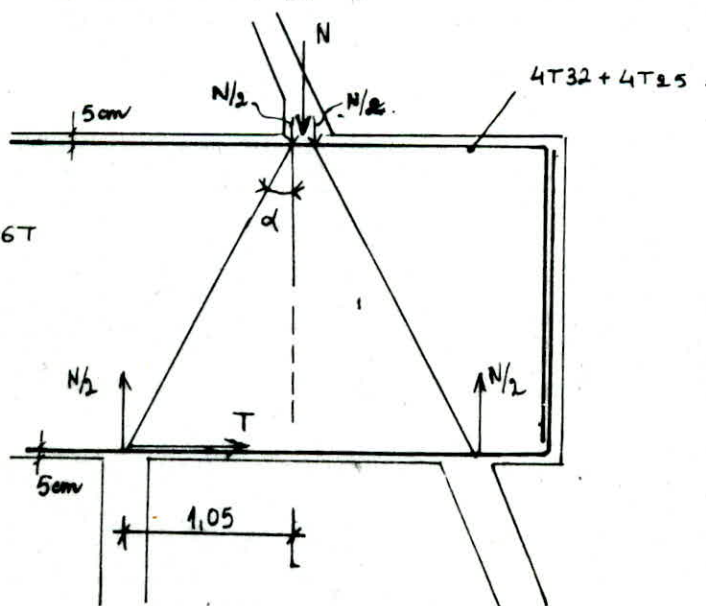
Pour déterminer les armatures, appliquons la méthode des bielles:

$$N/2 = 94 \text{ t}$$

$$T = \frac{N}{2} \operatorname{tg} \alpha$$

$$= 94 \cdot \frac{1,05}{1,25} = 78,96 \text{ T}$$

$$\tilde{T} = 78,96 \text{ T.}$$



L'effort le plus défavorable étant le Nmax

$$T = 0,84 \cdot 242,97 = 203,766 \text{ T.}$$

$$A = \frac{203,766 \cdot 10^3}{4000} = 51 \text{ cm}^2.$$

$$\text{Soit: } 4T32 + 4T25 \Rightarrow A = 51,8 \text{ cm}^2.$$

2°-Armatures longitudinales:

Nous avons vu que: $N/\text{ml} = 87 \text{ T/ml}$

$$\varphi = 21^\circ 85 \quad \operatorname{tg} \varphi = 0,4.$$

$$\frac{T}{N} = \operatorname{tg} \varphi \Rightarrow T = N \operatorname{tg} \varphi = 87 \times 0,4 = 34,8 \text{ T/ml.}$$

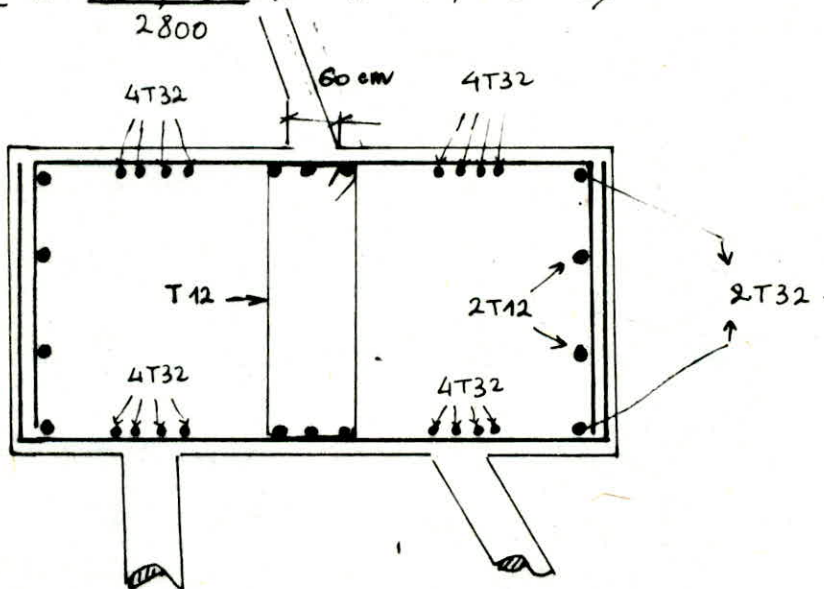
rayon moyen $R_m = \frac{D_m}{2} = 13,75 \text{ m}$

d'où la traction dans les cercles:

$$34,8 \times 13,75 = 481,250 \text{ T.}$$

d'où les armatures longitudinales en 'traction'

$$A_L = \frac{481,250 \cdot 10^3}{2800} = 171,875 \text{ cm}^2 \Rightarrow 20T32 + 6T25$$



***** CONCLUSION *****

Ce modeste travail a développé un sens d'analyse et a dévoilé de nouvelles connaissances et orientations concernant les différentes disciplines qui sont:

- Analyse du comportement des structures sous l'action sismique et calcul des caractéristiques dynamiques (modes propres de vibrations, périodes propres, matrice des raideurs, matrice des souplesses, matrice dynamique etc..).
- Utilisation d'un outil précieux, à savoir l'informatique, et ce pour pour déterminer les différentes caractéristiques de la structure, élastiques, dynamiques et les forces sismiques etc.. .

Pour l'étude de la cheminée, nous avons analysé les effets séparés et combinés du vent, de la température et du poids propre ainsi que l'ensoleillement. Nous avons aussi examiné tout ce qui concerne les sollicitations d'ensemble d'une part et les sollicitations locales d'autre part y compris les moments secondaires et ce à la base des règles applicables aux cheminées. Et enfin l'évaluation des contraintes effectives dans les deux sens, transversal et vertical, selon les cas de charges.

Nous pensons qu'avec ce modeste travail avoir apporté une contribution originale et non négligeable.

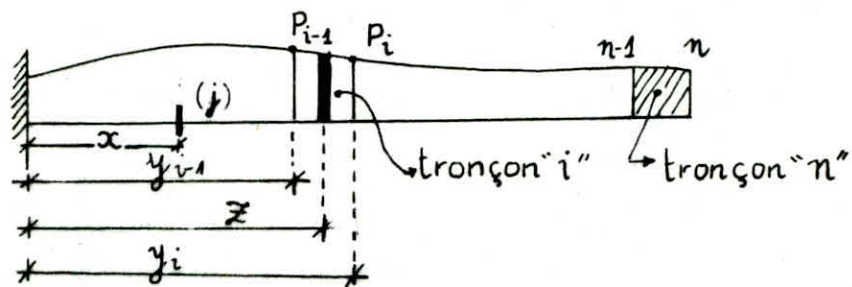
B I B L I O G R A P H I E

- * Pr. B.TILIOUINE (Cours de dynamique des structures).
- * CLOUGH and PENZINE (Dynamique of structures).
- * Alain CAPRA-Victor DAVIDOVICCI (Calcul dynamique des structures en zone sismique).
- * MARIUS DIVER (Calcul des tours en béton armé).
- * BATH and WILSON (finite élément method).
- * TOUSOT-DATH (Une présentation de la méthode des éléments finis).
- * DAVIDIAN (Pieux et fondations).
- * I-MOROLIOUBOV (Problèmes de résistance des matériaux).
- * G.PISSARENKO (Aide memoire de résistance des matériaux).
- * REGLES PARASISMQUES ALGERIENNES 81 (Revisé 83).
- * REGLES PARASISMQUES FRANCAISES 69.
- * REGLES NEIGES ET VENT 65.
- * ANNALES ITBTP.

AMERICA

CALCUL DES MOMENTS ET
DEFORMATIONS

Soit une console de longueur ℓ soumise à une charge distribuée suivant une loi quelconque continument dérivable;



Soit en ∞ la section où on cherche le moment fléchissant

y_{i-1}, y_i : les abscisses des sections extrêmes du tronçon considéré.

p_{i-1}, p_i : les valeurs respectives de la charge.

x : une variable d'intégration.

$y_i - y_{i-1}$: longeur de chaque tronçon.

Le moment dans la section ∞ produit par les charges appliquées sur le tronçon i s'écrit:

$$M(x, i) = \int_0^x p(z)(z-x) dz \quad (1)$$

comme $p(x) = p(y_{i-1}) + \frac{p(y_i) - p(y_{i-1})}{y_i - y_{i-1}} (z - y_{i-1}) \quad (2)$

en introduisant (1) en (2), on obtiendra;

$$\begin{aligned} M(x, i) &= \int_{y_{i-1}}^{y_i} \left[p(y_{i-1}) + \frac{p(y_i) - p(y_{i-1})}{y_i - y_{i-1}} (z - y_{i-1}) \right] (z-x) dx \\ &= p(y_{i-1}) \left[\frac{z^2}{2} \right]_{y_{i-1}}^{y_i} + \frac{p(y_i) - p(y_{i-1})}{y_i - y_{i-1}} \left[\frac{z^3}{3} - \frac{z^2}{2}(x+y_{i-1}) + y_{i-1}xz \right]_{y_{i-1}}^{y_i} \end{aligned}$$

en introduisant l'artifice suivant;

$$y_{i-1} = a(i-1) \quad y_i = a_i, \quad \text{et} \quad x = a_j$$

il vient

$$\begin{aligned} M(j, i) &= a^2 P_{i-1} \frac{j^2 - (i-1)^2}{2} - P_{i-1} \frac{j[i-(i-1)]}{1} + \frac{P_i - P_{i-1}}{1} \left[\frac{j^3}{3} - \frac{j^2}{2}(j+i-1) + j \cdot i \right] \\ &\quad + (i-1) \cdot j \cdot i - \left[\frac{(i-1)^3}{3} + \frac{(i-1)^2}{2}[j+(i-1)] - (i-1)j(i-1) \right] \end{aligned}$$

et en développant le calcul, on trouve;

$$M(j, i) = \frac{a^2}{6} [P_{i-1}(3i-3j-2) + P_i(3i-3j-1)]$$

CALCUL DES DEFORMATIONS.

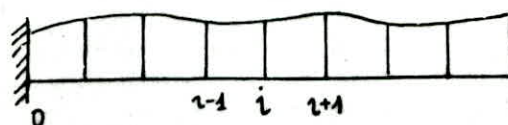
Après avoir établi le diagramme des moments fléchissants, on utilisera la méthode des 'POUTRES FICTIVES' pour calculer les déformations.

On calcule la charge fictive;

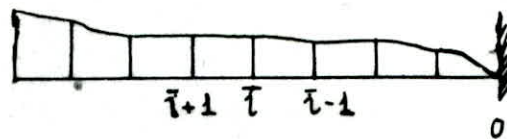
$$\bar{P}(z) = \frac{M(z)}{EI(z)}$$

donc

$$\bar{P}(i) = \frac{M(i)}{EI(i)}$$



poutre réelle



poutre fictive

Avec le même procédé, on calcule les moments dus aux charges fictives (qui sont les déformations de la poutre réelle);

$$\bar{M}(I) = \alpha^2 \bar{D}(I, J) \times \bar{P}(I)$$

avec

$$\bar{D}(I, J) = \begin{bmatrix} \frac{2}{6} + (n-1)\frac{1}{2} & n-1 & n-2 & n-3 & \dots & 2 & 1 & \frac{1}{6} \\ \vdots & \vdots & \vdots & \vdots & \ddots & \vdots & \vdots & \vdots \\ \frac{1}{6} + 3\frac{1}{2} & 3 & 2 & 1 & \frac{1}{6} & \dots & \dots & \dots \\ \frac{2}{6} + 2\frac{1}{2} & 2 & 1 & \frac{1}{6} & 0 & \dots & \dots & \dots \\ \frac{2}{6} + 1\frac{1}{2} & 1 & \frac{1}{6} & 0 & \dots & \dots & \dots & \dots \\ \frac{2}{6} + 0\frac{1}{2} & \frac{1}{6} & 0 & \dots & \dots & \dots & \dots & \dots \\ \frac{1}{6} & 0 & 0 & 0 & 0 & \dots & \dots & 0 \end{bmatrix}$$

Pour la tronçon $(j, i+1)$, on aura par récurrence;

$$M(j, i+1) = \frac{\alpha^2}{6} [P_i[3(i+1)-3j-2] + P_i(3i-3j-1)]$$

$$= \frac{\alpha^2}{6} [P_i(3i-3j+1) + P_{i+1}(3i-3j+2)]$$

Dans le cas général, où plusieurs tronçons entre et sont chargés nous aurons;

$$M(j) = \alpha^2 \sum_{i=j}^n P_i d_{ij} \quad (3)$$

avec;

$$d_{nj} = \frac{3(n-j)-1}{6}$$

$$d_{ij} = \frac{3i-3j-1+3i+3-3j-2}{6} = i-j$$

$$d_{jj} = 1/6$$

$$d_{ij} = 0 \quad si: i > j$$

On remarque que l'équation (3) peut s'écrire sous la forme matricielle et de forme suivante;

$$M(J) = \alpha^2 D(I, J) . P(J)$$

ou la matrice $[D]$ sera sous la forme suivante:

$$D(I, J) = \begin{bmatrix} \frac{1}{6} & 0 & 0 & 0 & \dots & 0 \\ \frac{2}{6} & \frac{1}{6} & 0 & 0 & \dots & 0 \\ \frac{2}{6} + \frac{1}{6} & 1 & \frac{1}{6} & 0 & \dots & 0 \\ \frac{2}{6} + 2 \cdot \frac{1}{6} & 2 & 1 & \frac{1}{6} & \dots & \vdots \\ \vdots & \vdots & \vdots & 1 & \ddots & \vdots \\ \frac{2}{6} + (n-1) \cdot \frac{1}{6} & (n-1) & (n-2) & n-i & \dots & \frac{1}{6} \end{bmatrix}$$

\uparrow
 $(i+1)^{\text{eme}}$ colonne.

METHODES NUMERIQUES POUR LE CALCUL DES INTEGRALES

**METHODE DE SIMPSON

Pour calculer une intégrale définie par la méthode de Simpson on utilise la formule suivante:

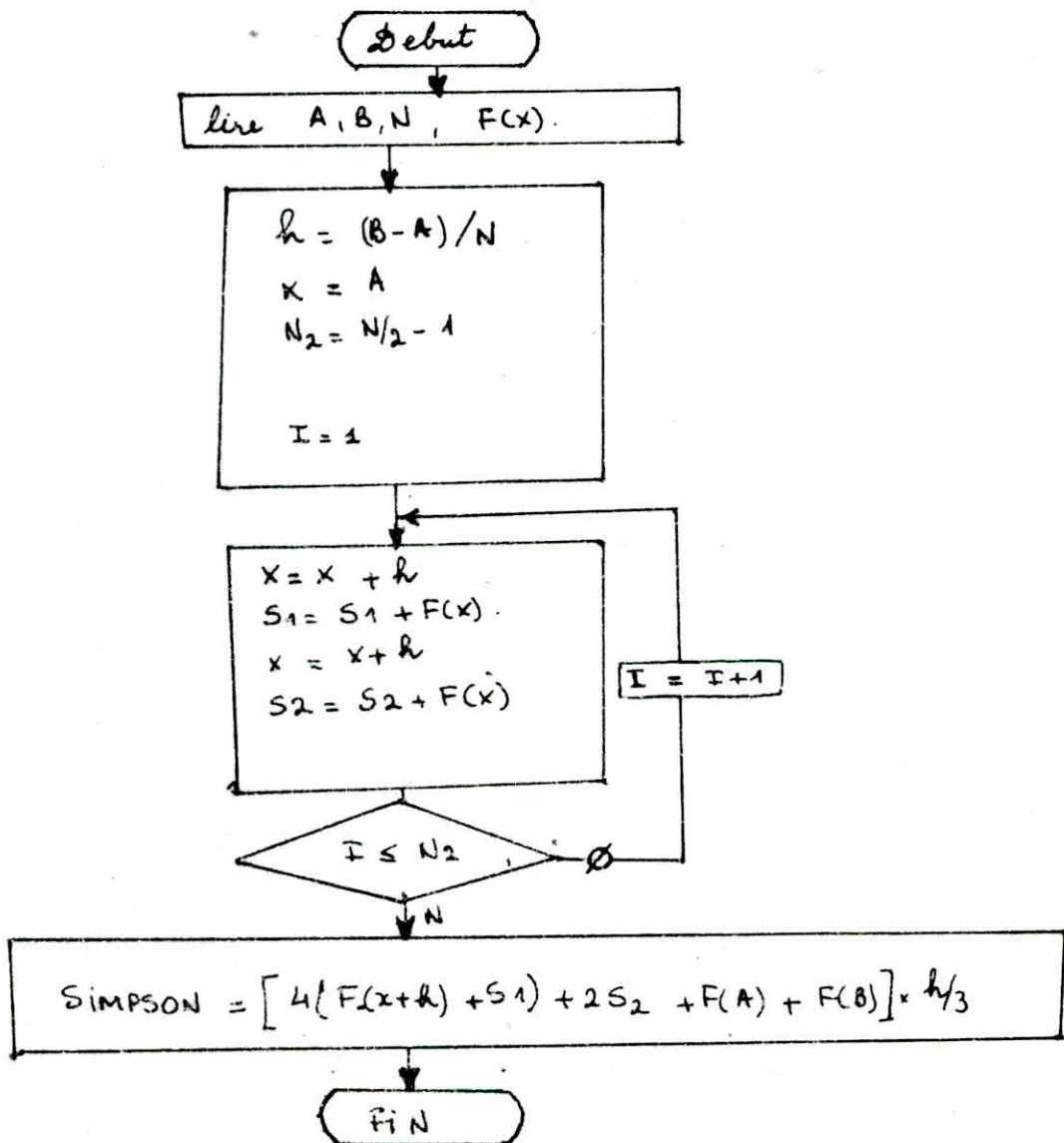
$$S = \int_a^b f(x) dx = \frac{h}{3} (y_0 + 4y_1 + 2y_2 + 4y_3 + \dots + 4y_{n-1} + y_n)$$

avec n : nombre pair

$$\text{si : } h = \frac{b-a}{n}$$

$$x_i = A + i h.$$

$$y_i = f(x_i) = f(A + i h).$$

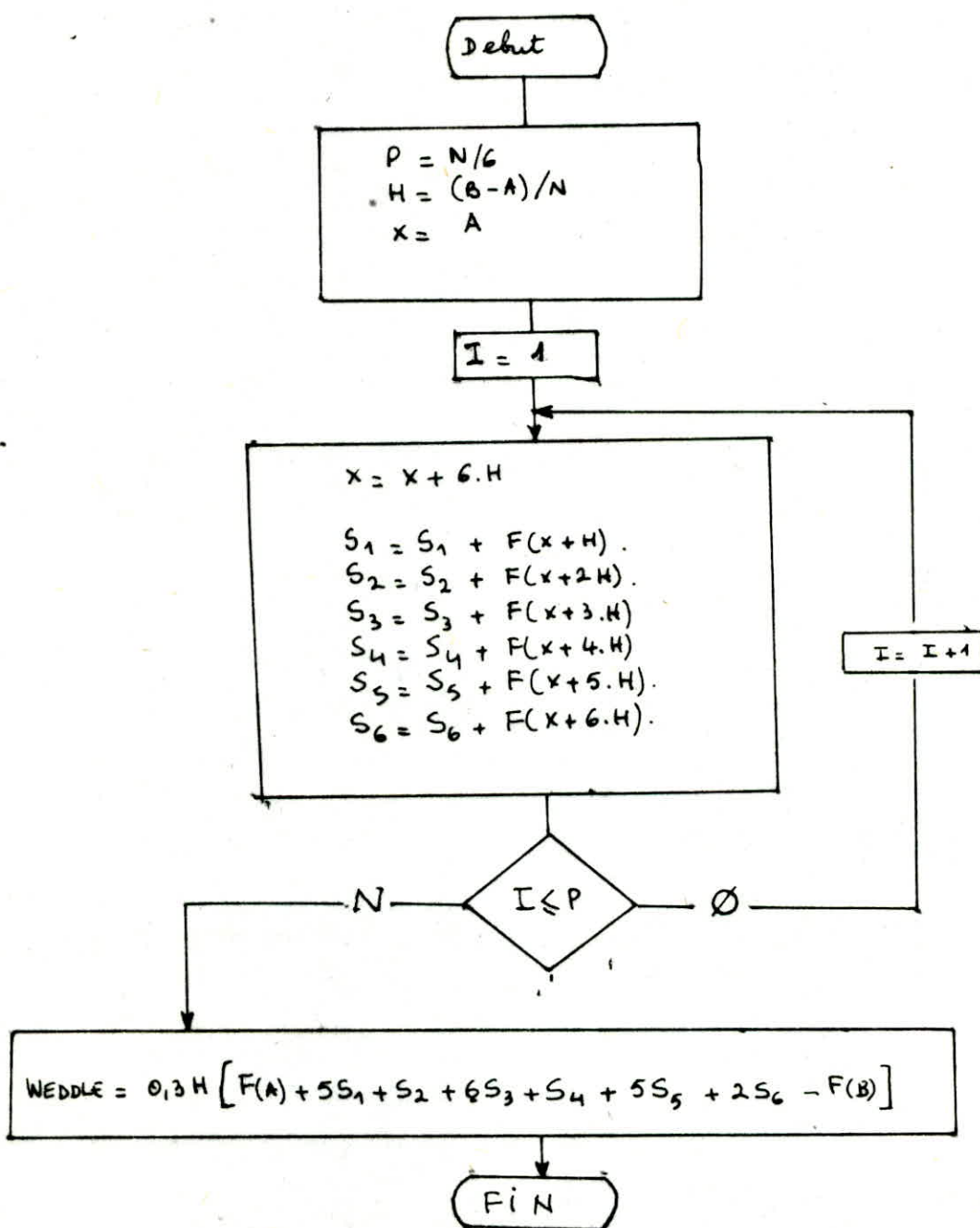


** METHODE DE WEDDLE

Cette méthode d'une précision meilleur que les deux précédentes, conduit à utiliser la formule suivante:

-Le nombre N d'intervalles doit être obligatoirement un nombre multiple de 6

$$S = \int_A^B f(x) dx = \frac{3H}{10} \left[f(a) + 5f(a+h) + f(a+2h) + 6f(a+3h) + f(a+4h) + 5f(a+5h) + 2f(a+6h) + \dots + f(b) \right]$$



**METHODE DES TRAPEZES:

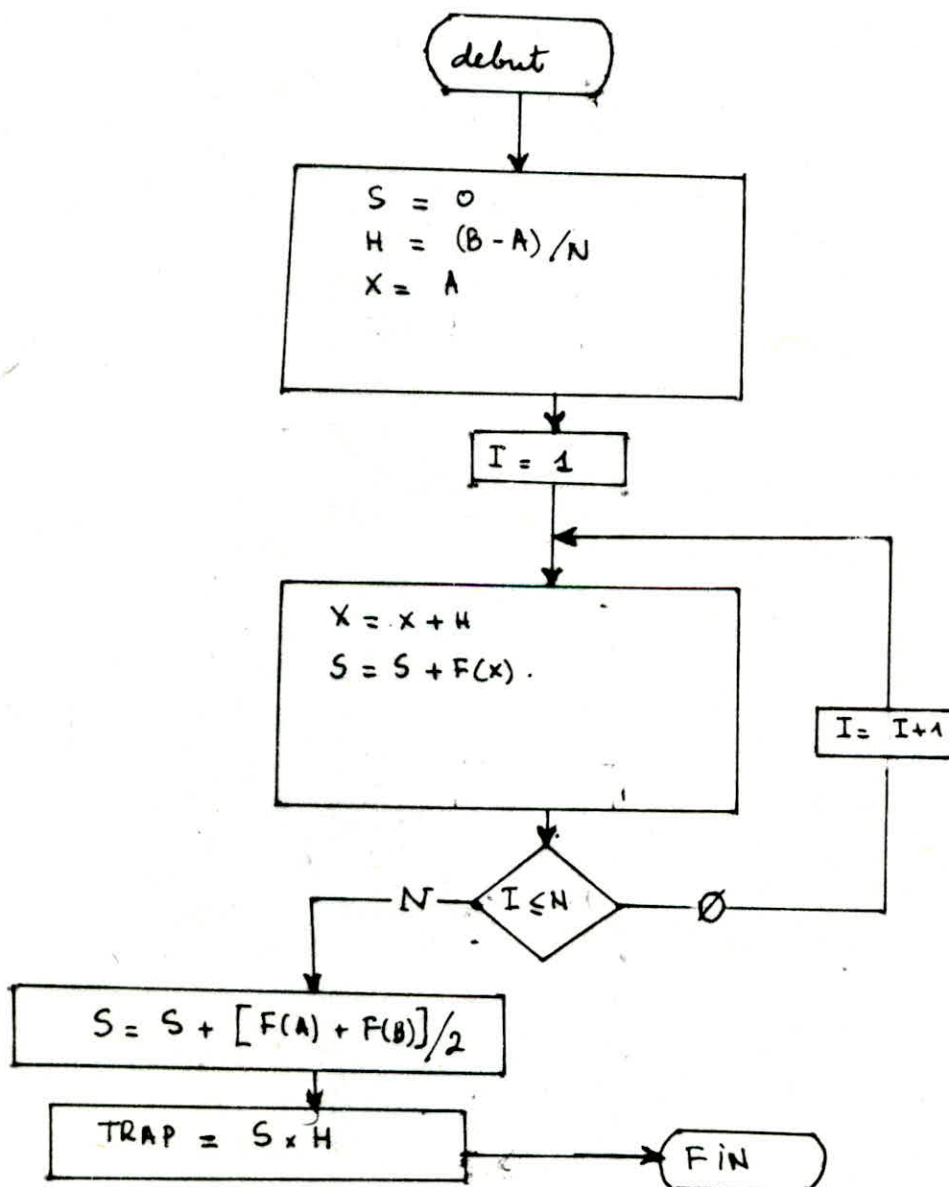
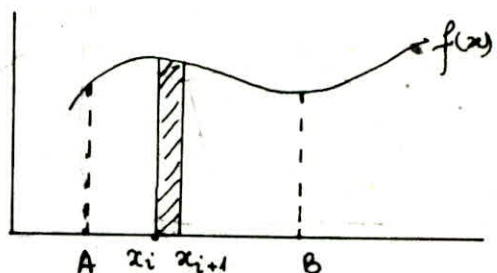
L'aire hachuré (figure), peut être assimilé à un trapeze dont la surface est:

$$S_i = \frac{1}{2} [f(x_{i+1}) + f(x_i)] (x_{i+1} - x_i)$$

Pour calculer $\int_a^b f(x) dx$ par la formule des trapèzes, on pourra utiliser la formule suivante:
étant donné $h = (B - A)/N$

N : nombre des trapèzes

alors: $S = \left[\frac{1}{2} (f(a) + f(b)) + f(a+h) + f(a+2h) + \dots + f(a+(n-1)h) \right] \times h$.



** METHODE DE ROMBERG

L'inconvénient des toutes les autres méthodes déjà vu, est de ne pas connaître la précision du résultat donné, par cette méthode on peut choisir cette précision.

Utilisation de la méthode:

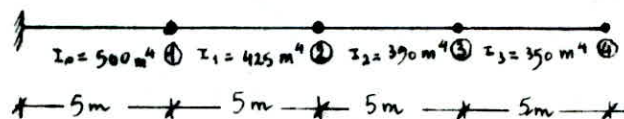
On calcule $T_0(h)$ par la méthode des trapèzes.

On calcule $T_0(h/2)$ et on déduit $T_1(h)$ puis $T_0(h/4)$, $T_1(h/4)$, $T_2(h)$.

Plus généralement, on obtient le tableau d'ordre $(n+1)$ à partir du tableau d'ordre n en calculant $T_0\left(\frac{h}{2^{n+1}}\right)$ et en déduisant $T_k\left(\frac{h}{2^{n+1-k}}\right)$ où k appartient à l'intervalle $[1, n+1]$. Le calcul est terminé lorsque la différence entre $T_{n+1}(h)$ et T_n est inférieure à la limite fixée.

APPLICATION DES DIFFERENTES METHODES

Soit à calculer les souplesses de la poutre console suivante en utilisant l'intégrale de MOHR. (Résultats voir listing)



HAUTEUR TOTALE 20.00000

NBRE DE DDL 4

LES INERTIES $I_0 = 500.0000$ 425.0000 390.0000 350.0000

***** SIMPSON *****

$\frac{1}{EI}$	2906.493	1801.438	862.7445	229.1667
	1801.438	1188.222	601.7153	166.6667
	862.7445	601.7153	340.6662	104.1667
	229.1667	166.6667	104.1667	41.66668
***** TRAPEZES *****				

$\frac{1}{EI}$	2906.504	1801.445	862.7490	229.1689
	1801.445	1188.229	601.7198	166.6688
	862.7490	601.7198	340.6907	104.1688
	229.1689	166.6688	104.1688	41.66877
***** WEDDLE *****				

$\frac{1}{EI}$	2906.494	1801.438	862.7446	229.1668
	1801.438	1188.222	601.7153	166.6667
	862.7446	601.7153	340.6862	104.1667
	229.1668	166.6667	104.1667	41.66669
***** ROMBERG *****				

$\frac{1}{EI}$	2906.494	1801.439	862.7464	229.1666
	1801.439	1188.223	601.7159	166.6669
	862.7464	601.7159	340.6865	104.1667
	229.1666	166.6669	104.1667	41.66674

